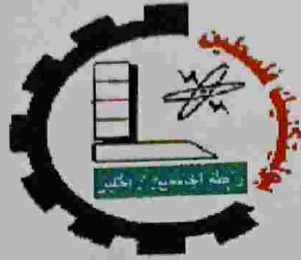


بسم الله الرحمن الرحيم
جامعة بوليتكنيك فلسطين



كلية الهندسة والتكنولوجيا
دائرة الهندسة المدنية والمعمارية

مشروع التخرج

التصميم الإنشائي لمدرسة في مدينة الخليل

فريق العمل

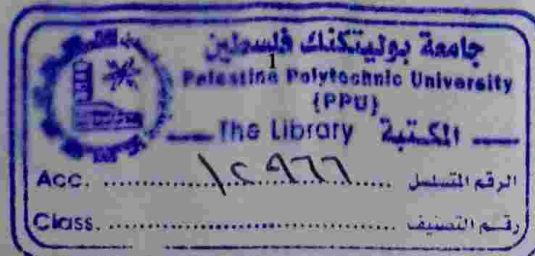
يوسف رزق درابيع حذيفة صبحي عوض معاذ شاهر أبو سندس

إشراف

د. نصر عبوشي

2012

الخليل - فلسطين



جامعة بوليتيكنك فلسطين
الخليل-فلسطين
كلية الهندسة و التكنولوجيا
دائرة الهندسة المدنية والمعمارية

اسم المشروع
التصميم الإنشائي لمدرسة في مدينة الخليل

أسماء الطلبة
يوسف رزق درابيع حذيفة صبحي عوض معاذ شاهر أبو سندس

بناء على نظام كلية الهندسة والتكنولوجيا وإشراف ومتابعة المشرف المباشر على المشروع وموافقة أعضاء اللجنة الممتحنة تم تقديم هذا المشروع إلى دائرة الهندسة المدنية و المعمارية وذلك للوفاء بمتطلبات درجة البكالوريوس في الهندسة تخصص هندسة المباني.

توقيع المشرف

.....

توقيع اللجنة الممتحنة

.....

توقيع رئيس الدائرة

.....

الإهداء

- إلىالمعلم الأول.... رسولنا الكريم سيد البشرية محمد بن عبد الله
إلىمن هم أحق منا بالحياة إلى.....الشهداء .
إلىالأسود الرابضة خلف القضبانإلى من كسروا قيد السجان ...الأسرى .
إلى....أنشودة الصغر وقدوة الكبر إلى.....أبي العزيز .
إلى....نبع العطاء وسيل الحنان إلى.....أمي العزيزة .
إلىعنوان سعادي إلى.....إخوتي الأعمام .
إلى....هبة السماءأصدقائي الأوفياء .
إلىالشموع التي احترقت لتتير الدرب إلى.....أساتذتي.
إلى....من عرفتهم في هذا الصرح العلميزملائي وزميلاتي .
إلى....منهل العلم إلى.....جامعتي .
إلى....من أحبني وأحببته.
نقدم هذا البحث .

فريق العمل

الشكر والتقدير

إن الشكر والمنة لله وحدة كما يليق بجلال وجهه وعظيم سلطانه أولا وأخيرا .

نتقدم بجزيل الشكر والامتنان

إلى جامعتنا العزيزة ...جامعة بولتيكنك فلسطين .

إلى كلية الهندسة والتكنولوجيا.

إلى دائرة الهندسة المدنية والمعماريةبطاقتها التدريسي و الاداري.

إلى المشرف على هذا البحث الدكتورنصر عبوشي .

إلى كل من ساهم في انجاز هذا البحث المتواضع .

فريق العمل

التصميم الإنشائي لمدرسة في مدينة الخليل

فريق العمل:

يوسف رزق دراييع حذيفة صبحي عوض معاذ شاهر أبو سندس

جامعة بوليتكنك فلسطين - 2012م

إشراف:

د.نصر عبوشي

ملخص المشروع

تتلخص فكرة هذا المشروع في التصميم الإنشائي لإحدى مدارس الإناث في مدينة الخليل والمقترح بناؤه على أرض في منطقة نمره- مدينة الخليل بحيث يشمل المشروع تصميم كافة التفاصيل الإنشائية اللازمة.

يتكون المبنى من ثلاث طوابق، ويتميز التصميم المعماري للمشروع بأنه تم بأسلوب يقوم على تعدد الكتل الفراغية وتوزيعها بشكل متناسق من الناحية الجمالية والوظيفية ، إضافة إلى أنه تم الاهتمام من قبل المصمم المعماري عند توزيع الكتل بتوفير الراحة وسهولة وسرعة الوصول للمستخدمين ، وتكمن أهمية المشروع في تنوع العناصر الإنشائية في المبنى مثل الجسور والأعمدة والجسور المدلى والبلاطات الخرسانية وغيرها.

سيتم التصميم - إن شاء الله - بناء على متطلبات كود الخرسانة الأمريكي (ACI_318) وستتم الاستعانة ببعض برامج التصميم الإنشائي مثل Atir , Etabs , Office2007 , Autocad2007 وغيرها ومن الجدير بالذكر انه تم استخدام الكود الاردني لتحديد الاحمال الحية وسيتم الاطلاع على بعض مشاريع التخرج السابقة، و سيتضمن المشروع دراسة إنشائية تفصيلية من تحديد و تحليل للعناصر الإنشائية والأحمال المختلفة المتوقعة ومن ثم التصميم الإنشائي للعناصر المطلوبة في مقنمة المشروع و إعداد المخططات الإنشائية للمبنى.

والله ولي التوفيق

The Structural Design of a School Building in Hebron

WORKING TEAM:

Yousef Drabee Hothifa Awad Moath Abu sondos
Palestine Polytechnic University -2012

SUPERVISOR:

DR.NASR ABOUSHI.

Project Abstract

The main aim of this project is to prepare detailed structural planes and shop drawings For all structural elements. The project is a three stories Female School in Hebron city.

The building has a unique architectural design. Functional , Aesthetic , and Practical use is considered in the building design.

Miscellaneous structural elements will be used accommodated with the architectural functional purposes of the building.

Autocade , and Etabas software are used for the structural analysis and design process.

The ACI_318 , UBC , and the Jordanians code are used For the structural design.

فهرس المحتويات

رقم الصفحة	
i	صفحة العنوان الرئيسية
ii	شهادة تقييم مقدمة مشروع التخرج
iii	الإهداء
iv	الشكر و التقدير
v	ملخص المشروع باللغة العربية
vi	ملخص المشروع باللغة الإنجليزية
vii	فهرس المحتويات
	الفصل الأول : المقدمة
	1
2	1.1 المقدمة
3	1.2 أهداف المشروع
3	1.3 مشكلة المشروع
3	1.4 حدود مشكلة المشروع
3	1.5 المسلمات
4	1.6 فصول المشروع
4	1.7 اجراءات المشروع
	الفصل الثاني : الوصف المعماري
	2
7	2.1 مقدمة
7	2.2 لمحة عن المشروع
8	2.3 موقع المشروع
9	2.3.1 أهمية الموقع
10	2.3.2 حركة الشمس والرياح
10	2.3.3 العناصر المعمارية
10	2.4 وصف المساقط الأفقية
11	2.4.1 الطابق الأرضي
13	2.4.2 الطابق الأول
14	2.4.3 الطابق الثاني
16	2.5 وصف الواجهات
16	2.5.1 الواجهة الجنوبية
17	2.5.2 الواجهة الشماليه
18	2.5.3 الواجهة الغربية
19	2.5.4 الواجهه الشرقية
19	2.6 وصف الحركة
	الفصل الثالث : الوصف الإنشائي
	3
23	3.1 مقدمة
23	3.2 هدف التصميم الإنشائي
24	3.3 الدراسات النظرية للعناصر الإنشائية في المبنى
24	3.3.1 الأحمال

3.3.2
3.3.3
3.3.4

3.4 الاختبارات العملية
3.5 العناصر الإنشائية

1

3.6 فواصل

68	4.7.1.1 Design of Span (1)
70	4.7.1.2 Design of Span(2)
72	4.7.1.3 Design of Span(3)
74	4.7.2 Design of Negative moment
74	4.7.2.1 Design of Support (1)
76	4.7.2.2 Design of Support (2)
78	4.7.3 Design of Negative moment for Spans
79	4.7.4 Design of Shear for Beam (8).
	4.7.5 Details of reinf. For Beam (8).

الفصل الخامس : النتائج والتوصيات

82	5.1 مقدمة
83	5.2 النتائج
83	5.3 التوصيات
84	

فهرس الجداول

5	جدول (1-1) الجدول الزمني للمشروع خلال السنة الدراسية 2012\2013
22	جدول (1-3) الكثافة النوعية للمواد المستخدمة
25	جدول (2-3) الأحمال الحية للمرافق الخاصة بالمدرسة
26	جدول (3-3) قيمة أحمال الثلوج حسب الارتفاع عن سطح البحر

فهرس الأشكال

8	شكل (1-2) مخطط قطعة الأرض والبناء
9	شكل (2-2) صورة جوية للموقع
11	شكل (3-2) مخطط الطابق الارضي
13	شكل (4-2) مخطط الطابق الاول
15	شكل (5-2) مخطط الطابق الثاني
16	شكل (6-2) الواجهة الجنوبية
17	شكل (7-2) الواجهة الشماليه
18	شكل (8-2) الواجهة الغربية
19	شكل (9-2) الواجهة الشرقية
20	شكل (10-2) قطاعات الدرج
28	شكل (1-3) يوضح بعض العناصر الإنشائية في المبنى
29	شكل (2-3) عقدة العصب ذات الاتجاه الواحد
30	شكل (3-3) عقدة العصب ذات الاتجاهين
30	شكل (4-3): عقده المصمتة ذات الاتجاه الواحد.
31	شكل (5-3): عقده المصمتة ذات الاتجاهين.

32	شكل (6-3) اشكال الجسور المدلاة والمسحورة
33	شكل (7-3) احد أشكال الأعمدة
34	شكل (8-3) جدار القص
34	شكل (9-3) الأساس المنفرد
35	شكل (10-3) الدرج
36	شكل (11-3) فواصل التمدد
38	Figure (4-1): Ground Floor Slab.
42	Figure (4-2): Structural Plane.
43	Figure (4-3) : Rib 2 geometry.
43	Figure (4-4) : Rib Section
43	Figure (4-5) : loading of Rib 2.
44	Figure (4-6) : Moment Envelop of rib 2.
44	Figure (4-7) : Shear Envelop of rib2.
53	Figure (4-8): Rib 3 geometry
53	Figure (4-9): Rib section .
54	Figure (4-10): Loading of Rib 3
54	Figure (4-11): Moment Envelop of rib 3
55	. Figure (4-12) : Shear Envelop of rib3
66	Figure (4-13) :Beam geometry.(8)
66	Figure (4-14) : Beam section.(8)
66	Figure (4-15) : Loading of Beam (8).
67	Figure (4-16) : Moment Envelop of Beam(8)
67	Figure (4-17): Shear Envelop for Beam (8)

List of Abbreviations

- A_c = area of concrete section resisting shear transfer.
- A_s = area of non-prestressed tension reinforcement.
- A_s = area of non-prestressed compression reinforcement.
- A_g = gross area of section.
- A_v = area of shear reinforcement within a distance (S).
- A_t = area of one leg of a closed stirrup resisting tension within a (S).
- b = width of compression face of member.
- b_w = web width, or diameter of circular section.
- C_c = compression resultant of concrete section.
- C_s = compression resultant of compression steel.
- DL = dead loads.
- d = distance from extreme compression fiber to centroid of tension reinforcement.
- E_c = modulus of elasticity of concrete.
- f_c' = compression strength of concrete .
- f_y = specified yield strength of non-prestressed reinforcement.
- h = overall thickness of member.
- L_n = length of clear span in long direction of two- way construction, measured face-to-face of supports in slabs without beams and face to face of beam or other supports in other cases.
- LL = live loads.
- L_w = length of wall.
- M = bending moment.
- M_u = factored moment at section.
- M_n = nominal moment.
- P_n = nominal axial load.
- P_u = factored axial load
- S = Spacing of shear or in direction parallel to longitudinal reinforcement.

- V_c = nominal shear strength provided by concrete.
- V_n = nominal shear stress.
- V_s = nominal shear strength provided by shear reinforcement.
- V_u = factored shear force at section.
- W_c = weight of concrete. (Kg/m^3).
- W = width of beam or rib.
- W_u = factored load per unit area.
- Φ = strength reduction factor.
- ϵ_c = compression strain of concrete = $0.003\text{mm}/\text{mm}$.
- ϵ_s = strain of tension steel.
- ϵ'_s = strain of compression steel.
- ρ = ratio of steel area .

الفصل الأول

المقدمة

1

-
- 1.1 المقدمة.
 - 1.2 أهداف المشروع.
 - 1.3 مشكلة المشروع.
 - 1.4 حدود مشكلة المشروع.
 - 1.5 المسلمات.
 - 1.6 فصول المشروع.
 - 1.7 إجراءات المشروع.

1.1 المقدمة

بدأت حياة الإنسان في القدم كحياة بسيطة و يسيرة بكافة ملامحها و أشكالها, حيث كان الإنسان يحصل على ما يريد من البيئة المحيطة إما بالصدفة, أو عن طريق التسلسل لوصوله إلى مبتغاه , إذ انه اتخذ من الكهوف بيوتا , ومن أوراق الأشجار و جلد الحيوان ثيابا , ومن الشعلة ضوءا يستنير به من الظلام وكان الإنسان القديم في صراع دائم مع الحياة وما فيها من معوقات ومستجدات.

بعد هذه الحياة البسيطة التي مر فيها الإنسان, أخذت حياته بالرقي و التطور شيئا فشيئا , وذلك حسب احتياجاته الضرورية في كافة مظاهر الحياة وما يستجد من أمور مختلفة , ومن اجل هذه الاحتياجات والمتطلبات سعى بدون كلل أو ملل لتحقيق كل ما يحتاج إليه للتأقلم مع ضروريات الحياة الجديدة.

وكان الإنسان منذ القدم وهو يسعى إلى التعلم والتطور من حين لآخر, و قد حظي العلم بمكانة عالية وعناية فائقة عند العرب والمسلمين منذ بزوغ شمس الإسلام, حيث كان العلم يختصر على الجلسات التعليمية في المساجد, وبعد ذلك اتسعت هذه المجالس لتتطور إلى ما يسمى القراء وهي أماكن كان يتم بناؤها ليتم مواولة التعليم فيه وتكون مخصصة للتعلم فقط, وبعده تم بناء المدارس التي أصبحت في أيامنا هذه الأساس الذي تبنى عليه الدراسات الجامعية والعليا .

يتضمن المشروع تصميم النظام الإنشائي لمدرسة تتكون من طابق أرضي و وطابق أول وآخر ثاني وهو مشروع اعتيادي من حيث توزيع العناصر الإنشائية كالأعمدة والجسور بما يتلائم مع المخططات المعمارية ومن ثم تصميم هذه العناصر ابتداء من العقود وانتهاء بالقواعد و الأساسات ومن ثم تجهيز المخططات الإنشائية التنفيذية وذلك من أجل الخروج بمشروع متكامل وقابل للتنفيذ.

1.2 أهداف المشروع

أمل من هذا البحث بعد إكماله أن نكون قد وصلنا إلى الأهداف التالية:

1. اكتساب المهارة في القدرة على اختيار النظام الإنشائي المناسب للمشاريع المختلفة وتوزيع عناصره الإنشائية على المخططات، بما يتناسب مع التخطيط المعماري له.
2. القدرة على تصميم العناصر الإنشائية المختلفة.
3. تطبيق وربط المعلومات التي تم دراستها في المساقات المختلفة .
4. اتقان استخدام برامج التصميم الإنشائي.

1.3 مشكلة المشروع

يدور البحث حول تصميم العناصر الإنشائية لمدرسه للإناث في مدينة الخليل ، حيث يتضمن التصميم الإنشائي مختلف العناصر من البلاطات و الجسور والأعمدة و الأساسات بما يتلائم مع التوزيع الإنشائي لهذه العناصر وما لا يتعارض مع التصميم المعماري..

1.4 حدود مشكلة المشروع

يقصر العمل لهذا المشروع على الناحية الإنشائية فقط، حيث سيتم العمل خلال الفصلين الأول والثاني من السنة الدراسية 2012-2013 من خلال مقدمة مشروع التخرج في الفصل الأول و مشروع التخرج في الفصل الثاني.

يقع المبنى التعليمي الذي اختير لتصميم عناصره الإنشائية في مدينة الخليل.

1.5 المسلمات

1. اعتماد الكود الأمريكي في التصميم الإنشائية المختلفة (ACI-318-08) .
2. استخدام برامج التحليل والتصميم الإنشائي مثل (Etabs,Atir, STAAD pro. 2008)
3. برامج أخرى مثل Microsoft office Word & Power Point.

1.6 قصول المشروع

يحتوي هذا المشروع على خمسة فصول

- 1- الفصل الأول : يشمل المقدمة
- 2- الفصل الثاني : يشمل الو
- 3- الفصل الثالث : يشمل و
- 4- الفصل الرابع : التحليل
- 5- الفصل الخامس : النتائج

1.7 إجراءات المشروع

(1) دراسة المخططات

(2) دراسة العناصر

لا يصطدم مع الت

(3) اختيار العنا

(4) تصميم ال

(5) التصميم

(6) إنجاز ا

والقاي

الفصل الثاني

الوصف المعماري للمشروع

2

2.1 مقدمة.

2.2 لمحة عن المشروع.

2.3 موقع المشروع.

2.4 وصف المساقط الأفقية للمبنى.

2.5 وصف الواجهات.

2.6 وصف الحركة.

2.1 مقدمة

إن الوصف المعماري لأي مبنى حاجة ماسة لنجاحه إذ يساعد في فهم وتحليل كافة الوظائف والفاعليات والحركات داخل المبنى حسب اختلاف نوعه والحاجة التي أنشأ لأجلها . ومن أهم ميزات المباني التعليمية توفير الراحة النفسية لدى الطلاب بالإضافة إلى توفير عدد من الخدمات الرئيسية مثل توفير القاعات الدراسية ومختبرات الحاسوب ذات المساحات الكافية والخالية من الأعمدة الداخلية في منتصف الفراغ الإنشائي وهي بحاجة إلى توفير التهوية والإضاءة المناسبة .

لأداء أي عمل لا بد أن يتم بمراحل عدة حتى يتم انجازه على أكمل وجه . وكذلك لإقامة أي بناء لا بد أن يتم تصميمه على ناحيتين (الناحية المعمارية والناحية الإنشائية) ويبدأ ذلك بالتصميم المعماري الذي يحدد شكل المنشأ . ويأخذ بعين الاعتبار تحقيق الوظائف والمتطلبات المختلفة إذ يجري التوزيع الأولي لمرافقه بهدف تحقيق الفراغات والأبعاد المطلوبة . ويتم في هذه العملية دراسة الإنارة والعزل والتهوية والتنقل والحركة وغيرها من المتطلبات الوظيفية .

وبعد الانتهاء من عملية التصميم المعماري تبدأ عملية التصميم الإنشائي والتي تهدف إلى تحديد أبعاد العناصر الإنشائية وخصائصها . وذلك اعتماداً على الأحمال المختلفة التي تتعرض لها هذه العناصر التي تقوم بدورها بنقل الأحمال إلى الأساسات التي تنقل الأحمال بشكل كامل إلى التربة .

2.2 لمحة عن المشروع

تتلخص فكرة المشروع في إنشاء مدرسة للإناث في مدينة الخليل تحقق الأهداف التي نُكرت آنفاً وتلبي جميع الخدمات التي توفرها المدارس الحديثة؛ فهي تشتمل على قاعات للتدريس و مدرج وصالة رياضية ومكاتب ومختبرات وغيرها من الخدمات. إذ تم الحصول على المخططات المعمارية للمشروع من قبل دائرة الهندسة المدنية والمعمارية ليتسنى عمل التصميم الإنشائي وإعداد المخططات التنفيذية لجميع العناصر الإنشائية التي تشملها، والمشروع من إعداد المهندس احمد قتلو ، بإشراف الدكتور غسان دويك .

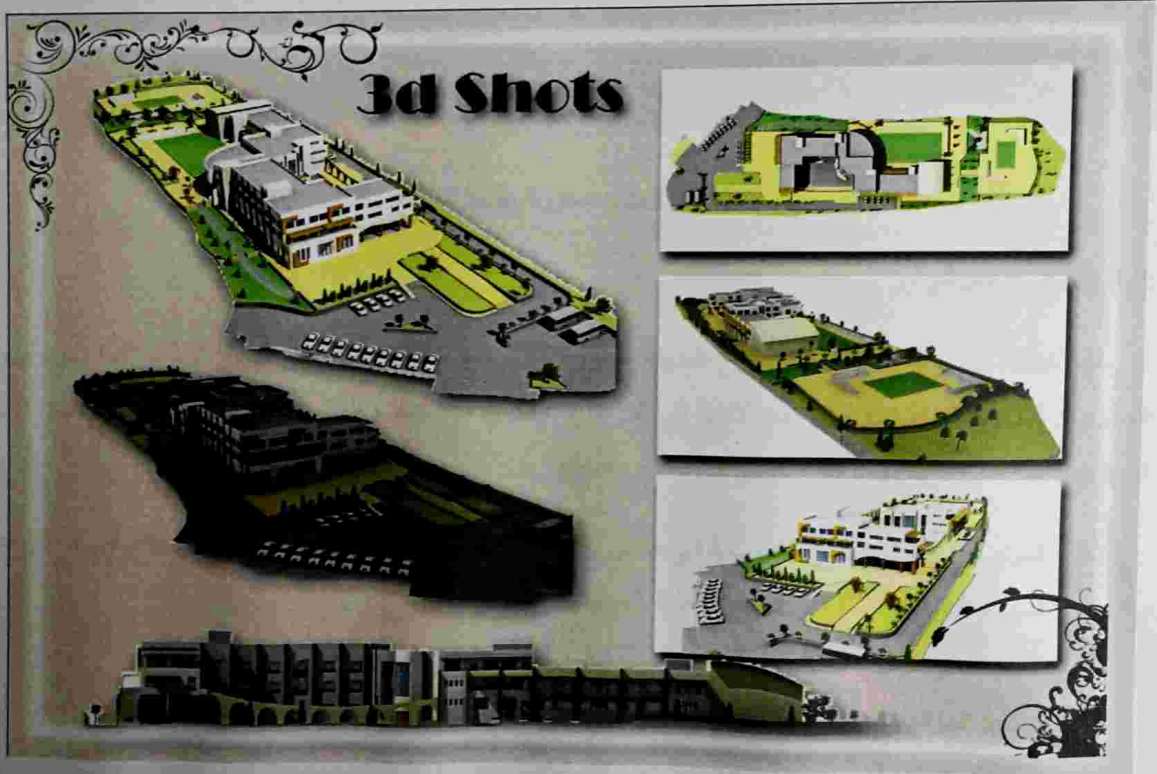
يتكون المبنى من ثلاثة طوابق على قطعة أرض مساحتها 14700 متر مربع ، ومساحة البناء 8400 متر مربع .

2.3 موقع المشروع

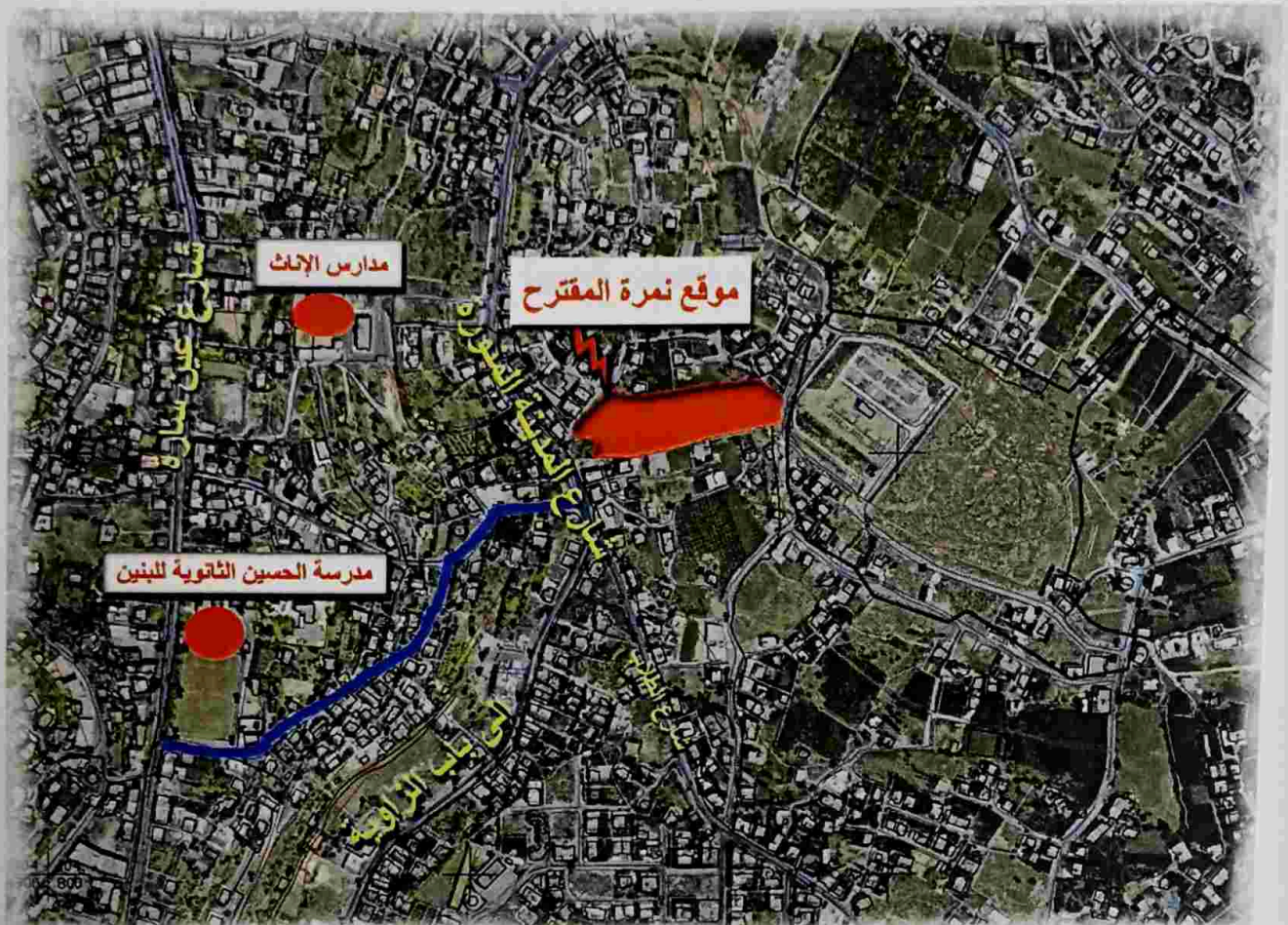
لتصميم أي مشروع فإنه ينبغي دراسة الموقع المراد تشييد المبنى فيه بعناية فائقة سواء تعلق ذلك بالموقع الجغرافي أم بتأثير القوى المناخية السائدة في المنطقة. بحيث تصان العناصر القائمة و علاقاتها بالتصميم المقترح في تألف وتناغم لتحقيق التصميم الأمثل.

فلذلك يجب إعطاء فكرة عامة عن عناصر الموقع، من توضيح لمقاسات الأرض المقترحة للبناء، علاقة الموقع بالشوارع والخدمات المحيطة، ارتفاع المباني المحيطة، واتجاه الرياح السائدة والضجيج ومسار الشمس.

قطعة الأرض غير منتظمة الشكل، يبلغ مساحتها تقريبا 14700 متر مربع، تقع في منطقة " واد القطع-خمرة "، الواقعة إلى الشمال الشرقي من مدينة الخليل؛ هنا سوف تجثم المدرسة المراد إنشاؤها، وقد تم ملائمة المشروع مع الموقع الذي تم اختياره، والذي سوف يأخذ شكلا يميل إلى الاستطالة متماشياً مع شكل الأرض، وكذلك مراعاة تحقيق الوظيفة للمبنى وتحقيق شروط الجمال، وتم مراعاة اختيار مكان مناسب من حيث التوجيه والتهوية، وطرق الاتصال الأفقي والرأسي لأجزاء المبنى من قاعات ومكاتب ومختبرات وأي خدمات أخرى.



الشكل (1-2) يوضح قطعة الأرض التي تم اختيارها.



2.3.2 حركة الشمس والرياح

تعتبر دراسة حركة الرياح و الشمس من العوامل المهمة في تحليل المبنى، فيجب معرفة تأثير كل من الرياح والشمس على المبنى ليتسنى تقسيمه إلى فراغات تتناسب وتوجيهه المناخي بحيث يلبي شروط التصميم المتعلقة بالتهوية والإضاءة الطبيعية.

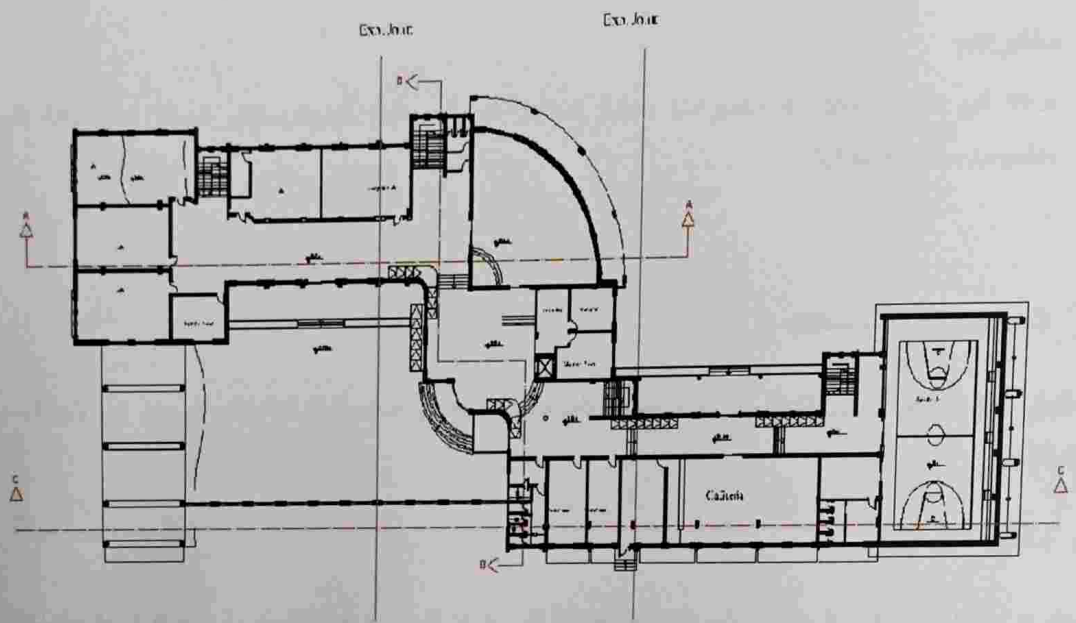
2.3.3 العناصر المعمارية

تجثم مدينة الخليل في بطن وادي الخليل، حيث تحصنت خلف تلال الوادي مما أكسبها مقومات دفاعية خاصة جعلتها تتحكم بالبوابة الطبيعية المؤدية إلى سقف مرتفعات القدس وما يليها شمالاً و صحراء النقب جنوباً، هذا الموقع المتميز يضيف على الطرز المعمارية السائدة فيها جمالاً ورونقاً خاصاً، وبدأت المدينة شيئاً فشيئاً باكتساب حلة معمارية جديدة ظهرت من خلال الأبنية التي نلاحظها عبر أطراف المدينة المترامية والتي تظهر تغيراً ملحوظاً في الطرز المعمارية التي سيطرت على المدينة في أوج ثورتها المعمارية.

2.4 وصف المساقط الأفقية

المبنى في تركيبته الهندسية يعتمد اعتماداً كلياً على الشكل المستطيل والشكل الدائري نظراً لطبيعة الأرض وتبلغ المساحة الطابقية لهذا المبنى 8400 م² موزعة على طوابق الارضي والاول والثاني كالآتي :

2.4.1 الطابق الارضي :



Ground floor

الشكل (2-3) مسقط الطابق الارضي

توزيع الفعاليات

الداخل لهذا الطابق لا يجد صعوبة في قراءته فالتقسيم الفراغي الذي يتضمنه يشتمل على ممرات سهلة الحركة تتميز بطولها. وتبلغ المساحة المقترحة لهذا الطابق (2800) م² , الطابق مختلف المناسيب , وتتوزع هذه المساحة على الفراغات التالية:

• **كافتيريا:**

يحتوي هذا الطابق على كافتيريا لها مدخلين خارجيين من الناحية الجنوبية والشمالية.

• **مختبرات:**

يوجد في هذا الطابق 4 مختبرات عملية (مختبر فيزياء, مختبر كيمياء, مختبر احياء) بالإضافة الى مختبر حاسوب سعة 20 طالبا

• **قاعة متعددة الاستعمالات :**

يحتوي هذا الطابق على قاعة كبيرة متعددة الاستعمالات يمكن استعمالها كقاعات تدريس او لإجراء معارض وفعاليات .

• **مكاتب مدرسين:**

يحتوي هذا الطابق على 3 مكاتب للموظفين بالإضافة إلى غرفة للمدير وغرفة للسكرتارية وغرفة للإجتماعات.

• **دورات المياه:**

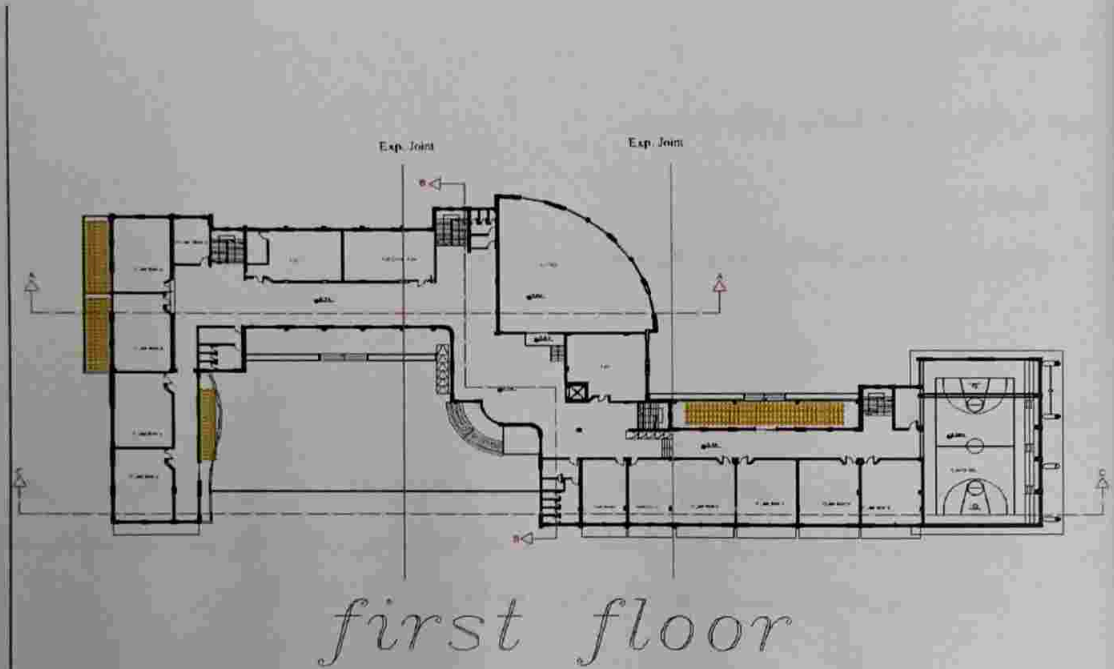
إذا نظرنا إلى توزيع المراحيض نجد ان كل قسم يحتوي على عدد من المراحيض .

• **الصالة الرياضية :**

تتسع هذه الصالة للعديد من الأنشطة الرياضية مثل التنس والبياردو وكرة القدم.

2.4.2 الطابق الاول:

يتم الوصول إلى هذا الطابق عن طريق الدرج ومصاعد الكهرباء في اكثر من موقع.



الشكل (2-4) مسقط الطابق الاول

تبلغ مساحة هذا الطابق 2800م² ذات منسوب 4.4 متر من سطح الأرض , ويمتاز كسابقه بسهولة الحركة بين فراغاته المختلفة، فضلاً عن الملائمة بين وظائف الفراغات الموجودة في هذا الطابق والموزعة بشكل يضمن سهولة الحركة بين هذه الفراغات والتي تشمل الآتي:

• قاعة المحاضرات:

يحتوي هذا الطابق على قاعات محاضرات كبيرة .

• مختبرات :

يحتوي المبنى على ثلاث مختبرات كبيرة وموقعها مناسب .

• مكاتب مدرسين:

ويحتوي هذا الطابق على مكاتب للمدرسين عدد 2.

• دورات المياه:

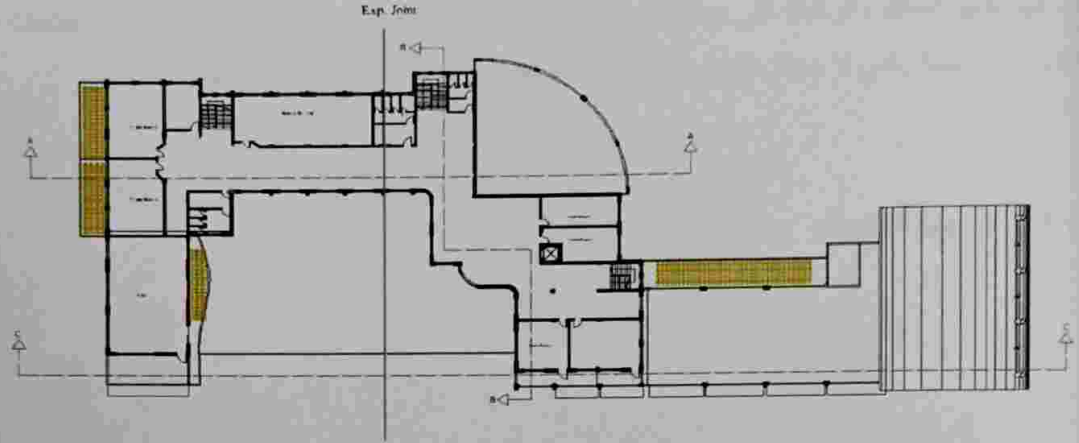
يوجد مراحيض خاصة بالطلاب وكذلك بالمدرسين .

• المكتبة :

وتتسع ل100 شخص كما انها تحتوي على مكتب لأمين المكتبة.

2.4.3 الطابق الثاني:

تبلغ المساحة المقترحة لهذا الطابق 2800 م² منسوب هذا الطابق 8.35 متر من سطح الأرض , ويمتاز كسابقه بسهولة الحركة بين فراغاته المختلفة، فضلاً عن الملائمة بين وظائف الفراغات الموجودة في هذا الطابق والموزعة بشكل يضمن سهولة الحركة بين هذه الفراغات والتي تشمل الآتي:



الشكل (5-2) مسقط الطابق الثاني

- قاعة المحاضرات:
- يحتوي هذا الطابق على قاعات محاضرات كبيرة .
- مكاتب للمدرسين:
- ويضم هذا الطابق 3 مكاتب للمدرسين.
- غرف للصلاة:
- حيث يحتوي هذا الطابق على اماكن للصلاة
- دورات المياه:
- يوجد مراحيض خاصة بالطلاب وكذلك بالمدرسين .

2.5 وصف الواجهات :

لا شك في أن الواجهات المنبثقة من أي تصميم تعطي الانطباع الأول عن المبنى ومدى علاقته مع البيئة المحيطة بل إنها تظهر اختلاف الوظيفة التي تؤديها الفراغات والتي تعكسها الواجهة؛ وهذا يتأتى من خلال نظام الفتحات التي تظهرها الواجهة والتي لا بد وأن تتناسب مع وظيفة هذا الفراغ، أو من خلال المناسيب وتفاوتها .

2.5.1 الواجهة الجنوبية:



الشكل (2-6) الواجهة الجنوبية

تعد هذه الواجهة هي الواجهة الرئيسية وفيها يظهر المدخل الرئيسي للمبنى . والناظر لهذه الواجهة يرى تعدد أنظمة الفتحات المستخدمة وهذا بدوره يعكس اختلاف الوظيفة التي تحويها فراغات المبنى. وفي هذا المشروع يظهر من خلال التصميم المعماري للواجهات وجود التداخل في الكتل الأفقية والرأسية، كما يلاحظ استخدام نوعين من الحجر لتمييز موقع الفتحات من جهة وقطع الملل من جهة أخرى.. ومما يزيد في حداثة المبنى استخدام الكتل الزجاجية المكونة من الزجاج والألمنيوم حيث أضفى على هذه الواجهة جمالاً من جهة ومن جهة أخرى فإن مثل هذه الفتحات تسهم في توفير إضاءة طبيعية لهذا الجانب من المبنى كونه يتعرض لأشعة الشمس فترة قصيرة.

2.5.2 الواجهة الشمالية:



الشكل (2-7) الواجهة الشمالية

يلاحظ الناظر لهذه الواجهة عدم اختلاف المناسيب تبعاً للوظيفة التي تؤديها . كما يظهر تداخل الكتل الأفقية والراسية، والذي يعطي المبنى المنظر الجمالي الرائع فضلاً عن تعدد أنظمة الفتحات المستخدمة و استخدام نوعين من الحجر لتمييز موقع الفتحات من جهة وقطع الرتابة من جهة أخرى. كما تم استخدام البروزات التي تظهر المبنى بامتداد رأسي للتغلب على الامتداد الأفقي المنسجم مع طبيعة الأرض. يظهر في هذه الواجهة شكل عقدة الصالة الرياضية والتي تتميز بانها على شكل قوس دائري بشكل يوحي باختلاف الوظيفة لهذا التركيب .

2.5. الواجهة الغربية:



WEST ELEVATION

الشكل (2-8) الواجهة الغربية

تتميز هذه الواجهة باختلاف أنظمة الفتحات المستخدمة وتطل هذه الواجهة على الملعب وهذا بدوره يعطيها

إطلالة مميزة.

2.5.4 الواجهة الشرقية:



الشكل (2-9) الواجهة الشرقية

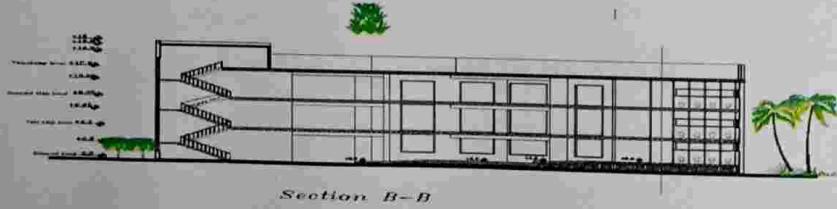
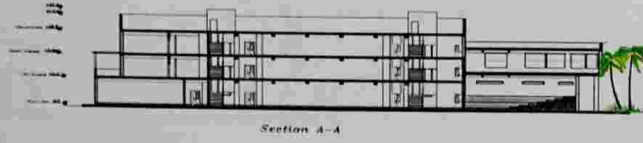
تبدو هذه الواجهة وكأنها تتحرك لأعلى من خلال اختلاف المناسيب كما تظهر القوة في التنوع ما بين المواد المستخدمة، فضلاً على التنوع في نظام الفتحات في محاولة للتغلب على الرتابة وقطع الملل.

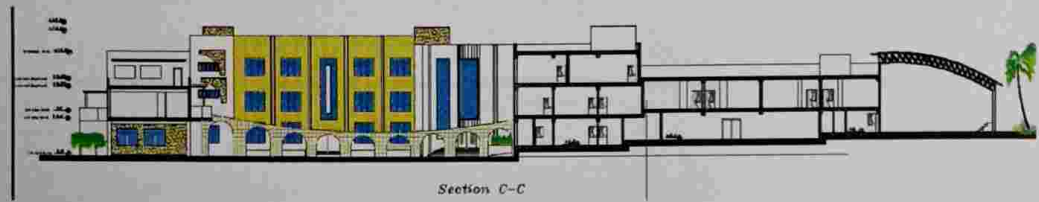
2.6 وصف الحركة:

تأخذ الحركة أشكالاً عدة سواء من خارج المبنى باتجاه الداخل، أو الحركة داخل المدرسة نفسها؛ فالحركة من خارج المدرسة إلى داخلها تتم بشكل سلس نظراً لعدم وجود فرق كبير في المنسوب الخارجي للمبنى ومنسوبه الداخلي .. أما بالنسبة للحركة داخل المبنى فنقسم إلى حركة أفقية داخل الطابق الواحد وحركة راسية ما بين الطوابق المختلفة.

فالحركة في الطابق الأرضي تأخذ شكل خطي في الممرات ولكن يوجد في هذا الطابق حركة عمودية تماثياً مع منسوب الأرض وهذا يتناسب مع وظيفة هذا الجزء كونه معد للكافتريا والمكاتب وقاعات التدريس. وكذلك الأمر بالنسبة للمدرج . وتظهر الحركة الخطية في باقي الطوابق لتتم بشكل سهل بين الفراغات المختلفة في هذه الطوابق.

وفيما يتعلق بالحركة الراسية بين الطوابق فإنها تتم من خلال الأدرج والمصاعد الكهربائية حيث أنها تأخذ أماكن متعددة في المبنى وهذا بدوره يسهل الحركة الأفقية داخل الطوابق والحركة الراسية بينها . وهذا ما يوضحه الشكل (2-10) .





الشكل (10-2) تابع قطاعات الدرج في عدة أماكن في المبنى.

الفصل الثالث

الوصف الإنشائي

3

3.1 المقدمة .

3.2 هدف التصميم الإنشائي .

3.3 الدراسات النظرية للعناصر الإنشائية في المبنى .

3.4 الاختبارات العملية .

3.5 العناصر الإنشائية .

3.6 فواصل التمدد .

3.1 مقدمة

من خلال الوصف المعماري الكامل للمبنى لا بد من تطبيق الأفكار و المقترحات الموجودة في التحليل المعماري في التصميم الإنشائي الذي يتمشى مع المتطلبات المعمارية والقوانين الهندسية إذ يعتمد التصميم الإنشائي بشكل أساسي على تصميم كافة العناصر الإنشائية بحيث تقاوم كافة الأحمال التي تؤثر عليها و بالتالي يجب وصف كافة هذه العناصر وصفاً دقيقاً يلبي متطلبات الحسابات الهندسية لهذا المشروع بالإضافة للحفاظ على التصميم المعماري وعدم تغييره .

3.2 هدف التصميم الإنشائي

يهدف التصميم الإنشائي بشكل أساسي الى إنتاج منشأ متقن و متزن من جميع النواحي الهندسية والإنشائية ومقاوم لجميع المؤثرات الخارجية من أحمال مينة و حية وأيضا أحمال بينية من تأثير الزلازل و الرياح و الثلوج. وبالتالي يتم تحديد العناصر الإنشائية بناء على:

- الأمان (Safety): يتم تحقيقه عبر اختيار مقاطع للعناصر الإنشائية قادرة على تحمل القوى و الإجهادات الناتجة عنها.
- التكلفة (Cost): يتم تحقيقها عن طريق مواد البناء و مقاطع مناسبة التكلفة و كافية للغرض الذي ستستخدم من أجله.
- حدود صلاحية المبنى للتشغيل (Serviceability) من حيث تجنب أي هبوط زائد (Deflection) و تجنب التشققات (Cracks) التي تؤثر سلباً على المنظر المعماري المطلوب.
- الشكل و النواحي الجمالية للمنشأ.

3.3 الدراسات النظرية للعناصر الإنشائية في المبنى

تعتبر الدراسة النظرية جزء رئيسي ومهم يجب القيام به لإتمام عملية التحليل والتصميم، حيث أنه من خلالها يمكن الوصول إلى أفضل ما يكون من عمليات التحليل، لذلك يجب دراسة العناصر الإنشائية بشكل جيد وتحديد الأحمال الواقعة على كل عنصر للوصول إلى التصميم المتين والأمن وطريقة العمل المناسبة.

3.3.1 الأحمال

لابد للعناصر الإنشائية التي يتم تصميمها أن تكون قادرة على تحمل الأحمال الواقعة عليها دون حدوث انهيار للمنشأة ومن هذه الأحمال: الأحمال الميتة، الأحمال الحية، والأحمال البيئية.

3.3.2 الأحمال الميتة

هي أحمال تنجم عن وزن المبنى الذاتي الذي يتكون من أوزان مواد البناء المستخدمة حيث تتضمن جميع العناصر الإنشائية و التجهيزات الثابتة فهي أحمال تلازم المبنى بشكل دائم، ثابتة المقدار والاتجاه. وفيما يتعلق بالكثافة النوعية للمواد المستخدمة فهي كالتالي:

الجدول (1-3) الكثافة النوعية للمواد المستخدمة

الرقم المتسلسل	المادة المستخدمة	الكثافة المستخدمة (KN/m ³)
1	البلاط	22
2	المونة	23
3	الخرسانة المسلحة	25
4	الطوب	9
5	القضارة	23
6	الرمل	17

3.3.3 الأحمال الحية

وهي الأحمال التي تتعرض لها الأبنية والإنشاءات بحكم استعمالها المختلفة , او استعمالات جزء منها , بما في ذلك الأحمال الموزعة والمركزة, وهي تشمل :

1. أوزان الأشخاص مستعملي المنشأة.
2. الأحمال الديناميكية, كالأجهزة التي ينشأ عنها اهتزازات تؤثر على المنشأة .
3. الأحمال الساكنة, والتي يمكن تغيير أماكنها من وقت لآخر, كاثاث البيوت , والأجهزة والألات الاستاتيكية غير المثبتة, والمواد المخزنة و الأثاث والأجهزة والمعدات, والجنول (2-3) يبين قيمة الأحمال الحية اعتمادا على نوعية استخدام المبنى حسب الكود الأردني.

الجدول (2-3) الأحمال الحية للمرافق الخاصة بالمدرسة

(kN). وتحدد أحمال الرياح حسب الكود الأمريكي (UBC) اعتماداً على ارتفاع
من حيث الإحاطة من مباني سواء كانت مرتفعة أو منخفضة.

يتعرض لها المنشأ بفعل تراكم الثلوج، ويمكن تقييم أحمال الثلوج اعتماداً على

البحر.

ساقط الثلوج.

ثلوج حسب الارتفاع عن سطح البحر حسب الكود الأردني.

(3): قيمة أحمال الثلوج حسب الارتفاع عن سطح البحر.

أحمال الثلوج (KN /M ²)	ح
0	
(h-250) / 800	
(h-400) / 320	

استناداً إلى جدول أحمال الثلوج السابق وبعد تحديد ارتفاع المبنى عن سطح البحر، و الذي يساوي (900م) وتبعاً للبند الثالث تم حساب أحمال الثلوج كالآتي:

$$s_L = \frac{h - 400}{320}$$

$$s_l = \frac{900 - 400}{320} = 1.563 \text{ kN / m}^2$$

3.3.4.3 الزلازل

من أهم الأحمال البيئية التي تؤثر على المبنى و هي عبارة عن قوى أفقية و رأسية يتولد عنها عزوم منها عزم الإلتواء وعزم الانقلاب، ويمكن مقاومتها باستخدام جدران القص المصممة بسماكات و تسليح كافي يضمن سلامة المبنى عند تعرضه لمثل هذه الأحمال التي يجب مراعاتها في عملية التصميم لتقليل الخطورة والمحافظة على أداء المبنى لوظيفته أثناء الزلازل، ويتم تحديد أحمال الزلازل وقوى القص اعتماداً ورجوعاً إلى الكود الأمريكي (UBC).

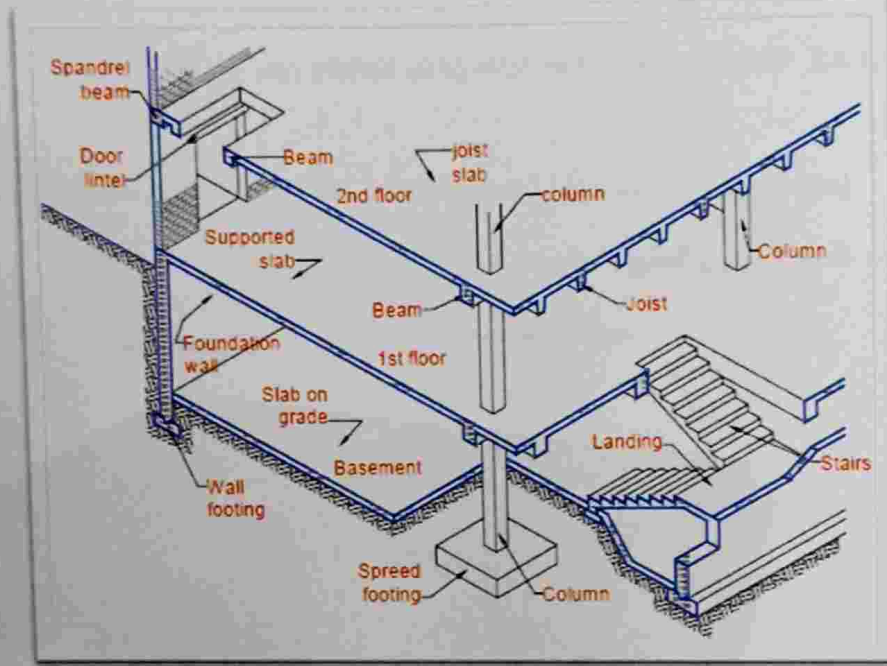
3.4 الاختبارات العملية:

يسبق الدراسة الإنشائية لأي مبنى ، عمل الدراسات الجيوتقنية للموقع، ويعنى بها جميع الأعمال التي لها علاقة باستكشاف الموقع ودراسة التربة والصخور والمياه الجوفية ، وتحليل المعلومات وترجمتها للتنبؤ بطريقة تصرف التربة ، عند البناء عليها، وأكثر ما يهتم به المهندس الإنشائي هو الحصول على قوة تحمل التربة (Bearing Capacity) اللازمة لتصميم أساسات المبنى وكانت قوة تحمل التربة للموقع تساوي 400 كيلو نيوتن لكل متر مربع.

3.5 العناصر الإنشائية المكونة للمبنى:

تتكون جميع المباني عادة من مجموعة من العناصر الإنشائية التي تتكاتف لكي تحافظ على استمرارية وجود المبنى وصلاحيته للاستخدام البشري، ومن أهم هذه العناصر، العقود والجسور والأعمدة والجدران الحاملة والأساسات وغيرها.

الشكل (1-3) يوضح بعض العناصر الإنشائية في المبنى



ويحتوي
المشروع
العناصر
التالية:

3.5.1 العقدات

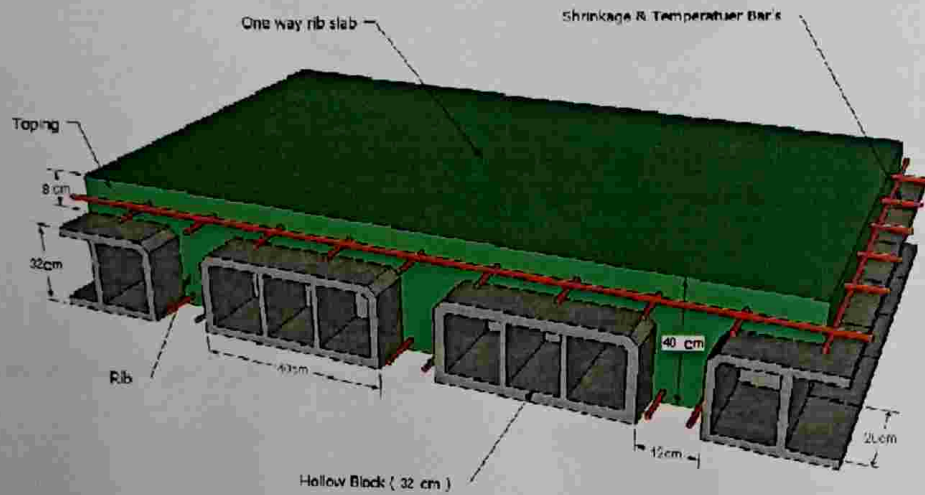
هي عبارة عن العناصر الإنشائية القادرة على نقل القوى الرأسية بسبب الأحمال المؤثرة عليها إلى العناصر الإنشائية الحاملة في المبنى مثل الجسور والجران والأعمدة، دون تعرضها إلى تشوهات. توجد أنواع مختلفة وعديدة شائعة الاستعمال من العقدات الخرسانية المسلحة ، منها البلاطات المصممة ذات الاتجاه الواحد والاتجاهين والبلاطات المفرغة ذات الاتجاه الواحد والاتجاهين ، وقد تم استخدام البلاطات المفرغة ذات الاتجاه الواحد والاتجاهين في المشروع وفي مايلي وصفها:

1. البلاطات المفرغة (Ribbed Slabs) وتقسّم إلى :
 - عقدات العصب ذات الاتجاه الواحد (One way ribbed slab) .
 - عقدات العصب ذات الاتجاهين (Two way ribbed slab).
2. البلاطات المصممة (Solid Slabs) وتقسّم إلى :
 - العقدات المصممة ذات الاتجاه الواحد (One way solid slab)

- العقدات المصممة ذات الاتجاهين (Two way solid slab).

3.5.1.1 عقدات العصب ذات الاتجاه الواحد (One way ribbed slab):

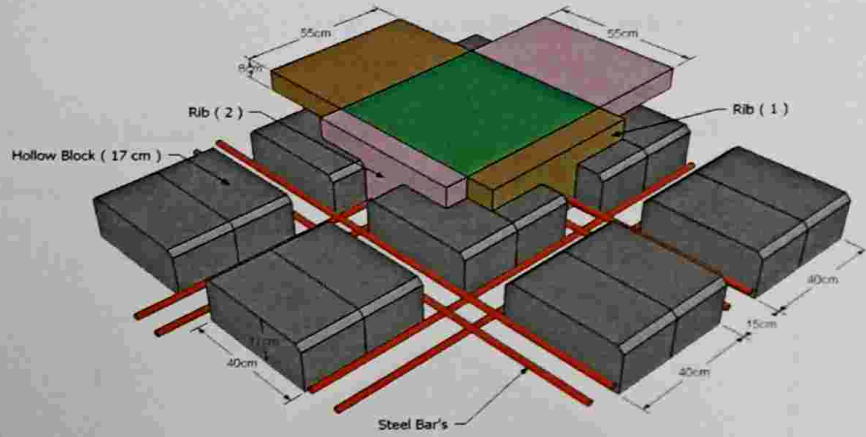
إحدى أشهر الطرق المستخدمة في تصميم العقدات في هذه البلاد وتتكون من صف من الطوب يليه العصب, ويكون التسليح باتجاه واحد كما هو مبين في الشكل (2-3).



الشكل (2-3): عقدات العصب ذات الاتجاه الواحد.

3.5.1.2 عقدات العصب ذات الاتجاهين (Two way ribbed slab):

تشبه السابقة من حيث المكونات ولكنها تختلف من حيث كون التسليح باتجاهين ويتم توزيع الحمل في جميع الاتجاهات, ويراعى عند حساب وزنها طوبتين وعصب في الاتجاهين, كما يظهر في الشكل (3-3):

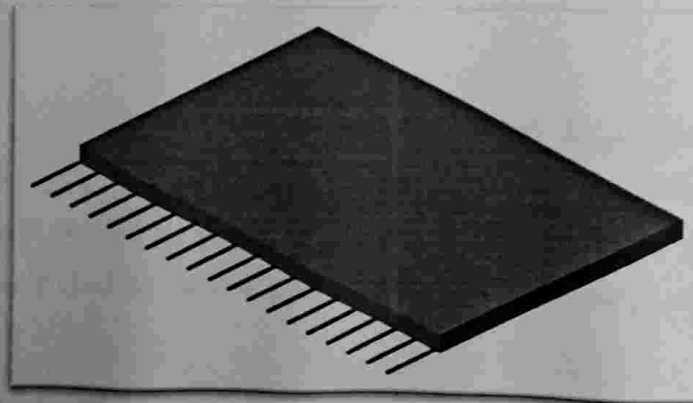


الشكل (3-3): عقود العصب ذات الاتجاهين .

3.5.1.3 العقود المصمتة ذات الاتجاه الواحد (One way solid slab):

تستخدم في المناطق التي تتعرض كثيرا للأحمال الحية، وذلك تجنباً لحدوث اهتزاز نظراً للسماعة المنخفضة،

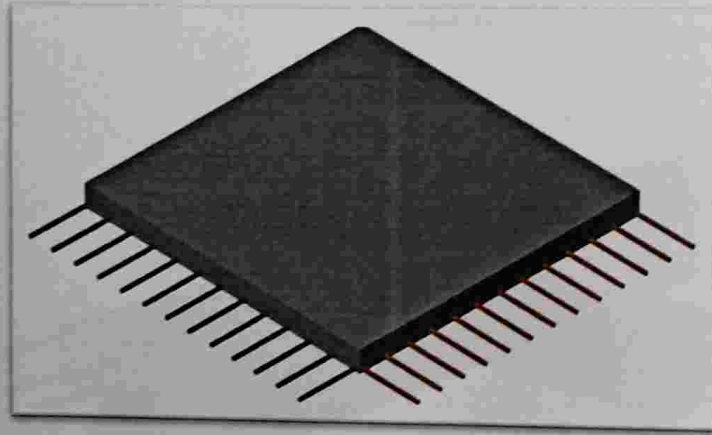
وتم استخدامها في عقده البير كما في الشكل (4-3) :



الشكل (4-3): العقود المصمتة ذات الاتجاه الواحد.

3.5.1.4 العقدات المصمتة ذات الاتجاهين (Two way solid slab) :

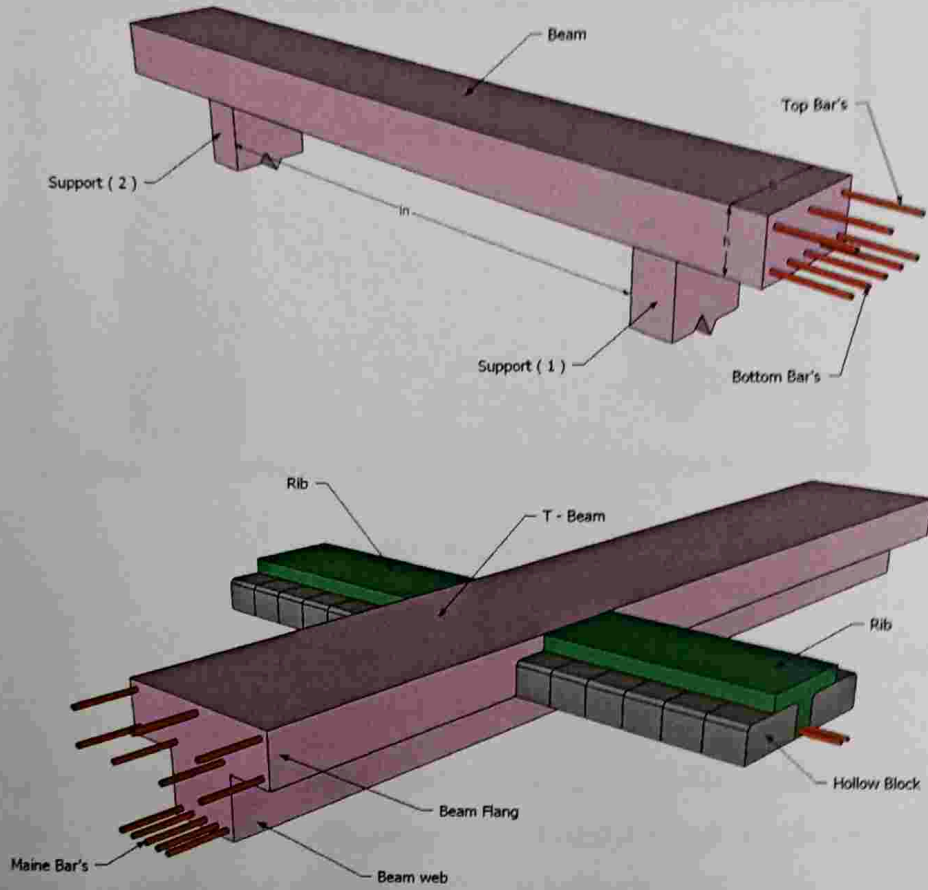
تستخدم في حال كانت الأحمال المؤثرة أكبر من المقدار الذي تستطيع العقدة المصمتة ذات الاتجاه الواحد مقاومتها، وعند ذلك يتم اللجوء إلى تصميم هذا النوع من العقدات وذلك لأنها تستطيع مقاومة الأحمال بشكل أكبر حيث يوزع التسليح الرئيسي فيها باتجاهين موضحة في الشكل (5-3).



الشكل (5-3): العقدات المصمتة ذات الاتجاهين.

3.5.2 الجسور:

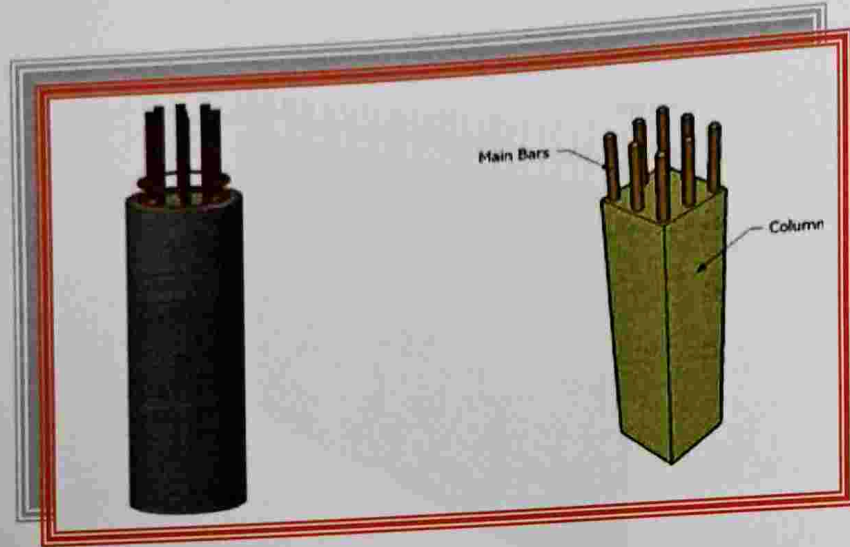
وهي عناصر إنشائية أساسية في نقل الأحمال من الأعصاب داخل العقدة إلى الأعمدة، وهي نوعين، جسور مسحورة (مخفية داخل العقدات) والجسور المدلاة "Dropped Beams" وهي التي تبرز عن العقدة من الأسفل، ونظرا للمسافات المختلفه بين الأعمدة في المبنى المراد تصميمه في هذا المشروع، فضلاً عن الأحمال الواقعة، فإن الجسور التي سوف تستخدم في العقدة ستكون جسور مسحورة وأخرى مدلاة تقوم بنقل أحمال الأعصاب إليها.



الشكل (3-6) أشكال الجسور المدلاة و المسحورة.

3.5.3 الأعمدة:

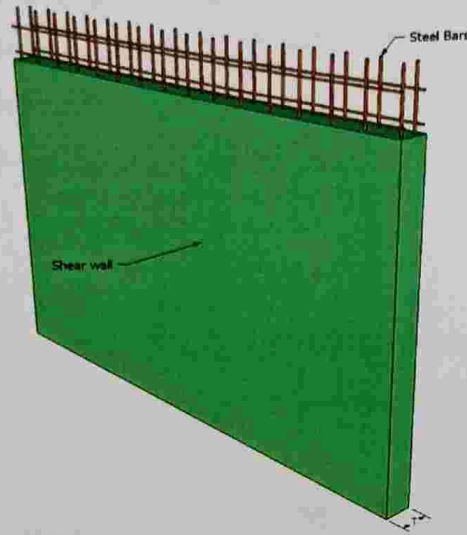
تعتبر الأعمدة العضو الرئيس في نقل الأحمال من العقدات والجسور إلى الأساسات، وبذلك فهي عنصر إنشائي ضروري لنقل الأحمال وثبات المبنى. لذلك يجب تصميمها بحيث تكون قادرة على حمل وتوزيع الأحمال الواقعة عليها، و هي متنوعة من حيث المقطع وطريقة العمل.



الشكل (3-7): أحد أشكال الأعمدة.

3.5.4 الجدران الحاملة (جدران القص):

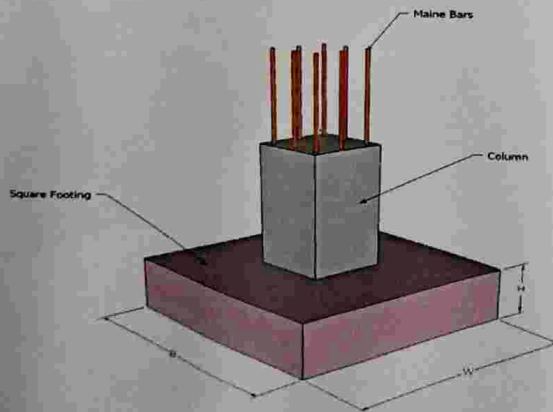
وهي عناصر إنشائية حاملة تقاوم القوى العمودية والأفقية الواقعة عليها وتستخدم بشكل أساسي لمقاومة الأحمال الأفقية مثل قوى الرياح والزلازل وتسمى جدران القص (shear wall) وهذه الجدران تسطح بطبقتين من الحديد حتى تزيد من كفاءتها على مقاومة القوى الأفقية. وقد تم تحديد الجدران الحاملة في المبنى وتوزيعها المبنى، وتتمثل الجدران الحاملة بجدران بيت الدرج، وجدران المصاعد، والجدران الأخرى التي تبدأ من أساسات المبنى، وتعمل على تحمل الأوزان الرأسية المنقولة إليها كما تعمل كجدران قص تقاوم القوى الأفقية التي يتعرض لها المنشأ، ويجب توفرها في الاتجاهين مع مراعاة أن تكون المسافة بين مركز المقاومة الذي تشكله جدران القص في كل اتجاه ومركز الثقل للمبنى أقل ما يمكن. وإن تكون هذه الجدران كافية لمنع أو تقليل تولد عزوم اللي وأثاره على جدران المبنى المقاومة للقوى الأفقية.



الشكل (8-3): جدار القص.

3.5.5 الأساسات:

بالرغم من أن الأساسات هي أول ما يبدأ بتنفيذها عند بناء المنشأ، إلا أن تصميمها يتم بعد الإنتهاء من تصميم كافة العناصر الإنشائية في المبنى.

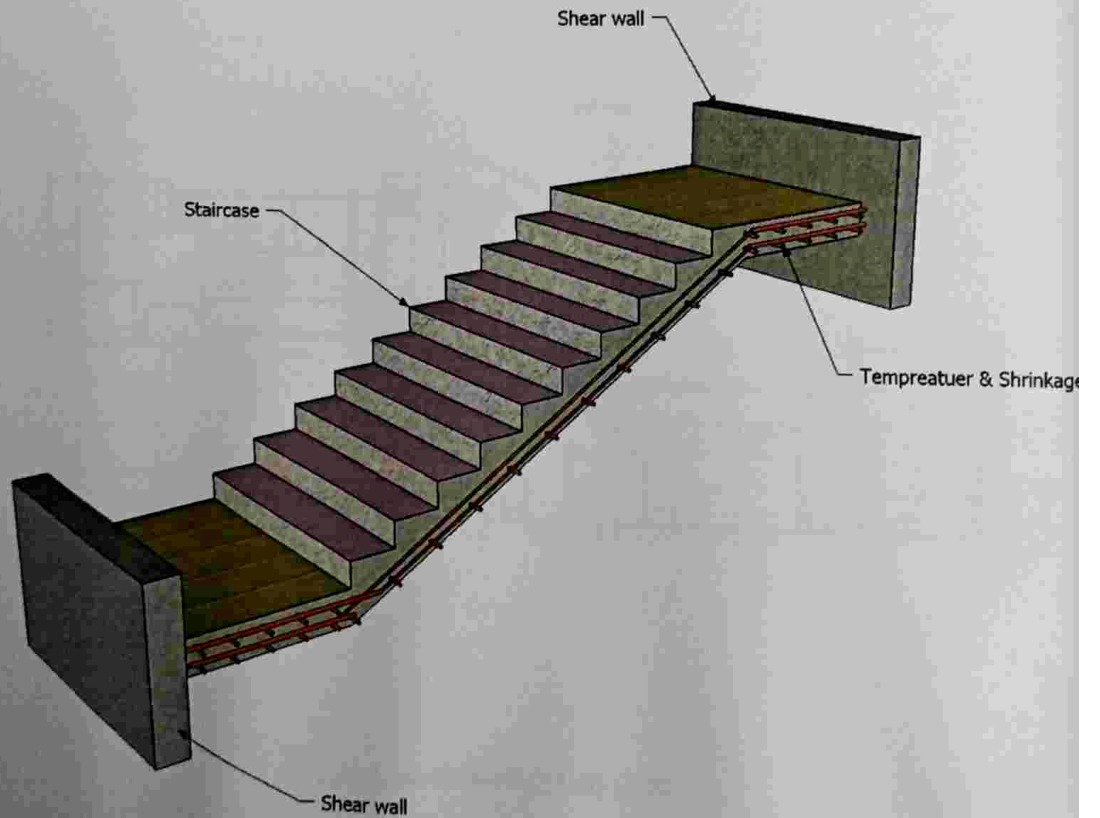


الشكل (9-3) : الأساس المنفرد

ولمعرفة الأوزان والأحمال الواقعة عليها، فإن الأحمال الواقعة على العقدة تنتقل إلى الجسور ثم إلى الأعمدة وأخيراً إلى الأساسات، وتكون هذه الأحمال هي الأحمال التصميمية للأساسات، و بناءاً على الأحمال الواقعة عليها وطبيعة الموقع يتم تحديد نوع الأساسات المستخدمة، ومن المتوقع استخدام أساسات من أنواع مختلفة وذلك تبعاً لقوة تحمل التربة والأحمال الواقعة على كل أساس و نظراً لما يتخذه هيكل المنشأ من شكل متدرج ليتلاءم وطبوغرافية الأرض.

3.5.6 الأدرج:

عبارة عن عناصر معمارية تستخدم للانتقال الراسي بين المستويات المختلفة المناسب، وتم استخدامها في مشروعاتنا بشكل واضح والشكل (10-3) يبين مقطع عام للدرج.



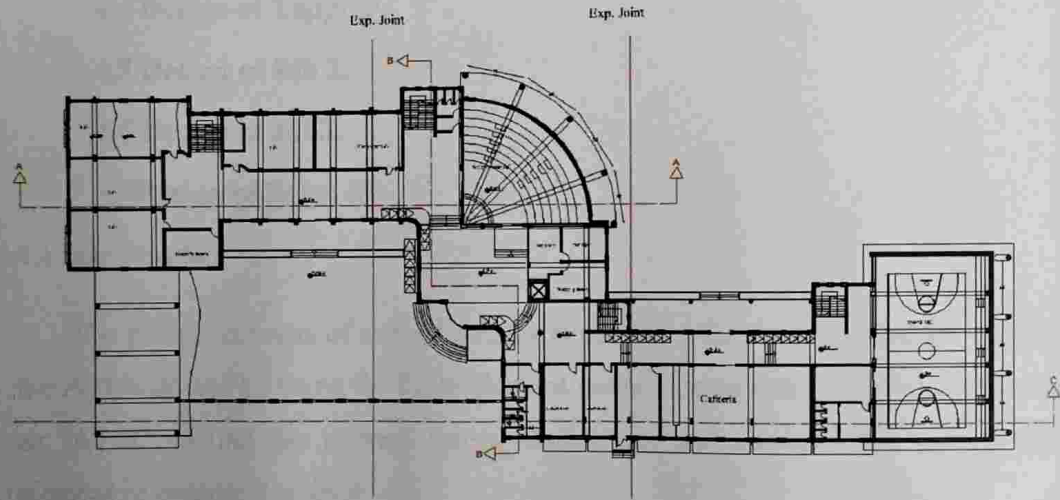
الشكل (10-3): الدرج .

3.6 فواصل التمدد (Expansions Joints):

يمكن تحديد المسافة القصوى بين فواصل التمدد للمنشآت العادية كما يلي :

- من 40 إلى 45 م في المناطق المعتدلة كما هو الحال في فلسطين .
- من 30 إلى 35 م في المناطق الحارة .
- ويمكن زيادة هذه المسافات بشرط الأخذ بعين الاعتبار تأثير عوامل الانكماش و التمدد و الزحف .
- و في حالة أعمال الخرسانة الكتلية كالحوائط الأستنادية و الأسوار يجب تقليل المسافات بين الفواصل و اخذ الاحتياطات اللازمة لمنع تسرب المياه من خلال فواصل التمدد .

وتم استخدام فاصلي تمدد في هذا المشروع .



الشكل (11-3) فاصلا التمدد بالمبنى.

Chapter 4

Structural Analysis & Design

4.1 Introduction.

4.2 Determination of Slab Thickness.

4.3 Determination of Factored Load.

4.4 Design of Topping.

4.5 Design of Rib 2.

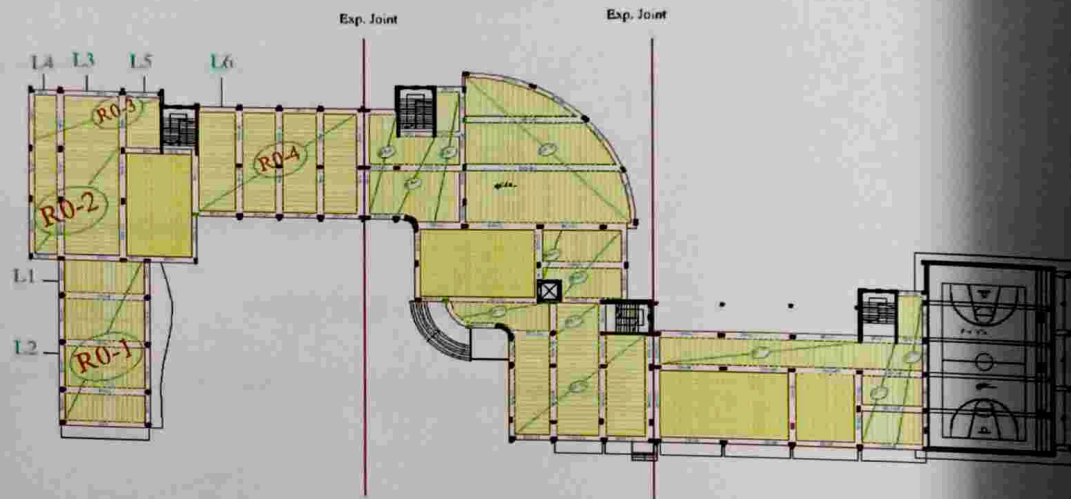
4.6 Design of Rib3.

4.7 Design of Beam (8).

4.1 Introduction

The project consists of several structural elements that will be designed according to the ACI code and by using the finite element method using much computer software such as "ATIR" to find the internal forces, deflections and moments for the all structural element in order to design it.

4.2 Determination of Slab Thickness



Ground floor

Figure (4-1): Ground Floor Slab.

According to ACI-Code-318-05, the minimum thickness of non prestressed beams or one way slabs unless deflections are computed, given in table (9.5-a), as follows:

$$h_{\min} \text{ for one-end continuous} = L1/18.5$$

$$= 450 / 18.5 = 24.32 \text{ cm.}$$

$$h_{\min} \text{ for both-end continuous} = L2/21$$

$$= 570 / 21 = 27.14 \text{ cm}$$

$$h_{\min} \text{ for both-end continuous} = L3/21$$

$$= 690/21 = 32.86 \text{ cm (control)}$$

$$h_{\min} \text{ for one-end continuous} = L4/18.5$$

$$= 330/18.5 = 17.83 \text{ cm}$$

$$h_{\min} \text{ for one-end continuous} = L5/18.5$$

$$= 420/18.5 = 22.7 \text{ cm}$$

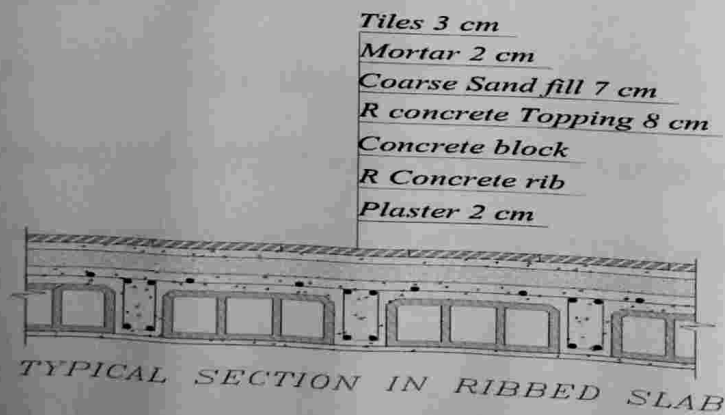
$$h_{\min} \text{ for one-end continuous} = L6/18.5$$

$$= 460/18.5 = 24.86 \text{ cm}$$

We selected $h = 35 \text{ cm}$ For both-end continuous is control.

4.3 Determination of factored Load

4.3.1 Determination of Dead load



Tiles $0.03 \times 0.52 \times 22 = 0.3432 \text{ kN/m / rib}$

Mortar $0.02 \times 0.52 \times 23 = 0.2392 \text{ kN/m / rib}$

Coarse Sand Fill	$0.07 \times 0.52 \times 17 = 0.6188 \text{ kN/m / rib}$
Topping	$0.08 \times 0.52 \times 25 = 1.04 \text{ kN/m./rib}$
Block	$0.27 \times 0.40 \times 9 = 0.972 \text{ kN/m / rib}$
Concrete Rib	$0.24 \times 0.12 \times 25 = 0.81 \text{ kN/m / rib}$
Plaster	$0.02 \times 0.52 \times 23 = 0.2392 \text{ kN/m / rib}$
partitions	$1.25 \times 0.52 = 0.65 \text{ kN/m / rib}$

Nominal Total Dead Load =

$$0.3432 + 0.2392 + 0.6188 + 1.04 + 1.04 + 0.972 + 0.81 + 0.2392 + 0.65$$

$$= 4.9124 \text{ kN/m of rib}$$

Nominal Total live load = $3 \times 0.52 = 1.56 \text{ kN/m of rib}$

Total Dead Load (service) = $4.9124 / 0.52 = 9.447 \text{ kN/m}^2$

Total live load = 3 kN/m^2

4.3.2 Determination of factored dead & live load

Factored dead load = $1.2 \times \text{Dead load} = 1.2 \times 4.9124 = 5.89488 \text{ KN/m of rib.}$

Factored Live load = $1.6 \times \text{live load} = 1.6 \times 1.56 = 2.5 \text{ KN/m of rib.}$

4.4 Design of Topping:

Used $f_y = 420 \text{ MPa}$ & $f_c' = 24 \text{ MPa}$

$$\begin{aligned}\text{Dead load of topping} &= W_{\text{topping}} + W_{\text{tiles}} + W_{\text{sand}} + W_{\text{mortor}} + W_{\text{partiones}} \\ &= 1.04 + 0.3432 + 0.6188 + 0.2392 + 0.65 = 2.8912 \text{ KN/m}\end{aligned}$$

$$\text{Total Dead Load} = 2.8912 \text{ KN/m}$$

$$\text{Live Load} = 3 \text{ KN/m.}$$

$$q_u = 1.2 \text{ DL} + 1.6 \text{ LL}$$

$$= 1.2 * 2.8912 + 1.6 * 3 = 10.68 \text{ KN/m (Total Factored Load)}$$

$$M_u = \frac{q_u \times l^2}{12} = \frac{10.68 \times (0.4)^2}{12} = 0.1424 \text{ kN.m}$$

$$\begin{aligned}M_n &= 0.42 \sqrt{f_c'} \times \frac{b \times h^2}{6} \\ &= 0.42 \sqrt{24} \times \frac{1000 \times 80^2}{6} = 2.19 \text{ kN.m}\end{aligned}$$

$$\phi \times M_n = 0.55 * 2.19 = 1.205 \text{ kN.m.}$$

$$\phi \times M_n = 1.2051 \text{ kN.m} > M_u = 0.1424 \text{ kN.m.}$$

No structural reinforcement is required.

Therefore, shrinkage and temperature reinforcement must be provided

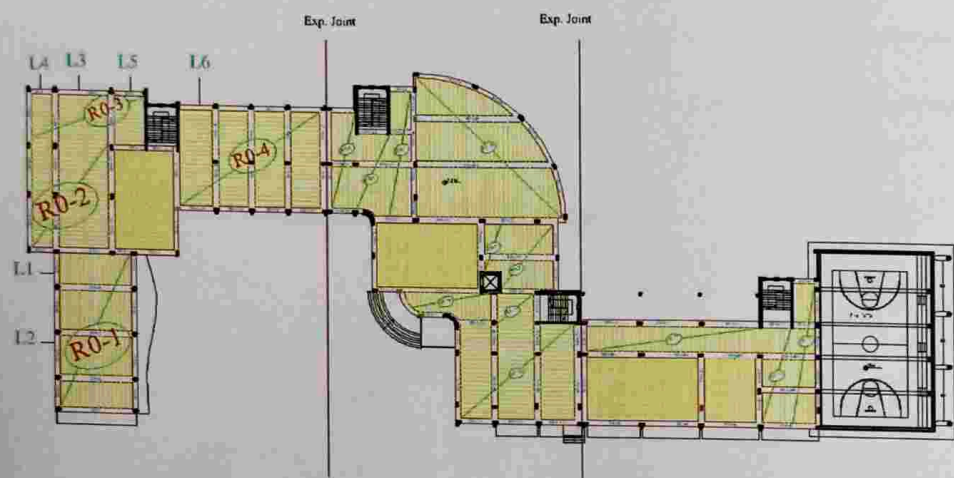
$$\rho = 0.0018 \quad \text{ACI-318-02 (7.12.2)}$$

$$A_{s_{\min}} = \rho \times b \times h = 0.0018 \times 100 \times 8 = 1.44 \text{ cm}^2 / \text{m.}$$

Use 1Φ8/25 cm (4Φ8/1m), with $A_s = 200 \text{ mm}^2 / \text{m}$ in both directions.

$$A_s = 2.0 \text{ cm}^2 / \text{m} > A_{s_{\min}} = 1.44 \text{ cm}^2 \quad \text{Ok}$$

4.5 Design of Rib (R2) at ground slab:



Ground floor

Figure (4-2): Structural Plane

Using "Atir" software for the following values of the envelope moment and shear diagram:

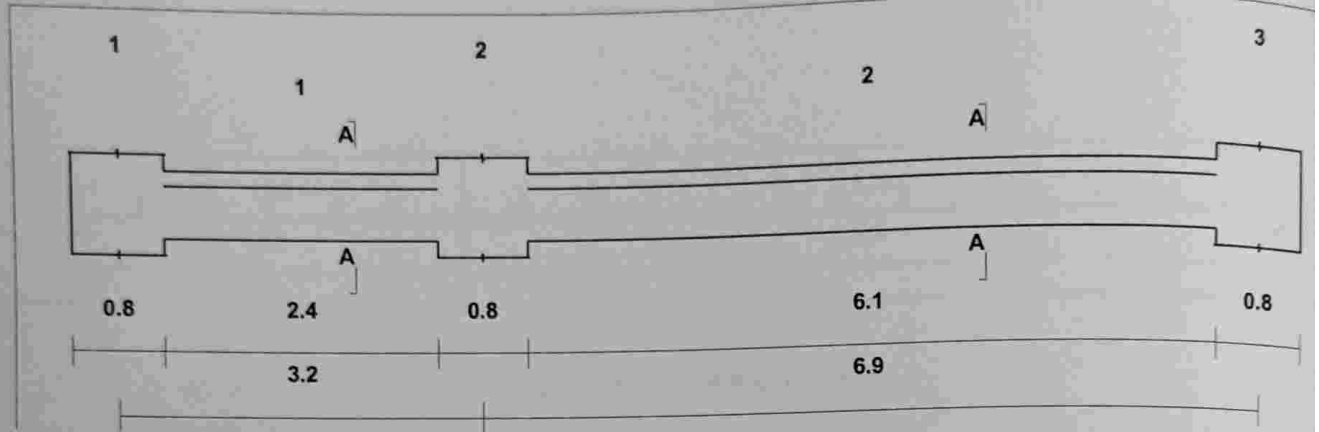


Figure (4-3): Rib2 geometry.

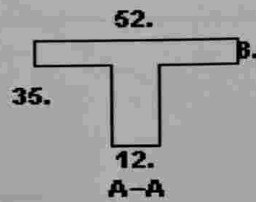
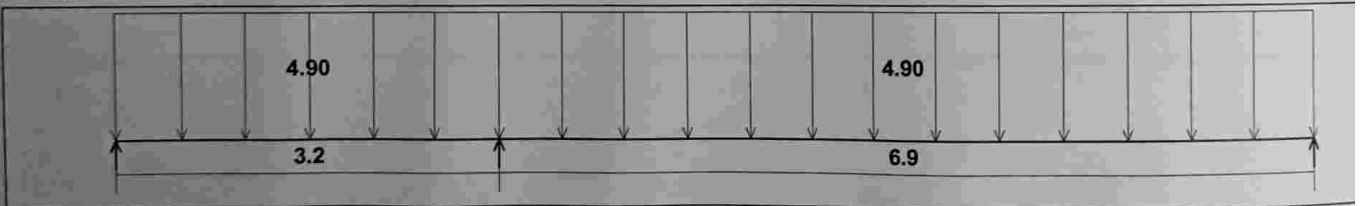


Figure (4-4) : Rib Section

load group no. 1
Dead load - Service

Units: kN,m



Live load - Service

Load factors: 1.20, 1.20/1.

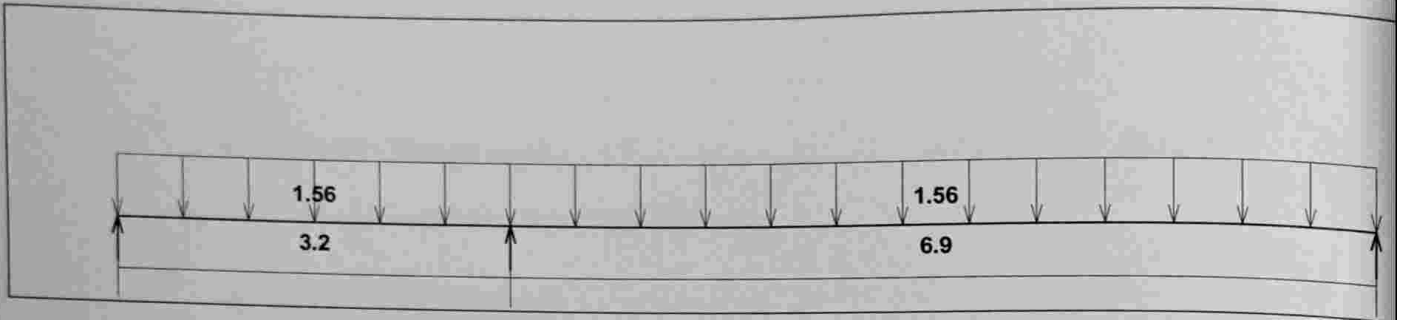


Figure (4-5) : loading of Rib 2

Moments: spans 1 to 2

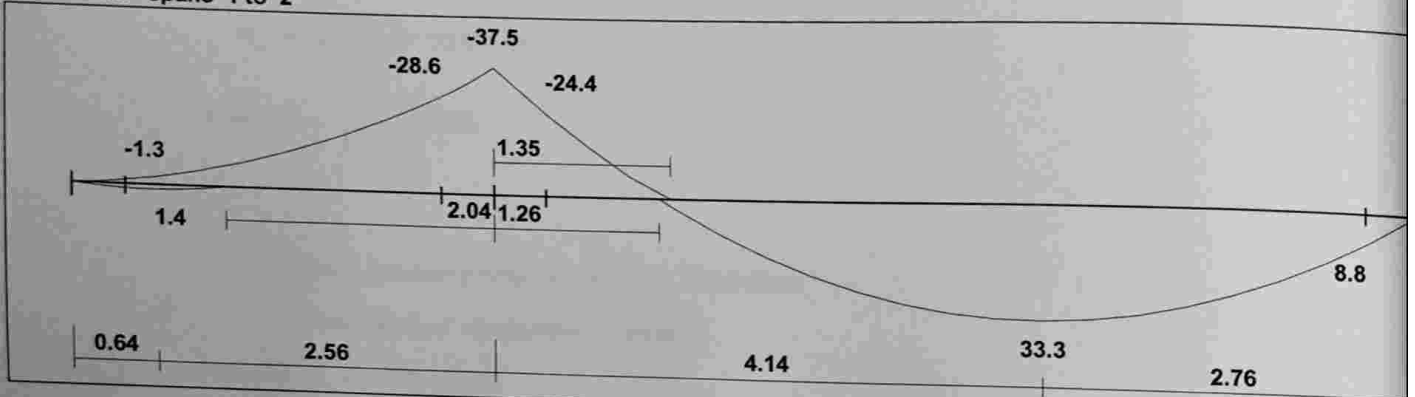


Figure (4-6) : Moment Envelop of rib 2.

Shear

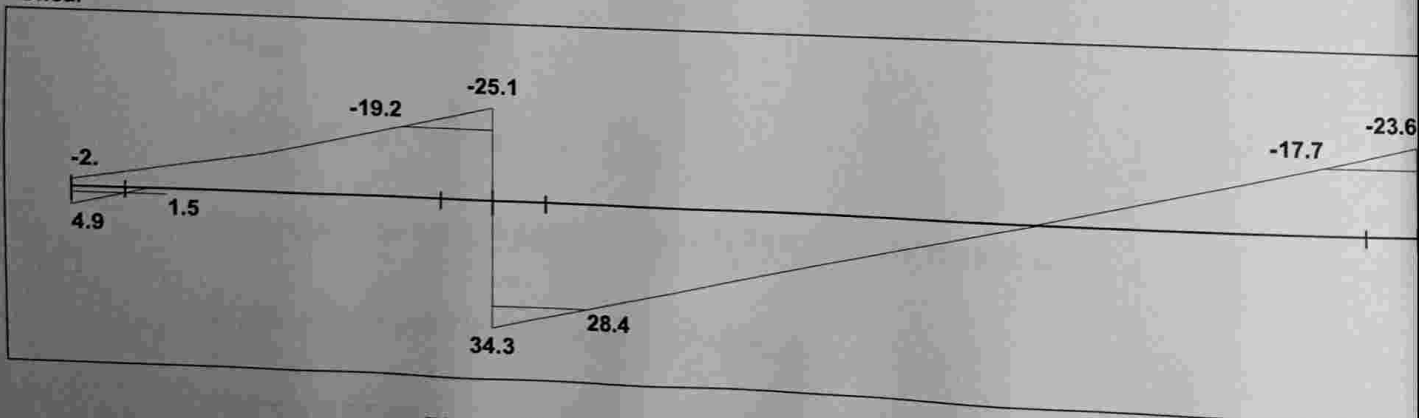


Figure (4-7) : Shear Envelop of rib2.

- Effective Flange width (b_E)ACI-318-02 (8.12.2)

b_E For T- section is the smallest of the following:

$$b_E = L / 4 = 2.4 / 4 = 60 \text{ cm}$$

$$b_E = 12 + 16 t = 12 + 16 (8) = 140 \text{ cm}$$

$$b_E \leq \text{center to center between rib} = 52 \text{ cm}$$

Control 52cm

- Check rectangular section or T-section

Assume bar diameter = 14mm

$$b_w = 12 \text{ cm}, h = 35 \text{ cm}$$

$$d = 350 - 20 - 8 - 7 = 315 \text{ mm}$$

$$M_{u_{\max}} = 33.3 \text{ KN .m}$$

$$Mn_f = 0.85 * f_c * bf * tf * \left(d - \frac{tf}{2} \right)$$

$$Mn_f = 0.85 * 24 * 0.52 * 0.08 * \left(0.315 - \frac{0.08}{2} \right) * 10^3 = 233.376 \text{ KN .m}$$

$$\Phi Mn_f = 0.9 * 233.376 = 210 \text{ KN .m} \gg M_{u_{\max}}$$

rectangular section

4.5.1 Design of Positive moment of rib 2:

4.5.1.1 Design of Span 1

$$Mu = 1.4 \text{ KN} \cdot \text{m}$$

$$Mn = \frac{Mu}{\Phi} = \frac{1.4}{0.9} = 1.6 \text{ KN} \cdot \text{m}$$

$$As_{\min} = \frac{\sqrt{fc'}}{4(fy)} (bw)(d) \geq \frac{1.4}{fy} (bw)(d) \dots \dots \dots (ACI - 10.5.1)$$

$$As_{\min} = \frac{\sqrt{24}}{4(420)} (12)(31.5) \geq \frac{1.4}{420} (12)(31.5)$$

$$As_{\min} = 1.1 < 1.26 \dots \dots \dots \text{the larger is control}$$

$$As_{\min} = 1.26 \text{ cm}^2$$

$$Rn = \frac{Mn}{b * d^2}$$

$$Rn = \frac{1.6 * 10^{-3}}{0.52 * (0.315)^2} = 0.03 \text{ Mpa}$$

$$m = \frac{fy}{0.85 * fc'} = \frac{420}{0.85 * 24} = 20.588$$

$$\rho = \frac{1}{m} \left(1 - \sqrt{1 - \frac{2mRn}{fy}} \right)$$

$$\rho = \frac{1}{20.588} \left(1 - \sqrt{1 - \frac{2(20.588)(0.03)}{420}} \right) = 7.148 * 10^{-5}$$

$$A_{\text{req}} = \rho * b * d = 7.148 * 10^{-5} * 52 * 31.5 = 0.117 \text{ cm}^2$$

$$0.117 \text{ cm}^2 < A_{s_{\min}} = 1.26 \text{ cm}^2$$

Use 2 Φ 10 with $A_s = 1.57 \text{ cm}^2 > A_{s_{\min}} = 1.26 \text{ cm}^2$

* Note $A_{\Phi 10} = 0.785 \text{ cm}^2$

Then we select (2) bars Φ 10 $A_{s_{\text{provided}}} = 2 * 0.785 = 1.57 \text{ cm}^2$

- Check for yielding

Tension = compression

$$A_s * f_y = 0.85 * f_c * b * a$$

$$157 * 420 = 0.85 * 24 * 520 * a$$

$$a = 6.22 \text{ mm}$$

$$c = \frac{a}{\beta_1} = \frac{6.22}{0.85} = 7.32 \text{ mm}$$

$$\epsilon_s = \frac{315 - 7.32}{7.32} * 0.003$$

$$\epsilon_s = 0.126 > 0.005$$

\Rightarrow Ok

4.5.1.2 Design of Span 2

$$M_u = 33.3 \text{ KN} \cdot \text{m}$$

$$M_n = \frac{M_u}{\Phi} = \frac{33.3}{0.9} = 37 \text{ KN} \cdot \text{m}$$

$$A_{s_{\min}} = \frac{\sqrt{f_c'}}{4(f_y)} (b_w)(d) \geq \frac{1.4}{f_y} (b_w)(d) \dots \dots \dots (ACI - 10.5.1)$$

$$A_{s_{\min}} = \frac{\sqrt{24}}{4(420)} (12)(31.5) \geq \frac{1.4}{420} (12)(31.5)$$

$$A_{s_{\min}} = 1.1 < 1.26 \dots \dots \dots \text{the larger is control}$$

$$A_{s_{\min}} = 1.26 \text{ cm}^2$$

$$R_n = \frac{M_n}{b * d^2}$$

$$R_n = \frac{37 * 10^{-3}}{0.52 * (0.315)^2} = 0.717 \text{ Mpa}$$

$$m = \frac{f_y}{0.85 * f_c'} = \frac{420}{0.85 * 24} = 20.588$$

$$\rho = \frac{1}{m} \left(1 - \sqrt{1 - \frac{2mR_n}{f_y}} \right)$$

$$\rho = \frac{1}{20.588} \left(1 - \sqrt{1 - \frac{2(20.588)(0.717)}{420}} \right) = 1.738 * 10^{-3}$$

$$A_{req} = \rho * b * d = 1.738 * 10^{-3} * 52 * 31.5 = 2.85 \text{ cm}^2$$

$$2.85 \text{ cm}^2 > A_{s_{min}} = 1.26 \text{ cm}^2$$

$$\text{Use } \Phi 14 \gg \# \text{ of bar} = \frac{2.85}{1.54} = 1.85$$

* Note $A_{\Phi 14} = 1.54 \text{ cm}^2$

Then we select (2) bars $\Phi 14$ $A_{s_{provided}} = 2 * 1.54 = 3.1 \text{ cm}^2$

- **Check for yielding**

Tension = compression

$$A_s * f_y = 0.85 * f_c' * b * a$$

$$310 * 420 = 0.85 * 24 * 520 * a$$

$$a = 12.3 \text{ mm}$$

$$c = \frac{a}{\beta_1} = \frac{12.3}{0.85} = 14.44 \text{ mm}$$

$$\epsilon_s = \frac{315 - 14.44}{14.44} \times 0.003$$

$$\epsilon_s = 0.062 > 0.005$$

⇒ Ok

4.5.2 Design of Negative moment

4.5.2.1 Design of support (2)

$$Mu = -28.6 \text{ KN} \cdot \text{m}$$

$$Mn = \frac{Mu}{\Phi} = \frac{28.6}{0.9} = 31.8 \text{ KN} \cdot \text{m}$$

$$As_{\min} = \frac{\sqrt{fc'}}{4(fy)} (bw)(d) \geq \frac{1.4}{fy} (bw)(d) \dots \dots \dots (ACI - 10.5.1)$$

$$As_{\min} = \frac{\sqrt{24}}{4(420)} (12)(31.5) \geq \frac{1.4}{420} (12)(31.5)$$

$$As_{\min} = 1.1 < 1.26 \dots \dots \dots \text{the larger is control}$$

$$As_{\min} = 1.26 \text{ cm}^2$$

$$Rn = \frac{Mn}{b * d^2}$$

$$Rn = \frac{31.8 * 10^{-3}}{0.12 * (0.315)^2} = 2.67 \text{ Mpa}$$

$$m = \frac{fy}{0.85 * fc'} = \frac{420}{0.85 * 24} = 20.588$$



$$\rho = \frac{1}{m} \left(1 - \sqrt{1 - \frac{2mRn}{f_y}} \right)$$

$$\rho = \frac{1}{20.588} \left(1 - \sqrt{1 - \frac{2(20.588)(2.67)}{420}} \right) = 6.84 \times 10^{-3}$$

$$A_{req} = \rho * b * d = 6.84 \times 10^{-3} * 12 * 31.5 = 2.6 \text{ cm}^2$$

$$2.6 \text{ cm}^2 > A_{s_{min}} = 1.26 \text{ cm}^2$$

$$\text{Use } \Phi 14 \gg \# \text{ of bar} = \frac{2.6}{1.54} = 1.7$$

$$* \text{ Note } A_{\Phi 14} = 1.54 \text{ cm}^2$$

Then we select (2) bars $\Phi 14$ $A_s \text{ provided} = 2 * 1.54 = 3.08 \text{ cm}^2$

- Check for yielding

Tension = compression

$$A_s * f_y = 0.85 * f_c * b * a$$

$$308 * 420 = 0.85 * 24 * 120 * a$$

$$a = 52.84 \text{ mm}$$

$$c = \frac{a}{\beta_1} = \frac{52.84}{0.85} = 62.2 \text{ mm}$$

$$\epsilon_s = \frac{315 - 62.2}{62.2} \times 0.003$$

$$\epsilon_s = 0.012 > 0.005$$

⇒ Ok

4.5.3 Design of shear for Rib (R2):

ACI - 318 - Categories for shear design:

$$V_u = 28.4 \text{ kN}$$

Use $\Phi 8$ with two legs

$$A_v = 2 \times 50 = 100 \text{ mm}^2$$

1. Item 1: $\Phi V_c \geq V_u$

$$\Phi V_c = \Phi(1.1) \frac{\sqrt{f_c'}}{6} \times b_w \times d$$

$$= \Phi V_c = 0.75(1.1) \times \frac{\sqrt{24}}{6} \times 120 \times 315$$

$$= 25.46 \text{ kN}$$

Since $\Phi V_c \leq V_u$

Not control

2. Item 2

$$\frac{1}{2} \Phi V_c \leq V_u \leq \Phi V_c$$

$$\Phi V_c = 25.46 \text{ kn}$$

$$\frac{1}{2} \Phi V_c = \frac{25.46}{2} = 12.73 \text{ Kn}$$

Not control

3. Item 3

$$\Phi V_c \leq V_u \leq \Phi V_c + \Phi V_{s_{\min}}$$

$$\Phi V_{s_{\min}} \geq \frac{\Phi}{3} \times b_w \times d$$

$$\Phi V_{s_{\min}} = 0.75 \left(\frac{1}{3} \right) \times 0.12 \times 0.315 \times 10^3 = 9.45 \text{ kN}$$

Control

$$\Phi V_{s_{\min}} \geq \frac{1}{16} \times \sqrt{f_c'} \times b_w \times d$$

$$\Phi V_{s_{\min}} = 0.75 * \frac{1}{16} \times \sqrt{24} \times 0.12 \times 0.315 \times 10^3 = 8.68 \text{ KN}$$

$$\Phi V_c + \Phi V_{s_{\min}} = 9.45 + 25.46 = 34.91 \text{ kN}$$

$$V_u = 28.4 \text{ kN} < \Phi V_c + \Phi V_{s_{\min}} = 34.91 \text{ kN} \quad \text{control}$$

$$\frac{A_v}{S_{\text{req}}} \geq \frac{1}{3} \frac{b_w}{f_y}$$

$$\frac{A_v}{S_{\text{req}}} \geq \frac{1}{16} \frac{\sqrt{f_c'}}{f_y} \times b_w$$

$$S_{\text{max}} \leq \frac{d}{2} \leq 600$$

$$\frac{A_v}{S_{\text{req}}} \geq \frac{1}{3} \frac{b_w}{f_y} \Rightarrow S_{\text{req}} = \frac{3 \times 2 \times 50 \times 10^{-6} \times 420}{0.12} = 1.05 \text{ m}$$

$$\frac{A_v}{S_{\text{req}}} \geq \frac{1}{16} \frac{\sqrt{f_c'}}{f_y} \times b_w \Rightarrow S_{\text{req}} = \frac{2 \times 50 \times 10^{-6} \times 16 \times 420}{\sqrt{24} \times 12} = 1.14 \text{ m}$$

$$S_{\text{max}} \leq \frac{d}{2} \leq 600 \Rightarrow S_{\text{max}} = \frac{31.5}{2} = 15.75 \text{ cm}$$

$$\text{Then Select } S = 15 \text{ cm} < \frac{d}{2} \dots \dots \dots \text{ok}$$

Select 2 leg Φ 8 / 15 cm c/c

4.6 Design of Rib (R3) at ground slab:

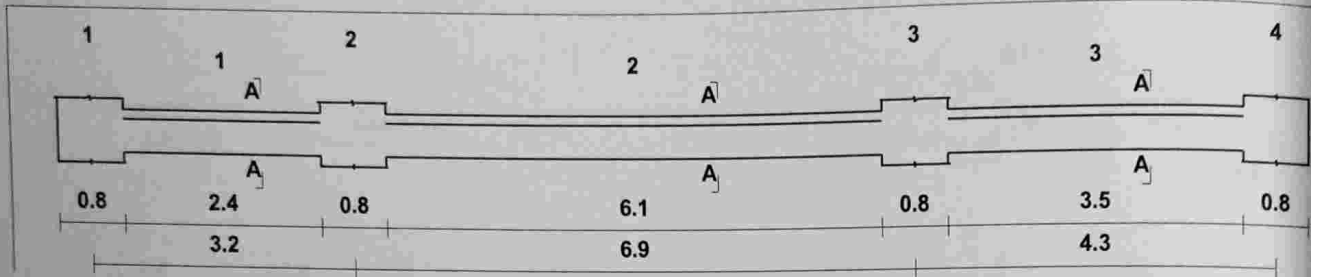


Figure (4-8): Rib3 geometry.

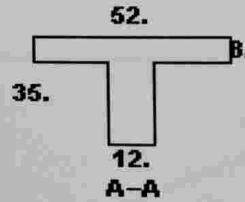
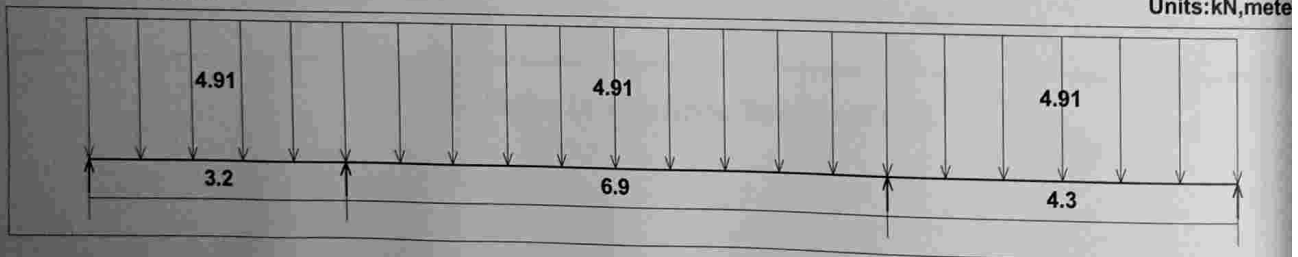


Figure (4-9) : Rib Section.

load group no. 1
Dead load - Service

Units: kN, meter



Live load - Service

Load factors: 1.20, 1.20/1.6

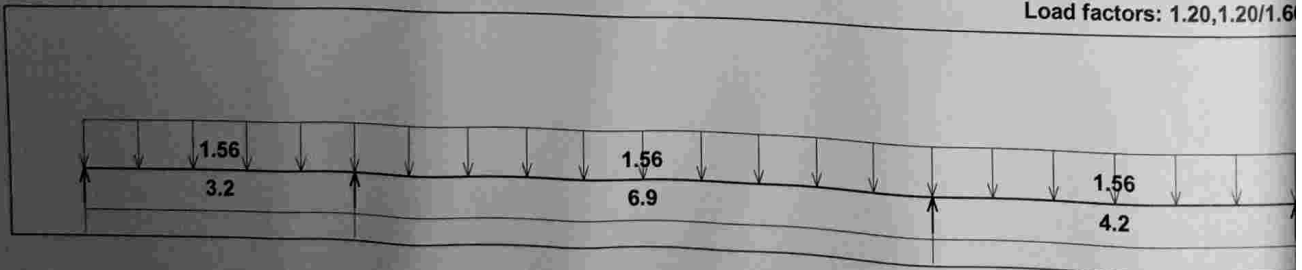


Figure (4-10) : loading of Rib 3.

Moments: spans 1 to 3

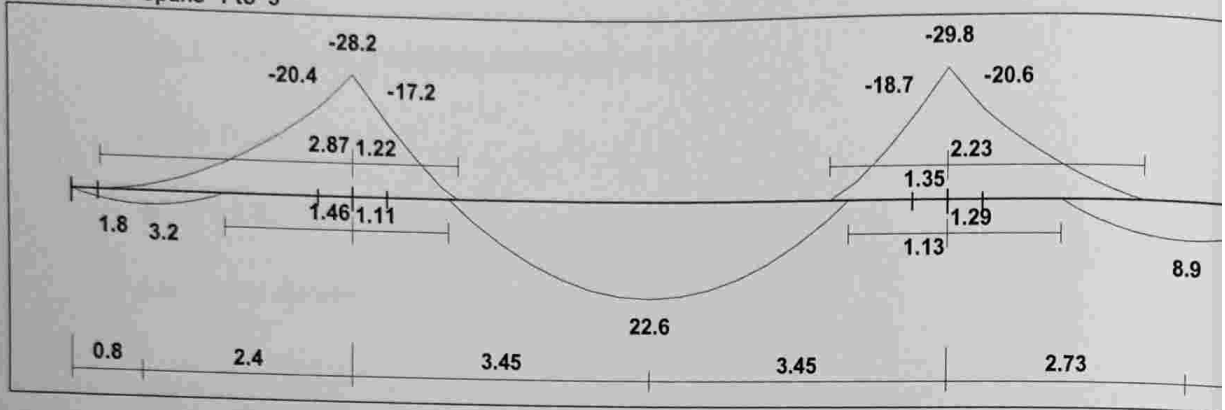


Figure (4-11) : Moment Envelop of rib 3.

Shear

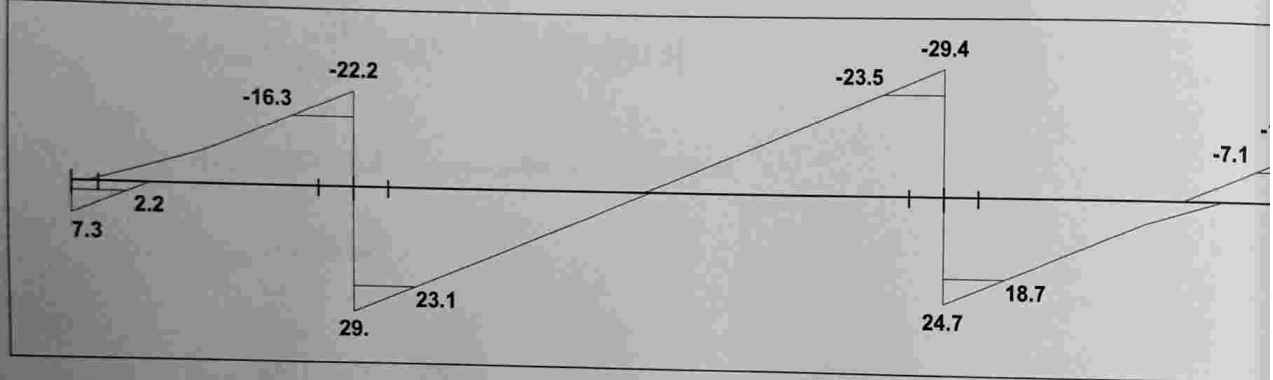


Figure (4-12) : Shear Envelop of rib3.

4.6.1 Design of Positive moment of rib 3:

4.6.1.1 Design of Span 1

$$Mu = 3.2 \text{ KN.m}$$

Assume bar diameter=10mm

$$Mn = \frac{Mu}{\Phi} = \frac{3.2}{0.9} = 3.55 \text{ KN.m}$$

$$As_{\min} = \frac{\sqrt{fc'}}{4(fy)}(bw)(d) \geq \frac{1.4}{fy}(bw)(d) \dots \dots \dots (ACI - 10.5.1)$$

$$As_{\min} = \frac{\sqrt{24}}{4(420)}(12)(31.5) \geq \frac{1.4}{420}(12)(31.5)$$

$$As_{\min} = 1.1 < 1.26 \dots \dots \dots \text{the larger is control}$$

$$As_{\min} = 1.26 \text{ cm}^2$$

$$Rn = \frac{Mn}{b * d^2}$$

$$Rn = \frac{3.55 * 10^{-3}}{0.52 * (0.315)^2} = 0.0688 \text{ Mpa}$$

$$m = \frac{fy}{0.85 * fc'} = \frac{420}{0.85 * 24} = 20.588$$

$$\rho = \frac{1}{m} \left(1 - \sqrt{1 - \frac{2mRn}{fy}} \right)$$

$$\rho = \frac{1}{20.588} \left(1 - \sqrt{1 - \frac{2(20.588)(0.0688)}{420}} \right) = 1.64 * 10^{-4}$$

$$A_{req} = \rho * b * d = 1.64 * 10^{-4} * 52 * 31.5 = 0.269 \text{ cm}^2$$

$$0.269 \text{ cm}^2 < A_{s_{\min}} = 1.26 \text{ cm}^2$$

Use 2 Φ 10 with $A_s = 1.57 \text{ cm}^2 > A_{s_{\min}} = 1.26 \text{ cm}^2$

* Note $A_{\Phi 10} = 0.785 \text{ cm}^2$

Then we select (2) bars Φ 10 $A_{s_{\text{provided}}} = 2 * 0.785 = 1.57 \text{ cm}^2$

- Check for yielding

Tension = compression

$$A_s * f_y = 0.85 * f_c * b * a$$

$$157 * 420 = 0.85 * 24 * 520 * a$$

$$a = 6.22 \text{ mm}$$

$$c = \frac{a}{\beta_1} = \frac{6.22}{0.85} = 7.32 \text{ mm}$$

$$\epsilon_s = \frac{315 - 7.32}{7.32} * 0.003$$

$$\epsilon_s = 0.126 > 0.005$$

OK

4.6.1.2 Design of Span 2

$$M_u = 22.6 \text{ KN.m}$$

$$M_n = \frac{M_u}{\Phi} = \frac{22.6}{0.9} = 25.11 \text{ KN.m}$$

$$A_{s_{\min}} = \frac{\sqrt{f_c'}}{4(f_y)} (b_w)(d) \geq \frac{1.4}{f_y} (b_w)(d) \dots \dots \dots (ACI - 10.5.1)$$

$$A_{s_{\min}} = \frac{\sqrt{24}}{4(420)} (12)(31.5) \geq \frac{1.4}{420} (12)(31.5)$$

$$A_{s_{\min}} = 1.1 < 1.26 \dots \dots \dots \text{the larger is control}$$

$$A_{s_{\min}} = 1.26 \text{ cm}^2$$

$$R_n = \frac{M_n}{b * d^2}$$

$$R_n = \frac{25.11 * 10^{-3}}{0.52 * (0.315)^2} = 0.49 \text{ Mpa}$$

$$m = \frac{f_y}{0.85 * f_c'} = \frac{420}{0.85 * 24} = 20.588$$

$$\rho = \frac{1}{m} \left(1 - \sqrt{1 - \frac{2mR_n}{f_y}} \right)$$

$$\rho = \frac{1}{20.588} \left(1 - \sqrt{1 - \frac{2(20.588)(0.49)}{420}} \right) = 1.2 * 10^{-3}$$

$$A_{req} = \rho * b * d = 1.2 * 10^{-3} * 52 * 31.5 = 1.92 \text{ cm}^2$$

$$1.92 \text{ cm}^2 > A_{s_{min}} = 1.26 \text{ cm}^2$$

$$\text{Use } \Phi 12 \gg \# \text{ of bar} = \frac{1.92}{1.13} = 1.7$$

$$* \text{ Note } A_{\Phi 12} = 1.13 \text{ cm}^2$$

Then we select (2) bars $\Phi 12$ $A_s \text{ provided} = 2 * 1.13 = 2.26 \text{ cm}^2$

Chapter 4

$$226 * 420 = 0.85 * 24 * 520 * a$$

$$a = 8.95mm$$

$$c = \frac{a}{\beta_1} = \frac{8.95}{0.85} = 10.53mm$$

$$\epsilon_s = \frac{315 - 10.53}{10.53} * 0.003$$

$$\epsilon_s = 0.087 > 0.005$$

⇒ Ok

4.6.1.3 Design of Span 3

$$Mu = 8.9 \text{ KN} \cdot \text{m}$$

$$Mn = \frac{Mu}{\Phi} = \frac{8.9}{0.9} = 9.9 \text{ KN} \cdot \text{m}$$

$$As_{\min} = \frac{\sqrt{fc'}}{4(fy)} (bw)(d) \geq \frac{1.4}{fy} (bw)(d) \dots\dots\dots (ACI - 10.5.1)$$

$$As_{\min} = \frac{\sqrt{24}}{4(420)} (12)(31.5) \geq \frac{1.4}{420} (12)(31.5)$$

$$As_{\min} = 1.1 < 1.26 \dots\dots\dots \text{the larger is control}$$

$$As_{\min} = 1.26 \text{ cm}^2$$

$$Rn = \frac{Mn}{b * d^2}$$

$$Rn = \frac{9.9 * 10^{-3}}{0.52 * (0.315)^2} = 0.19 \text{ Mpa}$$

$$m = \frac{fy}{0.85 * fc'} = \frac{420}{0.85 * 24} = 20.588$$

$$\rho = \frac{1}{m} \left(1 - \sqrt{1 - \frac{2mRn}{f_y}} \right)$$

$$\rho = \frac{1}{20.588} \left(1 - \sqrt{1 - \frac{2(20.588)(0.19)}{420}} \right) = 4.58 * 10^{-4}$$

$$A_{req} = \rho * b * d = 4.58 * 10^{-3} * 52 * 31.5 = 0.75 \text{cm}^2$$

$$0.75 \text{cm}^2 < A_{s_{min}} = 1.26 \text{cm}^2$$

$$\text{Use } \Phi 10 \gg \# \text{ of bar} = \frac{1.26}{0.785} = 1.6 \quad * \text{ Note } A_{\Phi 10} = 0.785 \text{cm}^2$$

Then we select (2) bars $\Phi 10$ $A_s \text{ provided} = 2 * 0.785 = 1.57 \text{cm}^2$

- Check for yielding

Tension = compression

$$A_s * f_y = 0.85 * f_c * b * a$$

$$157 * 420 = 0.85 * 24 * 520 * a$$

$$a = 6.22 \text{mm}$$

$$c = \frac{a}{\beta_1} = \frac{6.22}{0.85} = 7.3 \text{mm}$$

$$\epsilon_s = \frac{315 - 7.3}{7.3} * 0.003$$

$$\epsilon_s = 0.13 > 0.005$$

⇒ Ok

4.6.2 Design of Negative moment

4.6.2.1 Design of support (2)

$$Mu = -20.4 \text{ KN.m}$$

$$Mn = \frac{Mu}{\Phi} = \frac{20.4}{0.9} = 22.7 \text{ KN.m}$$

$$As_{\min} = \frac{\sqrt{fc'}}{4(fy)}(bw)(d) \geq \frac{1.4}{fy}(bw)(d) \dots \dots \dots (ACI-10.5.1)$$

$$As_{\min} = \frac{\sqrt{24}}{4(420)}(12)(31.5) \geq \frac{1.4}{420}(12)(31.5)$$

$$As_{\min} = 1.1 < 1.26 \dots \dots \dots \text{the larger is control}$$

$$As_{\min} = 1.26 \text{ cm}^2$$

$$Rn = \frac{Mn}{b*d^2}$$

$$Rn = \frac{22.7 * 10^{-3}}{0.12 * (0.315)^2} = 1.9 \text{ Mpa}$$

$$m = \frac{fy}{0.85 * fc'} = \frac{420}{0.85 * 24} = 20.588$$

$$\rho = \frac{1}{m} \left(1 - \sqrt{1 - \frac{2mRn}{fy}} \right)$$

$$\rho = \frac{1}{20.588} \left(1 - \sqrt{1 - \frac{2(20.588)(1.9)}{420}} \right) = 4.8 * 10^{-3}$$

$$A_{\text{req}} = \rho * b * d = 4.8 * 10^{-3} * 12 * 31.5 = 1.8 \text{ cm}^2$$

$$1.8 \text{ cm}^2 > A_{s_{\min}} = 1.26 \text{ cm}^2$$

$$\text{Use } \Phi 14 \gg \# \text{ of bar} = \frac{1.8}{1.54} = 1.2$$

$$* \text{ Note } A_{\Phi 14} = 1.54 \text{ cm}^2$$

Then we select (2) bars $\Phi 14$ $A_{s \text{ provided}} = 2 * 1.54 = 3.08 \text{ cm}^2$

- Check for yielding

Tension = compression

$$A_s * f_y = 0.85 * f_c * b * a$$

$$308 * 420 = 0.85 * 24 * 120 * a$$

$$a = 52.8 \text{ mm}$$

$$c = \frac{a}{\beta_1} = \frac{52.8}{0.85} = 62.2 \text{ mm}$$

$$\epsilon_s = \frac{315 - 62.2}{62.2} * 0.003$$

$$\epsilon_s = 0.012 > 0.005$$

⇒ Ok

4.6.2.2 Design of support (3)

$$M_u = -20.6 \text{ KN.m}$$

Similar with Support (2)..... Use (2) bars $\Phi 14$

4.6.3 Design of shear for Rib (R3):

ACI – 318 – Categories for shear design:

$$V_u = 23.5 \text{ kN}$$

Use $\Phi 8$ with two legs

$$A_v = 2 * 50 = 100 \text{ mm}^2$$

Item 1: $\Phi V_c \geq V_u$

$$\begin{aligned}\Phi V_c &= \Phi(1.1) \frac{\sqrt{f_c'}}{6} \times b_w \times d \\ &= \Phi V_c = 0.75(1.1) \times \frac{\sqrt{24}}{6} \times 120 \times 315 \\ &= 25.46 \text{ kN}\end{aligned}$$

Since $\Phi V_c \leq V_u$

Not control

Item 2

$$\begin{aligned}\frac{1}{2} \Phi V_c &\leq V_u \leq \Phi V_c \\ \Phi V_c &= 25.46 \text{ kn} \\ \frac{1}{2} \Phi V_c &= \frac{25.46}{2} = 12.73 \text{ Kn}\end{aligned}$$

Not control

4. Item 3

$$\Phi V_c \leq V_u \leq \Phi V_c + \Phi V_{s_{\min}}$$

$$\Phi V_{s_{\min}} \geq \frac{\Phi}{3} \times b_w \times d$$

$$\Phi V_{s_{\min}} = 0.75 \left(\frac{1}{3}\right) \times 0.12 \times 0.315 \times 10^3 = 9.45 \text{ kN}$$

Control

$$\Phi V_{s_{\min}} \geq \frac{1}{16} \times \sqrt{f_c'} \times b_w \times d$$

$$\Phi V_{s_{\min}} = 0.75 * \frac{1}{16} \times \sqrt{24} \times 0.12 \times 0.315 \times 10^3 = 8.68 \text{ KN}$$

$$\Phi V_c + \Phi V_{s_{\min}} = 9.45 + 25.46 = 34.91 \text{ kN}$$

$$V_u = 23.5 \text{ kN} < \Phi V_c + \Phi V_{s_{\min}} = 34.91 \text{ kN} \quad \text{control}$$

$$\frac{A_v}{S_{req}} \geq \frac{1}{3} \frac{bw}{fy}$$

$$\frac{A_v}{S_{req}} \geq \frac{1}{16} \frac{\sqrt{fc'}}{fy} \times bw$$

$$S_{\max} \leq \frac{d}{2} \leq 600$$

$$\frac{A_v}{S_{req}} \geq \frac{1}{3} \frac{bw}{fy} \Rightarrow S_{req} = \frac{3 \times 2 \times 50 \times 10^{-6} \times 420}{0.12} = 1.05 \text{ m}$$

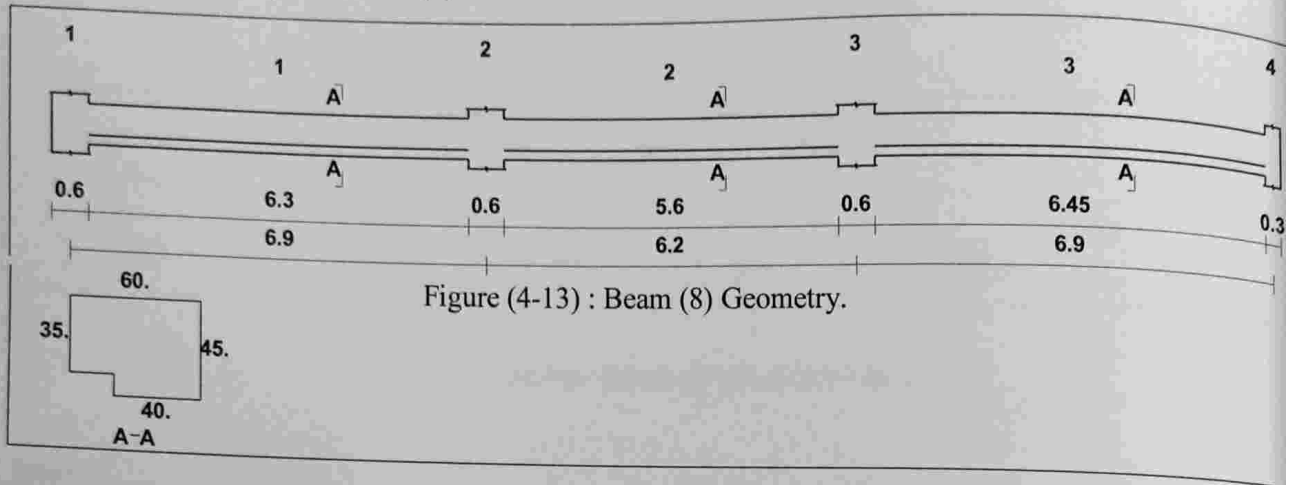
$$\frac{A_v}{S_{req}} \geq \frac{1}{16} \frac{\sqrt{fc'}}{fy} \times bw \Rightarrow S_{req} = \frac{2 \times 50 \times 10^{-6} \times 16 \times 420}{\sqrt{24} \times 0.12} = 1.14 \text{ m}$$

$$S_{\max} \leq \frac{d}{2} \leq 600 \Rightarrow S_{\max} = \frac{31.5}{2} = 15.75 \text{ cm}$$

$$\text{Then Select } S = 15 \text{ cm} < \frac{d}{2} \dots \dots \dots \text{ok}$$

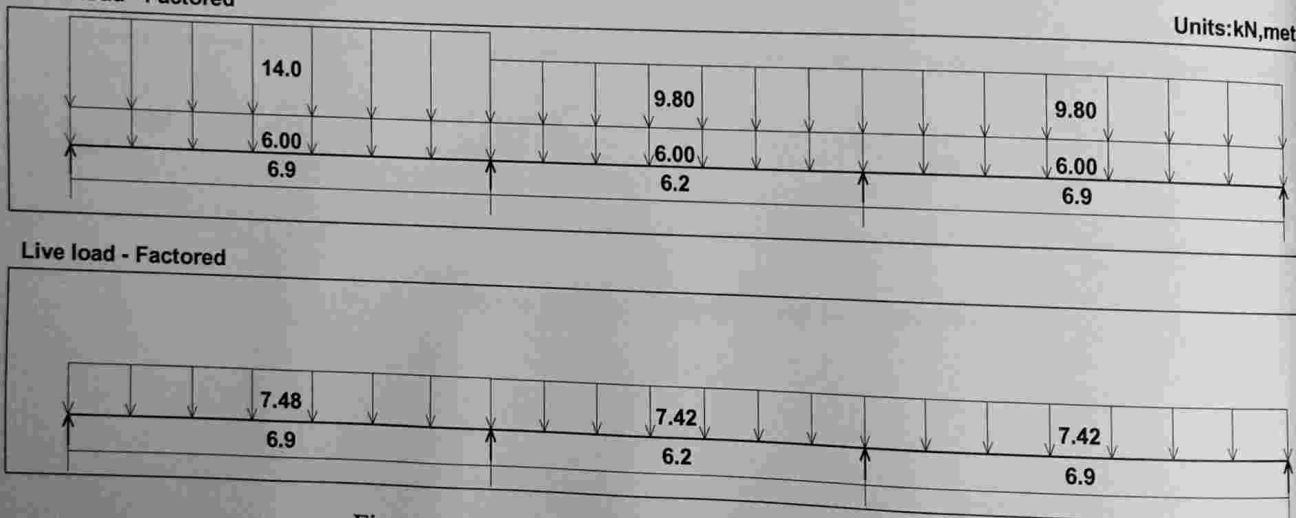
Select 2 leg Φ 8 / 15 cm c/c

4.7 Design of Beam (8) :



load group no. 1
Dead load - Factored

Units: kN, met



Chapter 4

Moments: spans 1 to 3

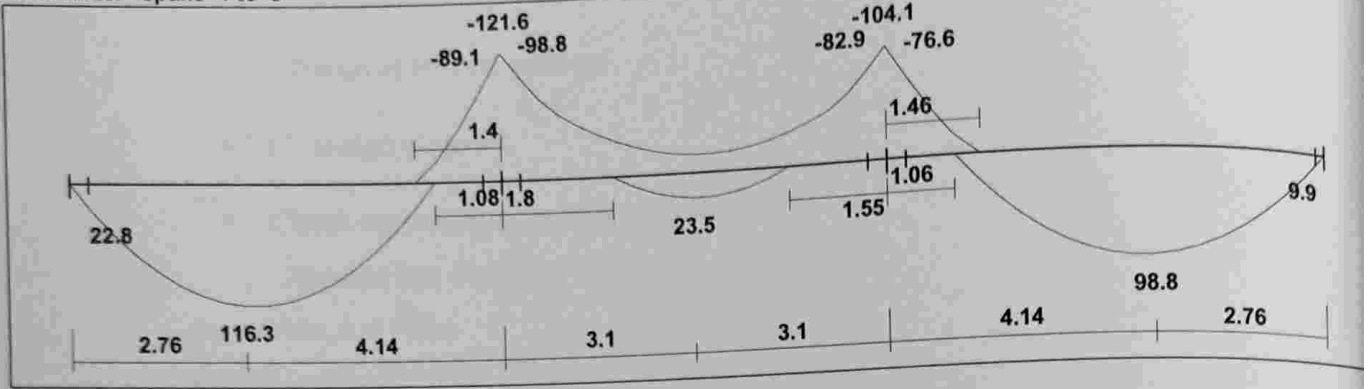


Figure (4-16) : Moment Envelop for Beam (8).

Shear

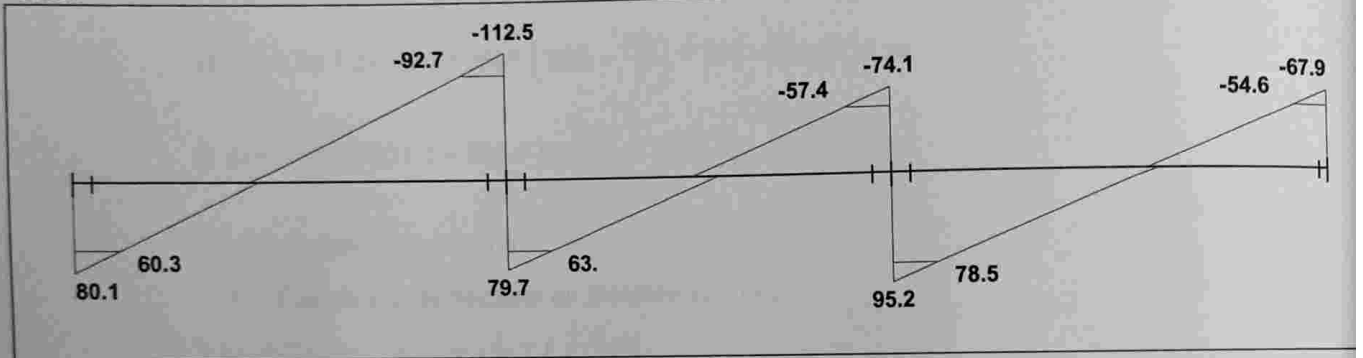


Figure (4-17) : Shear Envelop for Beam (8).

Chapter 4

4.7.1 Design of Positive moment

4.7.1.1 Design of span 1

- Check rectangular section or L-section

Assume bar diameter=20mm

$$bw = 40\text{cm}, h = 45\text{cm}$$

$$d = 450 - 40 - 10 - 10 = 390\text{mm}$$

$$Mu_{\max} = 116.3 \text{ KN} \cdot \text{m}$$

$$Mn_f = 0.85 * fc * bf * tf * \left(d - \frac{tf}{2} \right)$$

$$Mn_f = 0.85 * 24 * 600 * 350 * \left(390 - \frac{350}{2} \right) * 10^{-6} = 921.1 \text{ KN} \cdot \text{m}$$

$$\Phi Mn_f = 0.9 * 921.1 = 828.9 \text{ KN} \cdot \text{m} > Mu_{\max}$$

- ❖ rectangular section

- Check single section or Doubly section

$$Mn_{\max} = 0.85 * fc * b * a * \left(d - \frac{a}{2} \right)$$

$$C = 3/7 * d = 3/7 * 390 = 167.14 \text{ mm}$$

$$a = 167.14 * 0.85 = 142.1 \text{ mm}$$

$$Mn_{\max} = 0.85 * 24 * 142.1 * 400 * \left(390 - \frac{142.1}{2} \right) * 10^{-6} = 369.85 \text{ KN} \cdot \text{m}$$

$$\phi = 0.82$$

$$\Phi Mn_{\max} = 0.82 * 369.85 = 303.3 \text{ KN} \cdot \text{m} \gg Mu_{\max} = 116.3$$

- ❖ Singly section

Chapter 4

$$b_w = 40\text{cm}, h = 45\text{cm}$$

$$d = 450 - 40 - 10 - 10 = 390\text{mm}$$

$$M_u = 116.3 \text{ KN} \cdot \text{m}$$

$$M_n = \frac{M_u}{\Phi} = \frac{116.3}{0.9} = 129.2 \text{ KN} \cdot \text{m}$$

$$A_{s_{\min}} = \frac{\sqrt{f_c'}}{4(f_y)}(b_w)(d) \geq \frac{1.4}{f_y}(b_w)(d) \dots \dots \dots (ACI - 10.5.1)$$

$$A_{s_{\min}} = \frac{\sqrt{24}}{4(420)}(400)(390) \geq \frac{1.4}{420}(400)(390)$$

$$A_{s_{\min}} = 454.9 < 520 \dots \dots \dots \text{the larger is control}$$

$$A_{s_{\min}} = 520\text{mm}^2$$

$$R_n = \frac{M_n}{b * d^2}$$

$$R_n = \frac{129.2 * 10^6}{400 * (390)^2} = 2.12 \text{ Mpa}$$

$$m = \frac{f_y}{0.85 * f_c'} = \frac{420}{0.85 * 24} = 20.588$$

$$\rho = \frac{1}{m} \left(1 - \sqrt{1 - \frac{2mR_n}{f_y}} \right)$$

$$\rho = \frac{1}{20.588} \left(1 - \sqrt{1 - \frac{2(20.588)(2.12)}{420}} \right) = 0.00535$$

$$A_{\text{req}} = \rho * b * d = 0.00535 * 400 * 390 = 834.8 \text{ mm}^2$$

$$834.8 \text{ mm}^2 > A_{s_{\min}} = 520\text{mm}^2$$

Then we select (4) bars $\Phi 18$ $A_s \text{ provided} = 4 * 254.3 = 1017 \text{mm}^2$ Ok

- Check for yielding

Tension = compression

$$A_s * f_y = 0.85 * f_c * b * a$$

$$1017 * 420 = 0.85 * 24 * 400 * a$$

$$a = 52.4 \text{mm}$$

$$c = \frac{a}{\beta_1} = \frac{52.4}{0.85} = 61.6 \text{mm}$$

$$\epsilon_s = \frac{390 - 61.6}{61.6} * 0.003$$

$$\epsilon_s = 0.016 > 0.005$$

- Check for spacing between the bar

$$S = \frac{400 - 2 * 40 - 2 * 10 - 4 * 18}{3}$$

$$S = 76 \text{mm} \geq 25 \text{mm}$$

$$\geq d_b = 18 \text{mm}$$

4.7.1.2 Design of Span 2

$$M_u = 23.5 \text{KN.m}$$

$$M_n = \frac{M_u}{\Phi} = \frac{23.5}{0.9} = 26.11 \text{KN.m}$$

Chapter 4

$$A_{s_{\min}} = \frac{\sqrt{f_c'}}{4(f_y)}(b_w)(d) \geq \frac{1.4}{f_y}(b_w)(d) \dots \dots \dots (ACI-10.5.1)$$

$$A_{s_{\min}} = \frac{\sqrt{24}}{4(420)}(400)(390) \geq \frac{1.4}{420}(400)(390)$$

$$A_{s_{\min}} = 454.9 < 520 \dots \dots \dots \text{the larger is control}$$

$$A_{s_{\min}} = 520 \text{ mm}^2$$

$$R_n = \frac{M_n}{b * d^2}$$

$$R_n = \frac{26.11 * 10^6}{400 * (390)^2} = 0.43 \text{ Mpa}$$

$$m = \frac{f_y}{0.85 * f_c'} = \frac{420}{0.85 * 24} = 20.588$$

$$\rho = \frac{1}{m} \left(1 - \sqrt{1 - \frac{2mR_n}{f_y}} \right)$$

$$\rho = \frac{1}{20.588} \left(1 - \sqrt{1 - \frac{2(20.588)(0.43)}{420}} \right) = 0.00103$$

$$A_{\text{req}} = \rho * b * d = 0.00103 * 400 * 390 = 161.12 \text{ mm}^2$$

$$161.12 \text{ mm}^2 < A_{s_{\min}} = 520 \text{ mm}^2$$

$$\text{Use } \Phi 14 \gg \# \text{ of bar} = \frac{520}{153.9} = 3.4$$

Then we select (4) bars $\Phi 14$ $A_s \text{ provided} = 4 * 153.9 = 615.6 \text{ mm}^2$

- Check for yielding

Tension = compression

Chapter 4

$$A_s \cdot f_y = 0.85 \cdot f_c' \cdot b \cdot a$$

$$615.6 \cdot 420 = 0.85 \cdot 24 \cdot 400 \cdot a$$

$$a = 31.7 \text{ mm}$$

$$c = \frac{a}{\beta_1} = \frac{31.7}{0.85} = 37.2 \text{ mm}$$

$$\epsilon_s = \frac{390 - 37.2}{37.2} \times 0.003$$

$$\epsilon_s = 0.03 > 0.005$$

- Check for spacing between the bar

$$S = \frac{400 - 2 \cdot 40 - 2 \cdot 10 - 4 \cdot 14}{3}$$

$$S = 81.3 \text{ mm} \geq 25 \text{ mm}$$

$$\geq d_b = 14 \text{ mm}$$

4.7.1.3 Design of Span 3

$$M_u = 98.8 \text{ KN} \cdot \text{m}$$

$$M_n = \frac{M_u}{\Phi} = \frac{98.8}{0.9} = 109.8 \text{ KN} \cdot \text{m}$$

$$A_{s_{\min}} = \frac{\sqrt{f_c'}}{4(f_y)} (b_w)(d) \geq \frac{1.4}{f_y} (b_w)(d) \dots\dots\dots (ACI - 10.5.1)$$

$$A_{s_{\min}} = \frac{\sqrt{24}}{4(420)} (400)(390) \geq \frac{1.4}{420} (400)(390)$$

$$A_{s_{\min}} = 454.9 < 520 \dots\dots\dots \text{the larger is control}$$

$$A_{s_{\min}} = 520 \text{ mm}^2$$

$$R_n = \frac{M_n}{b * d^2}$$

$$R_n = \frac{109.8 * 10^6}{400 * (390)^2} = 1.8 \text{ Mpa}$$

$$m = \frac{f_y}{0.85 * f_c'} = \frac{420}{0.85 * 24} = 20.588$$

$$\rho = \frac{1}{m} \left(1 - \sqrt{1 - \frac{2mR_n}{f_y}} \right)$$

$$\rho = \frac{1}{20.588} \left(1 - \sqrt{1 - \frac{2(20.588)(1.8)}{420}} \right) = 0.0045$$

$$A_{req} = \rho * b * d = 0.0045 * 400 * 390 = 703 \text{ mm}^2$$

$$703 \text{ mm}^2 > A_{s_{min}} = 520 \text{ mm}^2$$

$$A_s = 703 \text{ mm}^2 \text{ is control}$$

$$\text{Use } \Phi 16 \gg \# \text{ of bar} = \frac{703}{200.96} = 3.5$$

Then we select (4) bars $\Phi 16$ $A_s \text{ provided} = 4 * 200.96 = 803.8 \text{ mm}^2$

- Check for yielding

Tension = compression

$$A_s * f_y = 0.85 * f_c' * b * a$$

$$803.8 * 420 = 0.85 * 24 * 400 * a$$

$$a = 41.4 \text{ mm}$$

$$c = \frac{a}{\beta_1} = \frac{41.4}{0.85} = 48.7 \text{ mm}$$

$$\epsilon_s = \frac{390 - 48.7}{48.7} \times 0.003$$

$$\epsilon_s = 0.021 > 0.005$$

- Check for spacing between the bar

$$S = \frac{400 - 2 * 40 - 2 * 10 - 4 * 16}{3}$$

$$S = 78.7 \text{ mm} \geq 25 \text{ mm}$$

$$\geq db = 16 \text{ mm}$$

4.7.2 Design of Negative moment

4.7.2.1 Design at support (1).

$$Mu = -98.8 \text{ KN.m}$$

$$Mn = \frac{Mu}{\Phi} = \frac{98.8}{0.9} = 109.8 \text{ KN.m}$$

$$As_{\min} = \frac{\sqrt{f_c'}}{4(f_y)} (bw)(d) \geq \frac{1.4}{f_y} (bw)(d) \dots \dots \dots (ACI-10.5.1)$$

$$As_{\min} = \frac{\sqrt{24}}{4(420)} (400)(390) \geq \frac{1.4}{420} (400)(390)$$

$$As_{\min} = 454.9 < 520 \dots \dots \dots \text{the larger is control}$$

$$As_{\min} = 520 \text{ mm}^2$$

$$R_n = \frac{M_n}{b * d^2}$$

$$R_n = \frac{109.8 * 10^6}{400 * (390)^2} = 1.8 \text{ Mpa}$$

$$m = \frac{f_y}{0.85 * f_c} = \frac{420}{0.85 * 24} = 20.588$$

$$\rho = \frac{1}{m} \left(1 - \sqrt{1 - \frac{2mR_n}{f_y}} \right)$$

$$\rho = \frac{1}{20.588} \left(1 - \sqrt{1 - \frac{2(20.588)(1.8)}{420}} \right) = 0.0045$$

$$A_{req} = \rho * b * d = 0.0045 * 400 * 390 = 703 \text{ mm}^2$$

$$703 \text{ mm}^2 > A_{s_{min}} = 520 \text{ mm}^2$$

$$\text{Use } \Phi 16 \gg \# \text{ of bar} = \frac{703}{200.96} = 3.5$$

Then we select (4) bars $\Phi 16$ $A_{s_{provided}} = 4 * 200.96 = 803 \text{ mm}^2$

- Check for yielding

Tension = compression

$$A_s * f_y = 0.85 * f_c * b * a$$

Chapter 4

$$803.8 * 420 = 0.85 * 24 * 400 * a$$

$$a = 41.4 \text{ mm}$$

$$c = \frac{a}{\beta_1} = \frac{41.4}{0.85} = 48.7 \text{ mm}$$

$$\epsilon_s = \frac{390 - 48.7}{48.7} \times 0.003$$

$$\epsilon_s = 0.021 > 0.005$$

- Check for spacing between the bar

$$S = \frac{400 - 2 * 40 - 2 * 10 - 4 * 16}{3}$$

$$S = 78.7 \text{ mm} \geq 25 \text{ mm}$$

$$\geq db = 16 \text{ mm}$$

4.7.2.2 Design at support (2).

$$Mu = -82.9 \text{ KN.m}$$

$$Mn = \frac{Mu}{\Phi} = \frac{82.9}{0.9} = 92.11 \text{ KN.m}$$

$$As_{\min} = \frac{\sqrt{f'c}}{4(fy)} (bw)(d) \geq \frac{1.4}{fy} (bw)(d) \dots \dots \dots (ACI - 10.5.1)$$

$$As_{\min} = \frac{\sqrt{24}}{4(420)} (400)(390) \geq \frac{1.4}{420} (400)(390)$$

$$As_{\min} = 454.9 < 520 \dots \dots \dots \text{the larger is control}$$

$$As_{\min} = 520 \text{ mm}^2$$

$$Rn = \frac{Mn}{b * d^2}$$

Then we select (4) bars $\Phi 14$ $A_s \text{ provided} = 4 * 153.9 = 615.6 \text{ mm}^2$

- Check for yielding

Tension = compression

$$A_s * f_y = 0.85 * f_c * b * a$$

$$615.6 * 420 = 0.85 * 24 * 400 * a$$

$$a = 31.7 \text{ mm}$$

$$c = \frac{a}{\beta_1} = \frac{31.7}{0.85} = 37.3 \text{ mm}$$

$$\epsilon_s = \frac{390 - 37.3}{37.3} * 0.003$$

$$\epsilon_s = 0.03 > 0.005$$

- Check for spacing between the bar

4.7.3.2 Design of Negative moment for span (2).

$$\text{Use } \Phi 12, \# \text{ of bar} = \frac{520}{113.1} = 4.6$$

Then we select (5) bars $\Phi 12$ $A_s \text{ provided} = 5 * 113.1 = 565.5 \text{ mm}^2$

4.7.3.3 Design of Negative moment for span (3).

$$\text{Use } \Phi 12, \# \text{ of bar} = \frac{520}{113.1} = 4.6$$

Then we select (5) bars $\Phi 12$ $A_s \text{ provided} = 5 * 113.1 = 565.5 \text{ mm}^2$

Chapter 4

4.7.4 Design of shear

4.7.4.1 Design of Span 1

$$V_c = \frac{\sqrt{f_c'}}{6} b_w * d$$

$$= \frac{\sqrt{24}}{6} * 400 * 390$$

$$= 127.4 \text{ KN}$$

$$\Phi V_c = 0.75 * 127.4 = 95.5 \text{ KN}$$

$$\Phi V_{smin} \geq 0.75 \left(\frac{1}{3}\right) * b_w * d = 0.75 * \left(\frac{1}{3}\right) * 400 * 390 * 10^{-3} = 39 \text{ KN. control}$$

$$\geq 0.75 \left(\frac{\sqrt{f_c'}}{16}\right) * b_w * d = 0.75 \left(\frac{\sqrt{24}}{16}\right) * 400 * 390 * 10^{-3} = 35.8 \text{ KN.}$$

$$\Phi V_{smin} = 39 \text{ KN.}$$

$$V_u = 92.7 \text{ KN} \quad (\text{From shear Envelope})$$

Item 2

$$\frac{1}{2} \Phi V_c \leq V_u \leq \Phi V_c$$

$$\Phi V_c = 95.5 \text{ kn}$$

$$\frac{1}{2} \Phi V_c = \frac{95.5}{2} = 47.75 \text{ Kn}$$

$$\frac{A_v}{S} \geq \frac{b_w}{3 * f_y} = 0.317 \text{ control}$$

$$\geq \frac{\sqrt{f_c' b w}}{16 * f_y} = 0.292$$

Try 2 leg $\Phi 10$

$$\Phi 6 = 78.5 \text{ mm}^2$$

$$\frac{A_v}{S} = \frac{2 * 78.5}{S} = 0.317$$

$$S = 201.9 \text{ mm}$$

$$\leq 600 \text{ mm}$$

$$\leq d/2 = 390/2 = 195 \text{ mm} \quad \text{control}$$

Use $S = 15 \text{ cm}$

Use 2 leg $\Phi 10$ at 15 cm c/c

(All spans satisfies minimum shear reinf)

4.7.5 Details of Beam(8) reinforcement.

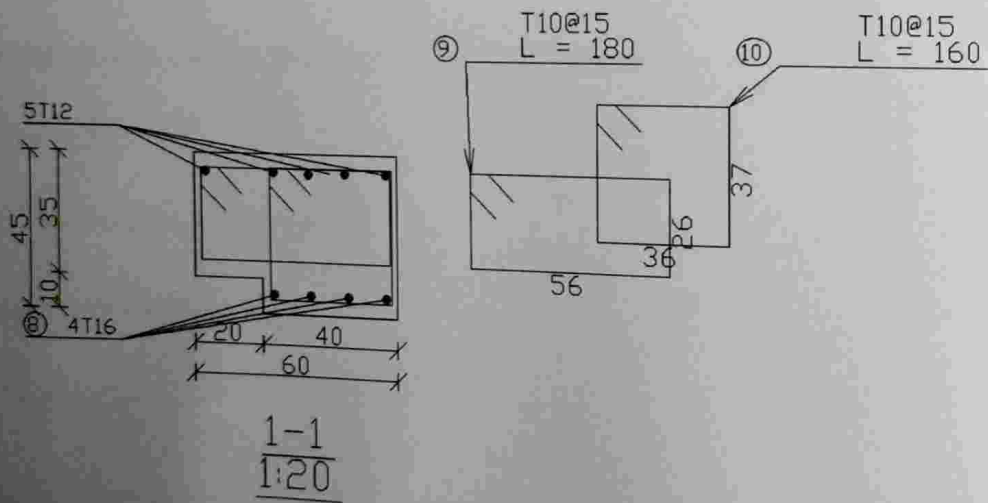
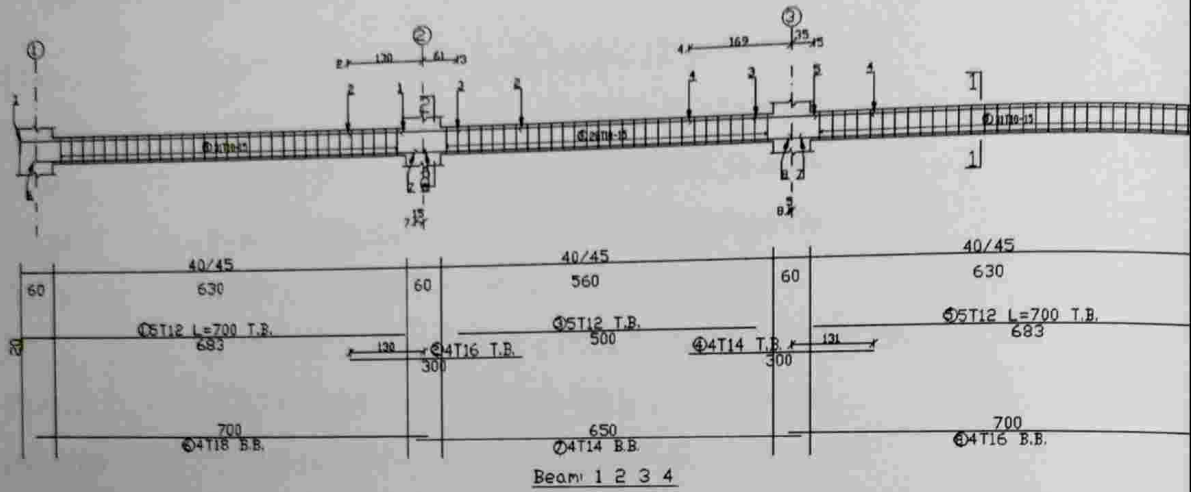


Figure (4-18) : Detail of Beam (8).

4.8: Design of Two way Ribbed slab:

4-8-1 Dead Load Calculation :

Tiles	$0.03 * 0.52 * 0.52 * 22 = 0.1785 \text{ kN}/0.52 * 0.52 \text{ of rib}$
Mortar	$0.02 * 0.52 * 0.52 * 23 = 0.1244 \text{ kN}/0.52 * 0.52 \text{ of rib}$
Sand	$0.07 * 0.52 * 0.52 * 17 = 0.3218 \text{ kN}/0.52 * 0.52 \text{ of rib}$
Topping	$0.08 * 0.52 * 0.52 * 25 = 0.5408 \text{ kN}/0.52 * 0.52 \text{ of rib}$
Block	$0.4 * 0.27 * 0.4 * 9 = 0.3888 \text{ kN}/0.52 * 0.52 \text{ of rib}$
Rib	$0.27 * 0.12 * (0.52 + 0.4) * 25 = 0.7452 \text{ kN}/0.52 * 0.52 \text{ of rib}$
Plaster	$0.02 * 0.52 * 0.52 * 23 = 0.1244 \text{ kN}/0.52 * 0.52 \text{ of rib}$
partition	$(1.25) (0.52) * 0.52 = 0.338 \text{ kN}/0.52 * 0.52 \text{ of rib}$

$$\text{Dead Load} = 2.761 \text{ kN}/0.52 * 0.52 \text{ of rib}$$

$$\text{Dead Load per unit area} = 2.761 / 0.52 * 0.52 = 10.21 \text{ KN}/\text{m}^2$$

$$\text{Live Load} = 3 \text{ KN}/\text{m}^2$$

$$q_{ud} = 1.2 D = 10.21 * 1.2 = 12.25 \text{ kN}/\text{m}^2$$

$$q_{ul} = 1.6 L = 3 * 1.6 = 4.8 \text{ KN}/\text{m}^2$$

$$q_u = 17.05 \text{ KN}/\text{m}^2$$

$$bw = 12 \text{ cm}, h = 35 \text{ cm}$$

$$d = 350 - 20 - 10 - 7 = 313 \text{ mm}$$

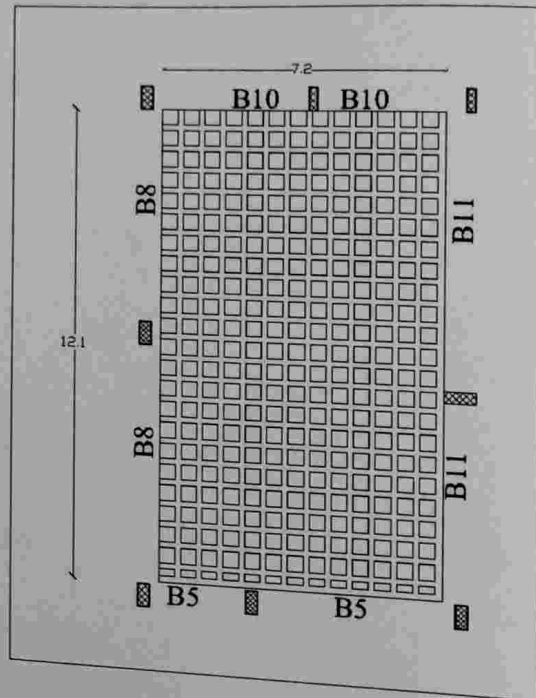


Figure (4-19) : Two way Ribbed slab .

4-8-2 Designs of moment:

Design of positive moment:

$$L_a / L_b = 7.2 / 12.1 = 0.6$$

From table (12-4)

Assume Case (1)

$$C_{a,dL} = 0.081$$

$$C_{b,dL} = 0.01$$

Chapter 4

$$M_{a,dL} = C_{a,dL} * q_{uD} * (La)^2$$

$$M_{b,dL} = C_{b,dL} * q_{uD} * (Lb)^2$$

From table (12-5)

$$C_{a,LL} = 0.081$$

$$C_{b,LL} = 0.01$$

$$M_{a,LL} = C_{a,LL} * q_{uL} * (La)^2$$

$$M_{b,LL} = C_{b,LL} * q_{uL} * (Lb)^2$$

$$M_{a,pos} = (M_{a,dL} + M_{a,LL}) * 0.52 =$$

$$\{(0.081 * 12.25 * (7.2)^2) + (0.081 * 4.8 * (7.2)^2)\} * 0.52 = 37.23 \text{ KN.m / rib}$$

$$M_{b,pos} = (M_{b,dL} + M_{b,LL}) * 0.52 =$$

$$\{(0.01 * 12.25 * (12.1)^2) + (0.01 * 4.8 * (12.1)^2)\} * 0.52 = 12.98 \text{ KN.m / rib}$$

$$M_{a,pos} = 37.23 \text{ KN.m}$$

$$Mn_f = 0.85 * fc * bf * tf * \left(d - \frac{tf}{2}\right) \quad \text{Where } d = 350 - 20 - 10 - 7 = 313 \text{ mm}$$

$$Mn_f = 0.85 * 24 * 0.52 * 0.08 * \left(0.313 - \frac{0.08}{2}\right) * 10^3 = 231.679 \text{ KN.m}$$

$$\Phi Mn_f = 0.9 * 231.679 = 208.5 \text{ KN.m} \gg M_{a,pos}$$

rectangular section

Chapter 4

Design as a rectangular with $b_E = 52 \text{ cm}$

$$Mn = \frac{M_{a, pos}}{\Phi} = \frac{37.23}{0.9} = 41.36 \text{ KN.m}$$

$$As_{min} = \frac{\sqrt{fc'}}{4(fy)} (bw)(d) \geq \frac{1.4}{fy} (bw)(d) \dots\dots\dots (ACI-10.5.1)$$

$$As_{min} = \frac{\sqrt{24}}{4(420)} (12)(31.3) \geq \frac{1.4}{420} (12)(31.3)$$

$$As_{min} = 1.1 < 1.26 \dots\dots\dots \text{the larger is control}$$

$$As_{min} = 1.26 \text{ cm}^2$$

$$Rn = \frac{Mn}{b * d^2}$$

$$Kn = \frac{41.36 * 10^{-3}}{0.52 * (0.313)^2} = 0.81 \text{ Mpa}$$

$$m = \frac{fy}{0.85 * fc'} = \frac{420}{0.85 * 24} = 20.59$$

$$\rho = \frac{1}{m} (1 - \sqrt{1 - \frac{2mRn}{fy}})$$

$$\rho = \frac{1}{20.59} (1 - \sqrt{1 - \frac{2(20.59)(0.81)}{420}}) = 1.97 * 10^{-3}$$

$$A_{req} = \rho * b * d = 1.97 * 10^{-3} * 52 * 31.3 = 3.21 \text{ cm}^2$$

$$3.21 \text{ cm}^2 > As_{min} = 1.26 \text{ cm}^2$$

$$\text{Use } \Phi 16 \gg \# \text{ of bar} = \frac{3.21}{2.01} = 1.597$$

* Note $A_{\Phi 16} = 2.01 \text{ cm}^2$

Then we select (2) bars $\Phi 16$ $A_s \text{ provided} = 2 * 2.01 = 4.02 \text{ cm}^2$

- Check for yielding

Tension = compression

$$A_s * f_y = 0.85 * f_c * b * a$$

$$402 * 420 = 0.85 * 24 * 520 * a$$

$$a = 15.91 \text{ mm}$$

$$c = \frac{a}{\beta_1} = \frac{15.91}{0.85} = 18.72 \text{ mm}$$

$$\epsilon_s = \frac{312 - 18.72}{18.72} * 0.003$$

$$\epsilon_s = 0.047 > 0.005$$

⇒ Ok

Use 2 $\Phi 16$ mm , $A_s = 402 \text{ mm}^2$ in short direction

Use 2 $\Phi 10$ mm , $A_s = 157.1 \text{ mm}^2$ in long direction

⇒ Design of negative moment:

$$A_{s_{neg}} \geq \frac{1}{3} A_{s_{pos}}$$

Use 2 $\Phi 10$ mm , $A_s = 157.1 \text{ mm}^2$ in short direction

Use 2 $\Phi 10$ mm , $A_s = 157.1 \text{ mm}^2$ in long direction

4.8.3 Design of shear:

$$L_a / L_b = 7.2 / 12.1 = 0.6$$

Chapter 4

From Table (12-6) :

Case (1)

$$W_a = 0.89$$

$$W_b = 0.11$$

$$q_u = \text{Total load on the panel} = 7.2 * 12.1 * 17.05 = 1485.4 \text{ kN}$$

The load per rib at the face of the short beam

$$V_{ua} = 1485.4 * 0.52 * 0.11 / (7.2 * 2) = 5.9 \text{ KN}$$

$$V_{ub} = 1485.4 * 0.52 * 0.89 / (12.1 * 2) = 28.41 \text{ KN} \quad \text{control}$$

$$V_{ud} = V_{ub} - W_{ub} d$$

$$= 28.41 - 17.05 * 0.52 * 0.315 = 25.6 \text{ kN}$$

$$V_c = 1.1 \frac{\sqrt{f_c'}}{6} b_w * d$$

$$= 1.1 \frac{\sqrt{24}}{6} * 120 * 0.315 = 33.95 \text{ KN}$$

$$\Phi V_c = 0.75 * 33.95 = 25.46 \text{ KN}$$

$$\Phi V_c \leq V_{ud}$$

Item 1 & 2 is not suitable .

- Item 3

$$\Phi V_c \leq V_u \leq \Phi V_c + \Phi V_{s_{\min}}$$

$$\Phi V_{s_{\min}} \geq \frac{\Phi}{3} * b_w * d$$

$$V_u = 25.6 \text{ kN} < \Phi V_c + \Phi V_{s_{\min}} = 34.91 \text{ kN} \quad \text{control}$$

Minimum shear reinforcement is required

$$\frac{A_v}{S_{\text{req}}} \geq \frac{1}{3} \frac{b_w}{f_y}$$

$$\frac{A_v}{S_{\text{req}}} \geq \frac{1}{16} \frac{\sqrt{f_c'}}{f_y} \times b_w$$

$$S_{\text{max}} \leq \frac{d}{2} \leq 600$$

$$\frac{A_v}{S_{\text{req}}} \geq \frac{1}{3} \frac{b_w}{f_y} \Rightarrow S_{\text{req}} = \frac{3 \times 2 \times 50 \times 10^{-6} \times 420}{0.12} = 1.05 \text{ m}$$

$$\frac{A_v}{S_{\text{req}}} \geq \frac{1}{16} \frac{\sqrt{f_c'}}{f_y} \times b_w \Rightarrow S_{\text{req}} = \frac{2 \times 50 \times 10^{-6} \times 16 \times 420}{\sqrt{24} \times 0.12} = 1.14 \text{ m}$$

$$S_{\text{max}} \leq \frac{d}{2} \leq 600 \Rightarrow S_{\text{max}} = \frac{31.5}{2} = 15.75 \text{ cm}$$

Chapter 4

Then Select $S = 12.5\text{cm} < \frac{d}{2} \dots\dots\dots ok$

leg $\Phi 8 / 12.5 \text{ cm c/c}$ Select 2

4.9 Design of Long Column (C18) :

4.9.1 Design of Longitudinal Reinforcement :

Select column (C18) for design

$P_u = 2200\text{KN}$

$P_n = 2200 / (0.65) = 3385 \text{ KN}$

$\rho_g = 1.15\%$

$P_n = 0.8 * A_g \{0.85 * f_c' + \rho_g (f_y - 0.85 f_c')\}$

$3385 * 10^{-3} = 0.8 * A_g [0.85 * 24 + 0.0115 * (420 - 0.85 * 24)]$

$A_g = 0.17\text{m}^2$

Use $60 * 30\text{cm}$ with $A_g = 1800\text{cm}^2 > A_{g\text{req}} = 1700\text{cm}^2$

4.9.2 Check Slenderness Effect :

$\frac{k l_u}{r} < 34 - 12 \frac{M_1}{M_2} \dots\dots\dots ACI - (10.12.2)$

Lu: Actual unsupported (unbraced) length.

K: effective length factor (K= 1 for braced frame).

R: radius of gyration = $0.3 h = \sqrt{\frac{I}{A}}$

Lu = 3.22m

M1&M2 = 1

K=1 , According to ACI 318-2002 (10.10.6.3) The effective length factor, *k*, shall be permitted to be taken as 1.0.

Chapter 4

$$\left(\frac{Klu}{r}\right) \leq (34 - 12 \left(\frac{M1}{M2}\right)) \leq 40 \dots \dots \dots \text{ACI 10-12-2}$$

$$\frac{1 * 3.22}{0.3 * 0.3} = 35.8 > 22$$

(for bending about y-axis)

∴ long Coloumn

$$EI = 0.4 \frac{E_c I_g}{1 + \beta_d} \dots \dots \dots [\text{ACI318 - 2002 (Eq. 10 - 15)}]$$

$$E_c = 4700 \sqrt{f_c'} = 4750 * \sqrt{24} = 23025.2 \text{ Mpa}$$

$$\beta_d = \frac{1.2DL}{P_u} = \frac{1695}{2200} = 0.77$$

$$I_g = \frac{b * h^3}{12} = \frac{0.6 * 0.3^3}{12} = 1.35 * 10^{-3} \text{ m}^4$$

$$EI = \frac{0.4 * 23025.2 * 1.35}{1 + 0.77} = 7024.6 \text{ KN.m}^2$$

$$P_{cr} = \frac{\pi^2 EI}{(KLu)^2} \dots \dots \dots \text{ACI318 - 2002 (Eq. 10 - 13)}$$

$$P_c = \frac{3.14^2 * 7024.6}{(1.0 * 3.22)^2} = 6686.7 \text{ KN.}$$

$$C_m = 0.6 + 0.4 \left(\frac{M1}{M2}\right) \dots \dots \dots \text{ACI318 - 2002 (Eq. 10 - 16)}$$

$$C_m = 1 \dots \dots \dots \text{According to ACI318 - 2002 (10.10.6.4)}$$

$$\delta_{ns} = \frac{C_m}{1 - (P_u / 0.75 P_c)} \geq 1.0 \dots \dots \dots \text{ACI318 - 2002 (Eq. 10 - 12)}$$

$$\delta_{ns} = \frac{1}{1 - (2200 / 0.75 * 6686.7)} = 1.78 > 1$$

$$e_{\min} = 15 + 0.03 * h = 15 + 0.03 * 300 = 24 \text{ mm} = 0.024 \text{ m}$$

$$e = e_{\min} * \delta_{ns} = 0.024 * 1.78 = 0.04272 \text{ m}$$

$$\frac{e}{h} = \frac{0.04272}{0.3} = 0.14$$

Chapter 4

From Interaction Diagram

$$\frac{\phi P_n}{A_g} = \frac{2200 * 10^3}{600 * 300} * 0.145 = 1.77 \text{ Ksi}$$

$$\rho_g = 0.0125$$

$$A_s = \rho * A_g = 0.0115 * 60 * 30 = 20.7 \text{ cm}^2$$

$$\text{Use } \Phi 14 \gg \# \text{ of bar} = \frac{20.7}{1.53} = 13.53$$

Use 12 $\Phi 14$ and 2 $\Phi 12$ with $A_s = 18.47 + 2.262 = 20.732 > A_{s \text{ req}} = 20.7 \text{ cm}^2$

- Check for spacing between the bar

$$S = \frac{300 - 2 * 40 - 2 * 10 - 1 * 12 - 2 * 14}{3}$$

$$S = 53.3 \text{ mm} \geq \frac{4}{3} \text{ M.A.S}$$

$$\geq 40 \text{ mm}$$

$$\geq 1.5d_b = 21 \text{ mm}$$

4.9.3 Design of the Tie Reinforcement :

$$S \leq 16 \text{ db (longitudinal bar diameter)} \dots \text{ACI - 7.10.5.2}$$

$$S \leq 48 \text{ dt (tie bar diameter).}$$

$$S \leq \text{Least dimension.}$$

$$\text{Spacing} \leq 16 \times d_b \text{ (Longitudinal bar diameter)} = 16 \times 1.4 = 22.4 \text{ cm.}$$

$$\text{Spacing} \leq 48 \times d_t \text{ (tie bar diameter)} = 48 \times 1.0 = 48 \text{ cm.}$$

$$\text{Spacing} \leq \text{Least dimension} = 30 \text{ cm}$$

$$\therefore \text{ Use } 1\phi 10 @ 20 \text{ cm}$$

4.9.4 Detail of column 18:

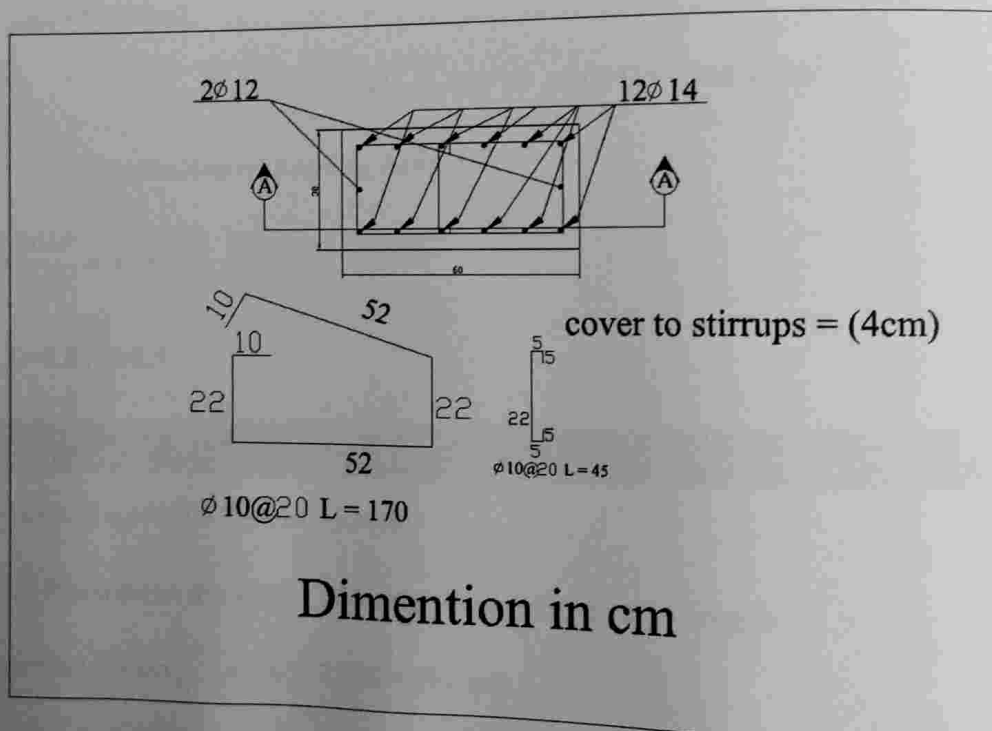


Figure (4-20) : Long Column Detail

Chapter 4

4.10 Design of Isolated Footing (F18) :

4.10.1 Load Calculation :

Total factored load = 2200 KN.

Total services load = 1648 KN.

Column Dimensions = 60*30 cm.

Soil density = 18 Kg/cm³.

Allowable soil Pressure = 400 KN/m².

Assume footing to be about (65 cm) thick.

live load = 5 KN/m².

$$q_{\text{allow,net}} = 400 - 5 - 0.6 \cdot 18 - 0.65 \cdot 25 = 368 \text{ kN/m}^2$$

4.10.2 Determination of Footing Area :

$$A = \frac{1648}{368} = 4.48 \text{ m}^2$$

→ L=2.8 , B=2.5

Try 2.8 * 2.5 m with area = 7m² > A_{req} = 4.48m²

Determine $q_u = 2200/7 = 314.3 \text{ KN/m}^2$

4.10.3 Determine the depth of footing based on shear strength:

Assume h = 65 cm d = 650-75-20 = 555 mm

- Check for one way shear strength

Chapter 4

Critical Section at $\frac{a}{2} + d$

$$\frac{a}{2} + d = \frac{0.3}{2} + 0.555 = 0.705m$$

$$V_u = 314.3 * \left(\frac{2.8}{2} - 0.705 \right) * 2.5 = 550KN$$

$$\phi.V_c = \phi \cdot \left(\frac{1}{6} * \sqrt{f_c'} * b_w * d \right)$$

$$\phi.V_c = 0.75 * \frac{1}{6} * \sqrt{24} * 2500 * 0.555 = 849.7KN$$

$$\phi.V_c = 849.7KN > V_u = 550KN$$

∴ Safe

• Check for two way shear action (punching)

The punching shear strength is the smallest value of the following equations:

$$\phi.V_c = \phi \cdot \frac{1}{6} \left(1 + \frac{2}{\beta_c} \right) \sqrt{f_c'} b_o d$$

$$\phi.V_c = \phi \cdot \frac{1}{12} \left(\frac{\alpha_s}{b_o/d} + 2 \right) \sqrt{f_c'} b_o d$$

$$\phi.V_c = \phi \cdot \frac{1}{3} \sqrt{f_c'} b_o d$$

Where:

$$\beta_c = \frac{\text{Column Length (a)}}{\text{Column Width (b)}} = \frac{60}{30} = 2.0$$

b_o = Perimeter of critical section taken at (d/2) from the loaded area

$$b_o = 2(d + a) + 2(d + b) = 2(60 + 55.5) + 2(30 + 55.5) = 402cm$$

Chapter 4

$$\alpha_s = 40 \quad \text{for interior column}$$

$$\phi V_c = \phi \cdot \frac{1}{6} \left(1 + \frac{2}{\beta_c} \right) \sqrt{f'_c} b_o d = \frac{0.75}{6} * \left(1 + \frac{2}{2.0} \right) * \sqrt{24} * 4020 * 0.555 = 2733 \text{ KN}$$

$$\phi V_c = \phi \cdot \frac{1}{12} \left(\frac{\alpha_s}{b_o / d} + 2 \right) \sqrt{f'_c} b_o d = \frac{0.75}{12} * \left(\frac{40 * 0.555}{4.02} + 2 \right) * \sqrt{24} * 4020 * 0.555 = 5139 \text{ KN}$$

$$\phi V_c = \phi \cdot \frac{1}{3} \sqrt{f'_c} b_o d = \frac{0.75}{3} * \sqrt{24} * 4020 * 0.555 = 2733 \text{ KN}$$

$$\phi V_c = 2733 \text{ KN} \dots \text{Control}$$

$$V_u_c = P_u - FR_b$$

$$FR_b = \sigma_{bu} * \text{area of critical section}$$

$$V_u_c = 2200 - [314.3 * (0.6 + 0.555) * (0.3 + 0.555)] = 1889.6 \text{ KN}$$

$$\phi V_c = 2733 \text{ KN} > V_u_c = 1889.6 \text{ KN} \dots \dots \text{satisfied}$$

Chapter 4

4.10.4 Design for Bending Moment:

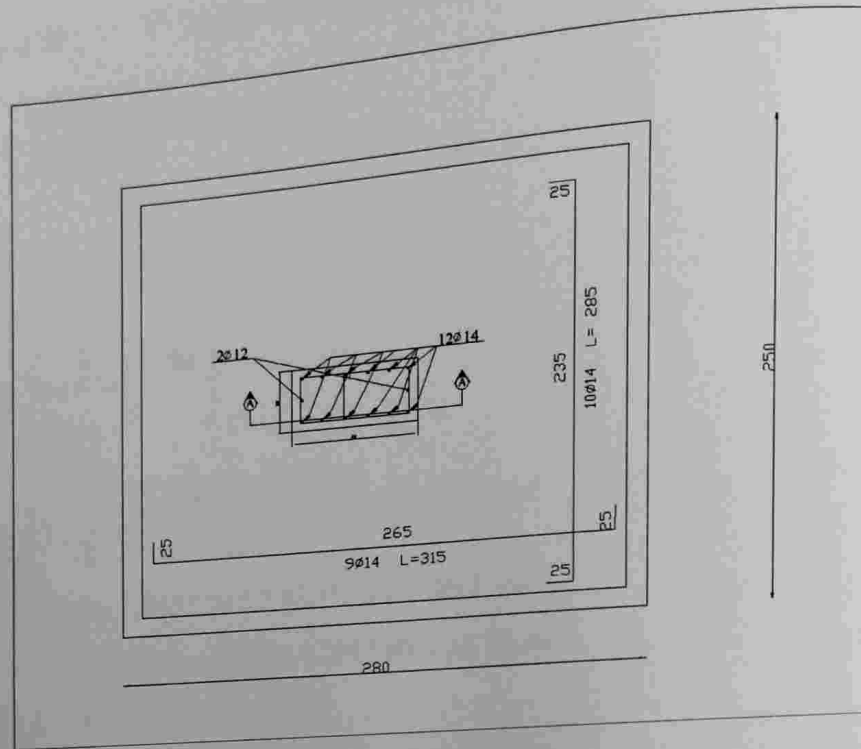


Figure (4-21): Isolated Footing

4.10.4.1 Design for flexure in long direction :

$$M_u = 314.3 * 2.8 * 1.1 \frac{1.1}{2} = 532.4 \text{ KN.m}$$

$M_u = 532.4 \text{ KN.m}$ (for long side)

Using Reinforced Concrete.

Chapter 4

$$M_n = \frac{532.4}{0.9} = 591.6 \text{ KN.m}$$

Assume bar $\phi 14$, $d = 650 - 75 - (14/2) = 568 \text{ mm}$

$$R_n = \frac{M_n}{bd^2} = \frac{591.6 \times 10^{-3}}{2.8 \times 0.568^2} = 0.655 \text{ Mpa}$$

$$m = \frac{f_y}{0.85 * f_c'} = \frac{420}{0.85 * 24} = 20.588$$

$$\rho = \frac{1}{m} \left(1 - \sqrt{1 - \frac{2 * m * R_n}{f_y}} \right)$$

$$\rho = \frac{1}{20.588} \left(1 - \sqrt{1 - \frac{2 * 20.588 * 0.655}{420}} \right) = 1.585 * 10^{-3}$$

$$A_{s_{Req.}} = \rho * b * d = 1.585 * 10^{-3} * 280 * 568 = 25.2 \text{ cm}^2$$

$$A_{s_{Shrinkage}} = 0.0018 * b * h = 0.0018 * 280 * 65 = 32.76 \text{ cm}^2$$

$$A_{s_{Req.}} = 25.2 < A_{s_{Shrinkage}} = 32.76 \text{ cm}^2$$

Select $14\phi 18$ $A_{s_{Provided}} = 35.56 \text{ cm}^2 > 32.76 \text{ cm}^2$ ok

Select $14\phi 18$ $A_{s_{Provided}} = 35.56 \text{ cm}^2 > 35.28 \text{ cm}^2$ ok

Chapter 4

Check of spacing :

$$S = \frac{2800 - 2 \cdot 75 - 14 \cdot 18}{13} = 184.5 \text{ mm}$$

Step(s) is the smallest of :

- $3h = 3 \cdot 650 = 1950 \text{ mm}$
- 450 mm - control

$$S = 184.5 \text{ mm} < S_{\text{max}} = 450 \text{ mm} \quad - \text{ OK}$$

4.10.4.2 Design for flexure in short direction :

$$M_u = 314.3 \cdot 2.5 \cdot 1.1 \frac{1.1}{2} = 475.4 \text{ KN.m}$$

$$M_u = 475.4 \text{ KN.m} \quad (\text{for short side})$$

Using Reinforced Concrete.

$$M_n = \frac{475.4}{0.9} = 528.2 \text{ KN.m}$$

$$\text{Assume bar } \phi 18, \quad d = 650 - 75 - (18) - 18/2 = 548 \text{ mm}$$

$$R_n = \frac{M_n}{bd^2} = \frac{528.2 \times 10^{-3}}{2.5 \times 0.548^2} = 0.704 \text{ Mpa}$$

$$m = \frac{f_y}{0.85 \cdot f_c'} = \frac{420}{0.85 \cdot 24} = 20.588$$

$$\rho = \frac{1}{m} \left(1 - \sqrt{1 - \frac{2 \times m \times R_n}{f_y}} \right)$$

Check of strain:

$$A_s * f_y = 0.85 * f_c * b * a$$

$$3053 * 420 = 0.85 * 24 * 2500 * a$$

$$a = 25.15 \text{ mm}$$

$$c = \frac{a}{\beta_1} = \frac{25.15}{0.85} = 29.6 \text{ mm}$$

$$\epsilon_s = \frac{548 - 29.6}{29.6} * 0.003$$

$$\epsilon_s = 0.053 > 0.005$$

⇒ OK

Check of spacing :

$$S = \frac{2500 - 2 * 75 - 12 * 18}{11} = 194 \text{ mm}$$

$$S = 194 \text{ mm} < S_{\text{max}} = 450 \text{ mm} \quad - \text{ OK}$$

4.10.5 Development Length of main Reinforcement for Mu1 :

$$l_{d_{\text{req}}} = \frac{9}{10} * \frac{F_y}{\lambda \sqrt{f_c}} * \frac{\psi_e \psi_s \psi_t}{\frac{k_{tr} + c_b}{d_b}} * d_b$$

$$k_{tr} = 0 \text{ (No stripes)}$$

$$c_b = 75 + 18 = 93 \text{ cm}$$

$$\frac{ktr + cb}{db} = \frac{0 + 93}{18} = 5.17 > 2.5$$

$$\frac{ktr + cb}{db} = 2.5$$

$$ld_{req} = \frac{9}{10} * \frac{420}{1 * \sqrt{24}} * \frac{1 * 1 * 0.8}{2.5} * 18 = 444.4 \text{ mm}$$

$$Ld_{available} = 1075 - 75 = 1000 \text{ mm}$$

$$Ld_{available} = 1000 \text{ mm} > ld_{req} = 444.4 \text{ mm}$$

- not required hook

4.10.6 Design of dowels :

$$P_u = 2200 \text{ KN}$$

$$\phi.P_n = \phi.(0.85 f_c' A_g)$$

$$\phi.P_n = 0.65 * [0.85 * 24 * (600 * 300)] / 1000 = 2387 \text{ KN}$$

$$\text{But } P_u = 2200 < \phi.P_n = 2387 \text{ KN}$$

Dowels are not required for load transfer.

But use the minimum reinforcement of dowels:

$$A_{s_{min}} = 0.005 * A_g = 0.005 * 60 * 30 = 9 \text{ cm}^2$$

Use the column bars as a dowels

Select 14Φ14

$$A_{s_{provided}} = 21.55 \text{ cm}^2 > A_{s_{req.}} = 9 \text{ cm}^2$$

$$Ld_{(1)req} = \frac{0.24 f_y}{\sqrt{f_c}} db = \frac{0.24 * 420}{\sqrt{24}} * 1.8 = 37 \text{ cm}.$$

$$Ld_{(2)req} = 0.043 * f_y * db = 0.043 * 420 * 1.8 = 32.5 \text{ cm}$$

$$Ld_{(2)req} = 32.5 \text{ cm} < Ld_{(1)req} = 37 \text{ cm} \rightarrow \text{control}$$

$$L_s = 0.071 * f_y * db = 0.071 * 420 * 14 = 41.7 \text{ cm} > 37 \text{ cm}$$

$$L_s = 41.7 \text{ cm}$$

Chapter 4

Available $L_d = 65 - 7.5 - 2 * 1.8 = 53.9$ cm.

Available $L_d = 53.9$ cm $>$ $L_s = 41.7$ cm

Using hook $\geq 16 * \phi$

Required length of hook $\geq 16 * \phi \geq 16 * 14 = 22.4$ cm

Use Hooks = 25cm $>$ 22.4cm

4.10.7 Isolated Footing Detail:

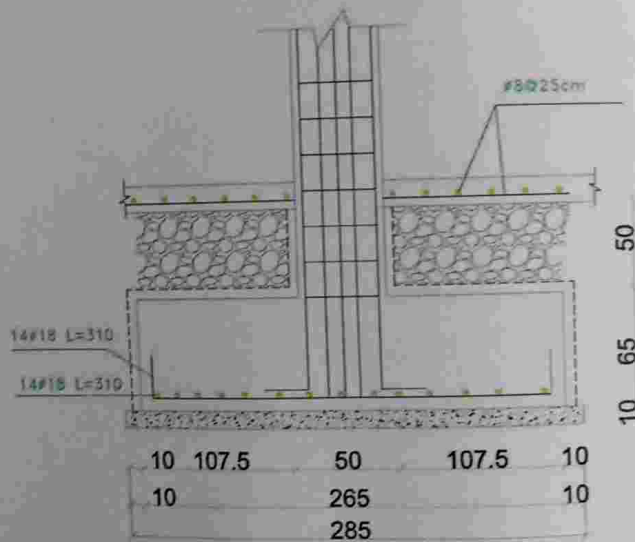


Figure (4-22): Isolated Footing Detail

Chapter 4

4.11. Design of strip foundation:

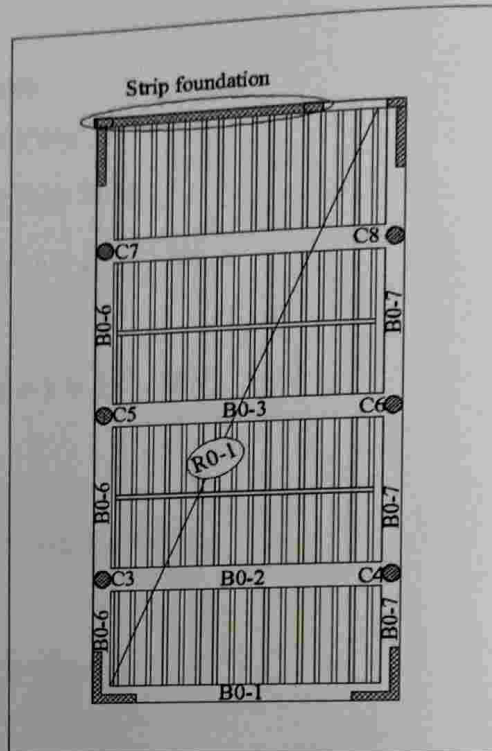


Figure (4-23): location of strip footing

4.11.1 Determination of load:

From slab and Wight wall

Total factored load = 150 KN/m.

Soil density = 18 Kg/cm³.

Allowable soil Pressure = 400 KN/m².

Assume footing to be about (30 cm) thick.

live load = 5 kN/m²

$$q_{\text{allow}} = 400 - 5 - 2.6 \cdot 18 - 0.3 \cdot 25 = 345.9 \text{ kN/m}^2$$

⇒ For one meter strip

$$A = \frac{150}{345.9} = 0.44 \text{ m}^2$$

$$B = 0.8 \text{ m}, h = 30 \text{ cm}$$

$$d = 300 - 75 - 20 = 205 \text{ mm}$$

$$q_{ult} = 150 / 0.8 * 1 = 187.5 \text{ kN/m}^2.$$

4.11.2 Check of One Way Shear:

$$V_u = 1 * (0.275 - 0.205) * 187.5 = 13.125 \text{ kN}$$

$$\phi V_c = \frac{\phi}{6} \sqrt{f_c} * d * b$$

$$\phi V_c = \frac{0.75}{6} \sqrt{24} * 0.205 * 1 = 125.5 \text{ kN}$$

$$\phi V_c > V_u$$

4.11.3 Design of Bending Moment:

In short direction

$$M_u = 187.5 * 0.275^2 / 2 = 7.1 \text{ kN.m}$$

$$M_n = \frac{7.1}{0.9} = 7.88 \text{ kN.m}$$

$$K_n = \frac{M_n}{bd^2} = \frac{7.88 * 10^{-3}}{1 * 0.205^2} = 0.187 \text{ Mpa}$$

$$m = \frac{f_y}{0.85 * f_c} = \frac{420}{0.85 * 24} = 20.588$$

$$\rho = \frac{1}{m} \left(1 - \sqrt{1 - \frac{2 * m * K_n}{f_y}} \right)$$

$$\rho = \frac{1}{20.588} \left(1 - \sqrt{1 - \frac{2 * 20.588 * 0.187}{420}} \right) = 3.567 * 10^{-3}$$

$$A_{s_{Req.}} = \rho * b * d = 0.000144 * 205 * 1000 = 731.22 \text{ mm}^2$$

$$A_{s_{Shrinkage}} = 0.0018 * b * h = 0.0018 * 300 * 1000 = 540 \text{ mm}^2$$

$$A_{s_{Req.}} = 731.22 > A_{s_{Shrinkage}} = 540 \text{ mm}^2$$

Use ϕ 14

Chapter 4

No. = $731.22/154 = 4.75$, Use 5 bars

ϕ 14 at 20 cm c/c

Check of strain:

$$A_s * f_y = 0.85 * f_c * b * a$$

$$770 * 420 = 0.85 * 24 * 1000 * a$$

$$a = 15.85 \text{ mm}$$

$$x = \frac{a}{\beta_1} = \frac{15.85}{0.85} = 18.65 \text{ mm}$$

$$\epsilon_s = \frac{205 - 18.65}{18.65} \times 0.003$$

$$\epsilon_s = 0.03 > 0.005$$

\Rightarrow OK

In transverse direction :

$$A_{smin} = 0.0018 * B * h$$

$$A_{smin} = 0.0018 * 800 * 300 = 432 \text{ mm}^2$$

Use ϕ 12

No. = $432/113 = 3.82$, Use 4 bars

Use 4 ϕ 12

4.11.4 Development Length of main Reinforcement

$$l_{dreq} = \frac{9}{10} * \frac{F_y}{\lambda \sqrt{f_c}} * \frac{\psi_e \psi_s \psi_t}{\frac{ktr+cb}{db}} * db$$

$$l_{dreq} = \frac{9}{10} * \frac{420}{1 * \sqrt{24}} * \frac{1 * 1 * 0.8}{2.5} * 14 = 346 \text{ mm}$$

$$l_{davailable} = 400 - (250/2) - 75 = 200 \text{ mm}$$

$$l_{davailable} = 200 \text{ mm} < l_{dreq} = 346 \text{ mm}$$

Use Using hook $\geq 16 * \phi$

Chapter 4

Required length of hook $\geq 16 * \phi \geq 16 * 1.4 = 22.4 \text{ cm}$

Use Hooksel. = 25 cm > Hookreq = 22.4cm



Figure (4-24) Strip Footing Detail

4.12 Design of Stairs :

4.12.1 Determination of Slab Thickness:

$$L = 0.7 + 3.5 + 0.7 = 4.9 \text{ m.}$$

$$h_{req} = L / 20$$

$$h_{req} = 490 / 20 = 24.5 \text{ cm} \dots\dots\dots \text{take } h = 25 \text{ cm.}$$

⇒ Use h = 25cm.

$$\theta = \tan^{-1}(150 / 300) = 26.56^\circ$$

$$\cos \theta = 0.894$$

Figure (4-33) : Loads on stairs

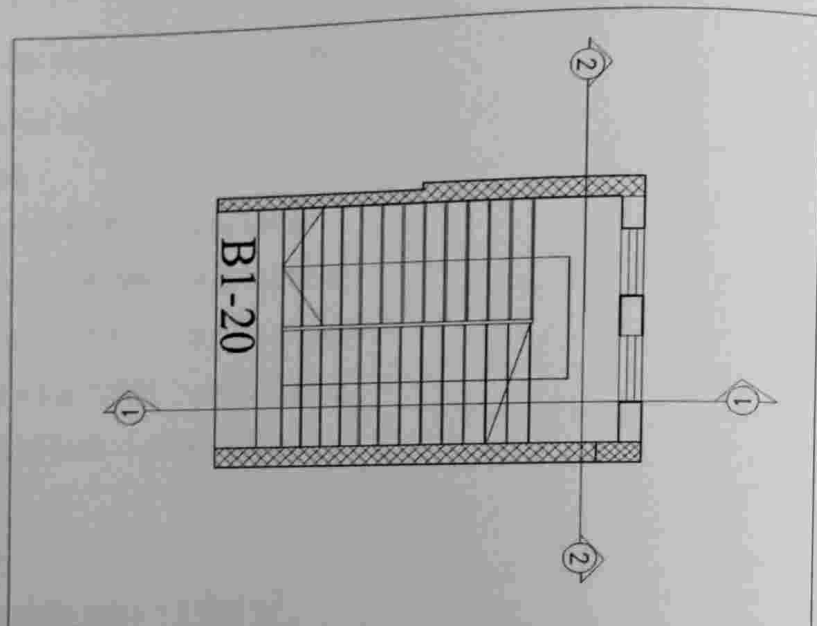


Figure (4-25) :stair plan

4.12.2 Load Calculations at section (1-1):

4.12.2.1 Load on Stringer:

Dead Load:

$$\text{Tiles} = 0.03 * 22 * ((0.35 + 0.15) / 0.30) = 1.1 \text{ KN/m.}$$

$$\text{mortar} = 0.02 * 23 * ((0.15 + 0.3) / 0.3) = 0.69 \text{ KN/ m.}$$

$$\text{Plaster} = (0.02 * 23) / (\text{Cos } 26.56) = 0.51 \text{ KN/ m.}$$

$$\text{Steps} = ((0.15 * 0.3) / 2) * 25 / 0.3 = 1.875 \text{ KN / m.}$$

$$\text{Slab} = 0.25 * 25 / \text{Cos } 26.56 = 6.99 \text{ KN/ m.}$$

$$\text{Total dead load} = 11 \text{ KN/ m.}$$

Live load:

$$\text{Live load for stairs} = 5 \text{ KN/ m}^2.$$

Factored load

Chapter 4

$$q_u = 1.2 * 11 + 1.6 * 5 = 21.2 \text{ KN/ m}^2.$$

For one meter Strip, $q_u = 21.2 \text{ KN/ m}.$

4.12.2.2 Load on landing :

Dead Load:

$$\text{Tiles} = 0.03 * 22 * 1 = 0.66 \text{ kN/m}$$

$$\text{Mortar} = 0.02 * 23 * 1 = 0.46 \text{ kN/m}$$

$$\text{Slab} = 0.25 * 25 * 1 = 6.25 \text{ KN/m.}$$

$$\text{Plaster} = 0.02 * 23 * 1 = 0.46 \text{ KN/m.}$$

$$\text{Total dead load} = 7.83 \text{ KN/m.}$$

Live load:

$$\text{Live load for stairs} = 3 \text{ KN/ m}^2.$$

Factored load

$$q_u = 1.2 * 7.83 + 1.6 * 3 = 14.2 \text{ KN/ m}^2.$$

For one meter Strip, $q_u = 14.2 \text{ KN/ m}.$



Figure (4-26) : Loads on stairs

Chapter 4

4.12.3 Design of Shear :

- Assume $\emptyset 12$ for main reinforcement:-

$$\text{So, } d = 250 - 20 - 12/2 = 224 = 22.4 \text{ cm}$$

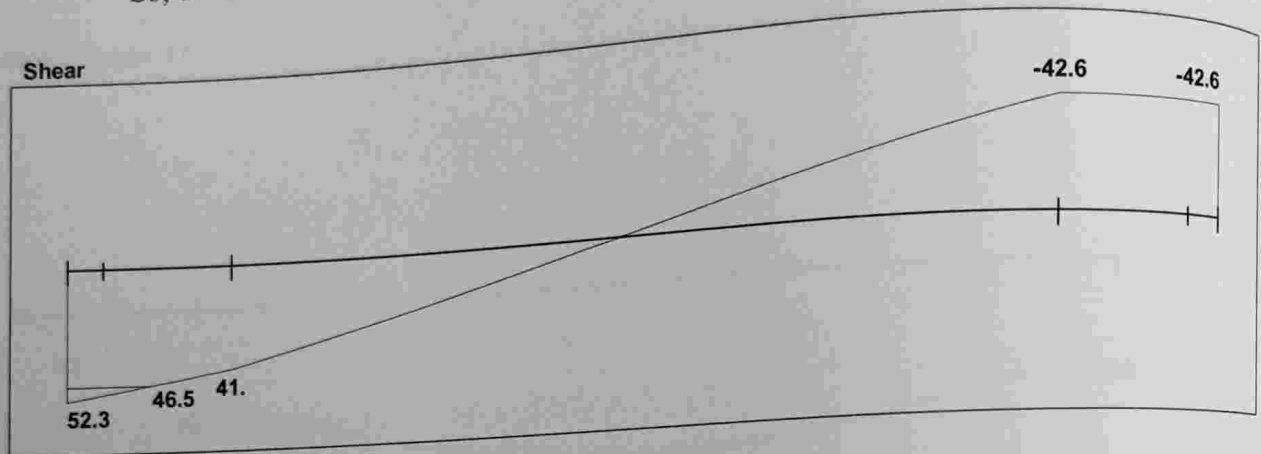


Figure (4-27) : Shear Envelope

$$V_u = 46.5 \text{ KN .}$$

$$\phi V_c = \frac{\phi \sqrt{f_c'} * b_w * d}{6}$$

$$\phi V_c = \frac{0.75 * \sqrt{24} * 1000 * 224}{6} = 137.2 \text{ KN}$$

$$V_u = 46.5 \text{ KN} < \phi V_c = 137.2 \text{ KN .}$$

>>>>No shear Reinforcement is required. So the depth of the stair is OK.

Chapter 4

4.12.4 Design of Bending Moment for stringer:

The Following figure shows the Moment Envelope acting on the stair :

Moments: spans 1 to 3

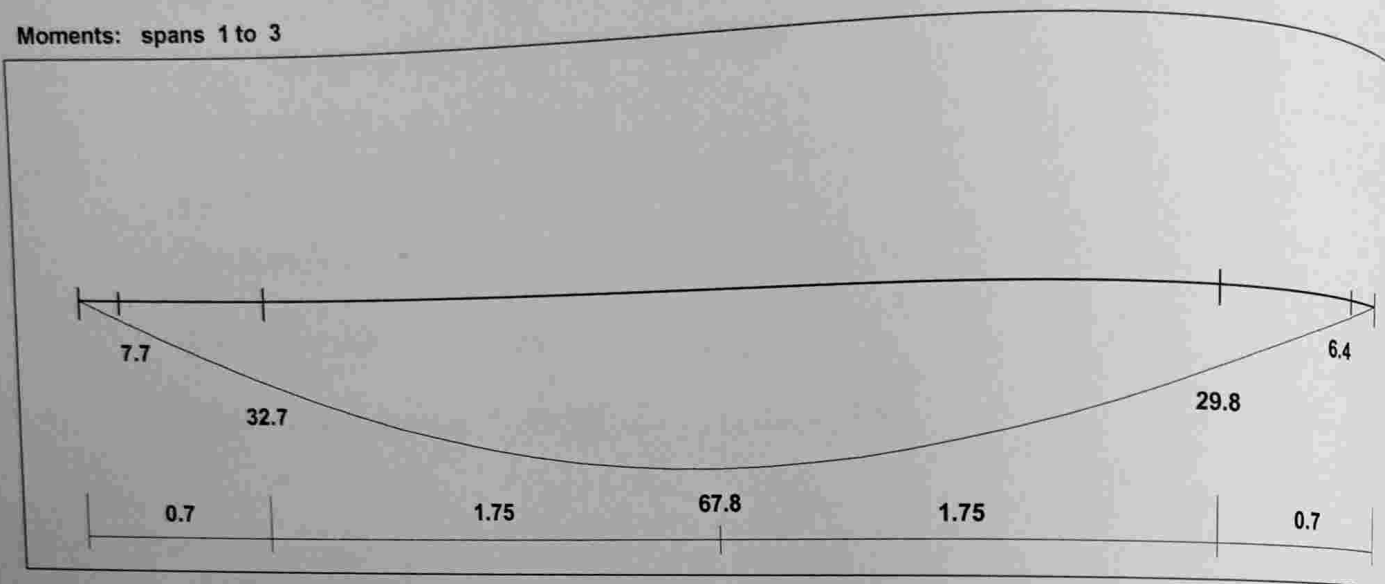


Figure (4-28) : Moment Envelope

$$M_u = 67.8 \text{ kN.m}$$

$$M_n = M_u / 0.9 = 67.8 / 0.9 = 75.3 \text{ kN.m.}$$

$$d = 22.2 \text{ cm.}$$

Assume ϕ 16

$$R_n = \frac{M_n}{b \cdot d^2}$$

$$K_n = \frac{75.3 \cdot 10^6}{1000 \cdot 222^2} = 1.53 \text{ MPa .}$$

$$m = \frac{f_y}{0.85 \times f_c'}$$

$$m = \frac{420}{0.85 \times 24} = 20.588$$

Chapter 4

$$\rho = \frac{1}{m} \left(1 - \sqrt{1 - \frac{2mR_n}{f_y}} \right) = \frac{1}{20.588} \left(1 - \sqrt{1 - \frac{2 * 20.588 * 1.53}{420}} \right) = 3.791 * 10^{-3}$$

$$A_{s_{req}} = 3.791 * 10^{-3} * 100 * 22.2 = 8.42 \text{ cm}^2$$

$$A_{s_{min}} = 0.0018 * b * h = 0.0018 * 100 * 25 = 4.5 \text{ cm}^2$$

$$A_{s_{min}} = 4.5 \text{ cm}^2 \leq A_{s_{req}} = 8.42 \text{ cm}^2$$

Use $\Phi 16 \gg \gg 842/201 = 4.2$

Use $\Phi 16 @ 20\text{cm c/c}$

Use 5 $\Phi 16$ with $A_s = 10.1 \text{ cm}^2$.

As provided = $10.1 \text{ cm}^2 > A_{s_{req}}$OK.

Check for strain:

Tension = Compression

$$A_s * f_y = 0.85 * f_c' * b * a$$

$$1005 * 420 = 0.85 * 24 * 1000 * a$$

$$a = 20.7 \text{ mm}$$

$$c = \frac{a}{\beta_1} = \frac{20.7}{0.85} = 24.3 \text{ mm}$$

$$\epsilon_s = \frac{222 - 24.3}{24.3} * 0.003$$

$$\epsilon_s = 0.0244 > 0.005 \longrightarrow ok$$

4.12.5 Secondary reinforcement:

$$A_{s_{Shrinkage}} = 0.0018 * b * h = 0.0018 * 100 * 25 = 4.5 \text{ cm}^2$$

Use $\Phi 10 @ 15 \text{ cm}$ With $A_s = 4.71 \text{ cm}^2$.

4.12.6: design of shear for landing:

Assume $\emptyset 12$ for main reinforcement:-

So, $d = 250 - 20 - 12/2 = 224 = 22.4 \text{ cm}$

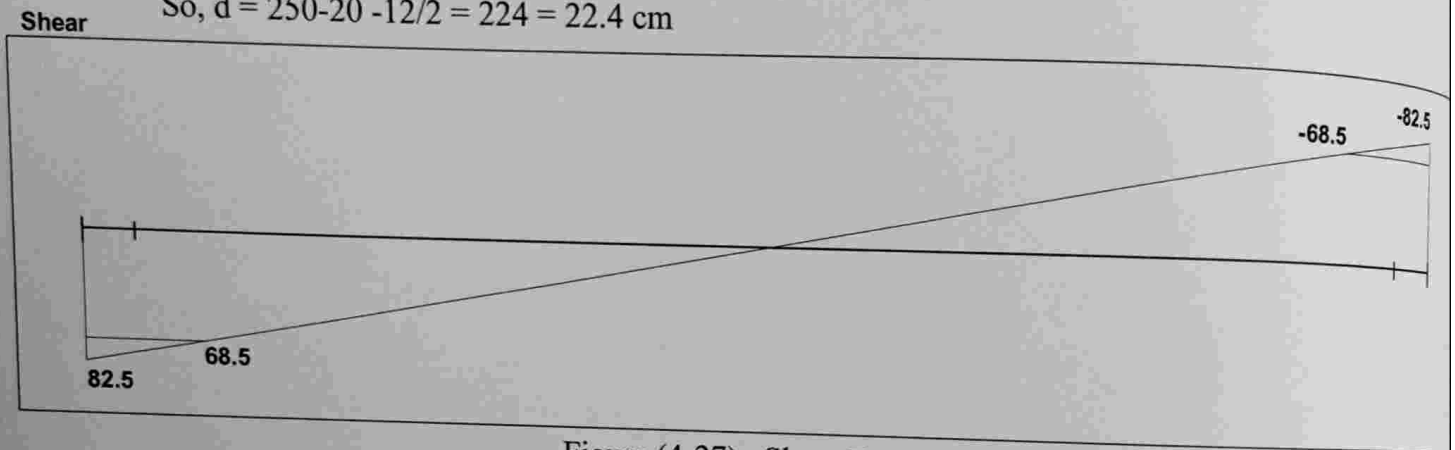


Figure (4-27) : Shear Envelope

$$V_u = 68.5 \text{ KN .}$$

$$\phi V_c = \frac{\phi \sqrt{f_c'} * b_w * d}{6}$$

$$\phi V_c = \frac{0.75 * \sqrt{24} * 1000 * 224}{6} = 137.2 \text{ KN}$$

$$V_u = 68.5 \text{ KN} < \phi V_c = 137.2 \text{ KN .}$$

>>>> No shear Reinforcement is required. So the depth of the stair is OK.

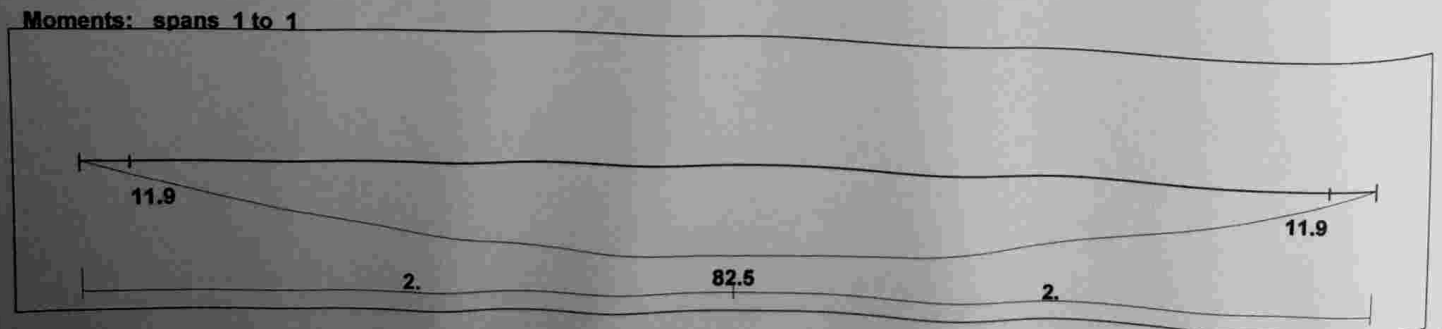
4.12.7 Design of Bending Moment for landing:

Figure (4-28) : Moment Envelope

Chapter 4

$$M_u = 82.5 \text{ kN.m}$$

$$M_n = M_u / 0.9 = 82.5 / 0.9 = 91.7 \text{ KN.m.}$$

$$d = 22.2 \text{ cm.} \quad \text{Assume } \phi 16$$

$$R_n = \frac{M_n}{b \cdot d^2}$$

$$K_n = \frac{91.7 * 10^6}{1000 * 222^2} = 1.86 \text{ MPa .}$$

$$m = \frac{f_y}{0.85 * f_c'}$$

$$m = \frac{420}{0.85 * 24} = 20.588$$

$$\rho = \frac{1}{m} \left(1 - \sqrt{1 - \frac{2mR_n}{f_y}} \right) = \frac{1}{20.588} \left(1 - \sqrt{1 - \frac{2 * 20.588 * 1.86}{420}} \right) = 4.65 * 10^{-3}$$

$$A_{s_{req}} = 4.65 * 10^{-3} * 100 * 22.2 = 10.33 \text{ cm}^2$$

$$A_{s_{min}} = 0.0018 * b * h = 0.0018 * 100 * 25 = 4.5 \text{ cm}^2$$

$$A_{s_{min}} = 4.5 \text{ cm}^2 \leq A_{s_{req}} = 10.33 \text{ cm}^2$$

Use $\Phi 18 \gg \gg 1033/254.5 = 4.1$

Use $\Phi 18 @ 20 \text{ cm c/c}$

Use 5 $\Phi 18$ with $A_s = 12.73 \text{ cm}^2$.

A_s provided = $12.73 \text{ cm}^2 > A_s$ req.....OK.

Chapter 4

Check for strain:

Tension = Compression

$$A_s \cdot f_y = 0.85 \cdot f_c' \cdot b \cdot a$$

$$1272.5 \cdot 420 = 0.85 \cdot 24 \cdot 1000 \cdot a$$

$$a = 26.2 \text{ mm}$$

$$c = \frac{a}{\beta_1} = \frac{26.2}{0.85} = 30.82 \text{ mm}$$

$$\epsilon_s = \frac{221 - 30.82}{30.82} \cdot 0.003$$

$$\epsilon_s = 0.09 > 0.005 \longrightarrow \text{ok}$$

4.12.8 Secondary reinforcement:

$$A_{s_{\text{Shrinkage}}} = 0.0018 \cdot b \cdot h = 0.0018 \cdot 100 \cdot 25 = 4.5 \text{ cm}^2$$

Use $\Phi 10$ @ 15 cm With $A_s = 4.71 \text{ cm}^2$.

For $M_u = 11.9 \text{ kN.m}$

$$M_n = M_u / 0.9 = 11.9 / 0.9 = 13.22 \text{ KN.m.}$$

$$d = 22.4 \text{ cm.} \quad \text{Assume } \phi 12$$

$$R_n = \frac{M_n}{b \cdot d^2}$$

$$K_n = \frac{13.22 \cdot 10^6}{1000 \cdot 224^2} = 0.26 \text{ MPa .}$$

$$m = \frac{f_y}{0.85 \cdot f_c'}$$

$$m = \frac{420}{0.85 \cdot 24} = 20.588$$

$$\rho = \frac{1}{m} \left(1 - \sqrt{1 - \frac{2mR_n}{f_y}} \right) = \frac{1}{20.588} \left(1 - \sqrt{1 - \frac{2 \cdot 20.588 \cdot 0.26}{420}} \right) = 6.3 \cdot 10^{-4}$$

Chapter 4

$$A_{s_{req}} = 6.3 * 10^{-3} * 100 * 22.4 = 1.4 \text{ cm}^2$$

$$A_{s_{min}} = 0.0018 * b * h = 0.0018 * 100 * 25 = 4.5 \text{ cm}^2$$

$$A_{s_{min}} = 4.5 \text{ cm}^2 > A_{s_{req}} = 1.4 \text{ cm}^2$$

Use Φ 12 >>> $450/113.1 = 3.9$

Use Φ 12 @ 25cm c/c

Use 4 Φ 12 with $A_s = 4.52 \text{ cm}^2$.

A_s provided = $4.52 \text{ cm}^2 > A_s$ req.....OK.

Check for strain:

Tension = Compression

$$A_s * f_y = 0.85 * f_c' * b * a$$

$$4520 * 420 = 0.85 * 24 * 1000 * a$$

$$a = 9.3 \text{ mm}$$

$$c = \frac{a}{\beta_1} = \frac{9.3}{0.85} = 10.96 \text{ mm}$$

$$\epsilon_s = \frac{224 - 10.96}{10.96} * 0.003$$

$$\epsilon_s = 0.06 > 0.005 \longrightarrow ok$$

4.12.6 Stairs at section (1-1) Details:

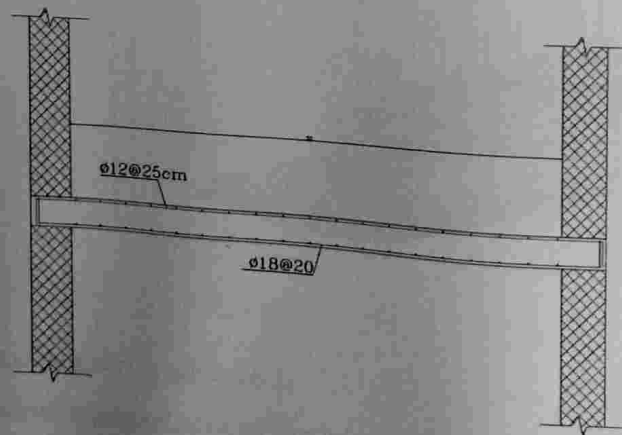
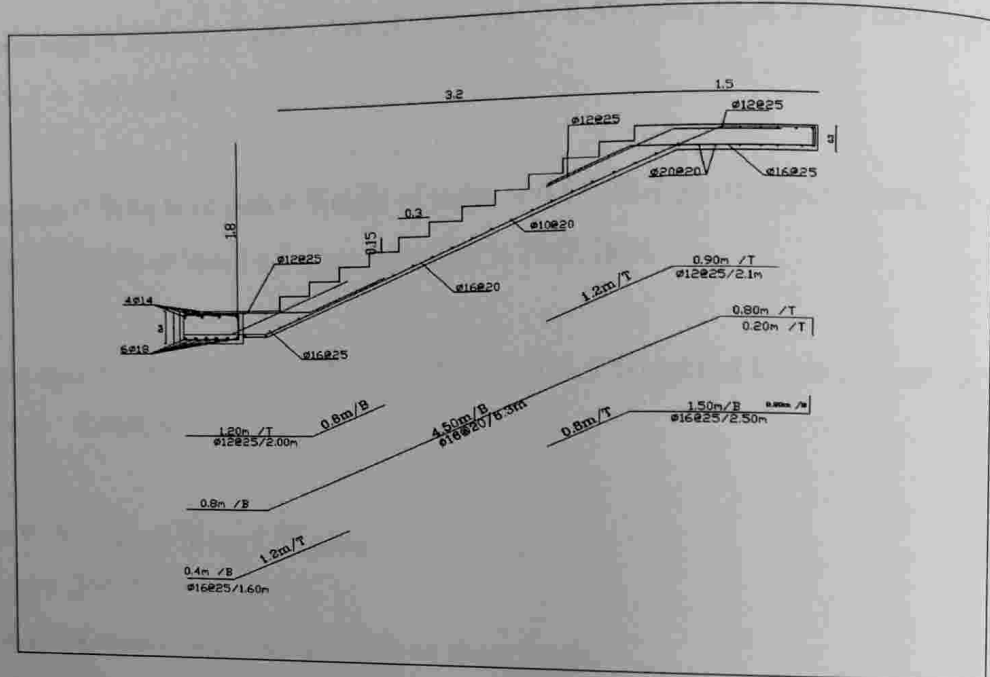


Figure (4-29) : Stair Section

Structural Analysis & Design

Chapter 4

4.13 Design of Shear wall:

4.13.1 Calculation of loads:

$$W_{\text{Ground Floor}} = \text{Weight of slab} + \text{Weight of stairs} + 0.5 * (\text{Weight of upper columns \& walls}) = 8306.7\text{KN}$$

$$W_{\text{First Floor}} = \text{Weight of slab} + \text{Weight of stairs} + 0.5 * (\text{Weight of upper columns \& walls} + \text{Weight of lower columns \& walls}) = 7762.7\text{KN}$$

$$W_{\text{Second Floor}} = \text{Weight of slab} + \text{Weight of stairs} + (0.5 * \text{Weight of lower columns \& walls}) = 7389\text{KN}$$

$$W_{\text{Total}} = W_{\text{Ground}} + W_{\text{First}} + W_{\text{Second}}$$

$$W_{\text{Total}} = 23458\text{KN}$$

4.13.2 Calculation of shear force on shear walls:

From Uniform Building Code 1997 (UBC):

$$Z=0.3 \text{ zone "3"}$$

$$R=5.5$$

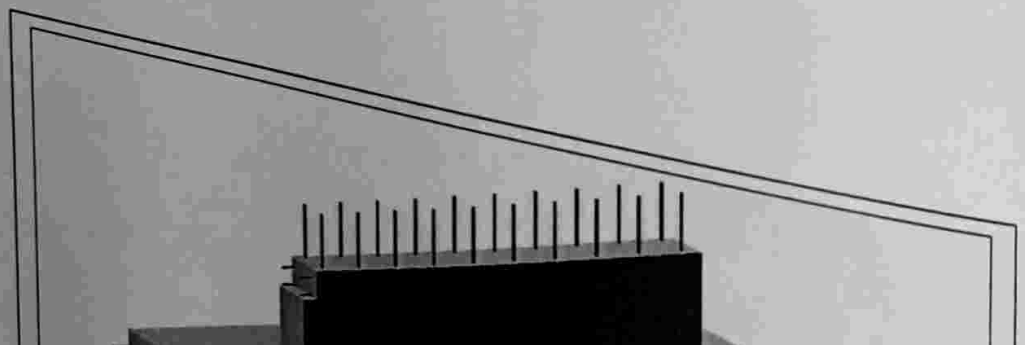
$$I=1$$

$$C_a = 0.24$$

$$C_v = 0.24$$

$$h_n = 9\text{m}$$

$$C_t = 0.0488$$



Chapter 4

C_t = numerical coefficient given in section 1630.2.2.

C_v = seismic coefficient, as set forth in Table 16-R.

h_i, h_n, h_x = height in feet (m) above the base to level i, n or x , respectively.

Eq.... 30-8 (UBC)

$$T = C_t(h_n)^{\frac{3}{4}}$$

$$T = 0.0488(9)^{\frac{3}{4}} = 0.25$$

$$V_1 = \frac{C_v I}{R T} W = \frac{0.24 * 1}{5.5 * 0.25} * W = 0.175W$$

$$V \leq 0.11 * WKN \dots \text{control}$$

$$V \geq 0.03 * WKN$$

$$V = 0.11W = 0.11 * 23458 = 2580.4KN$$

$$F_t = 0.07 * T * V = 0.07 * 0.25 * 2580.4 = 45.2KN$$

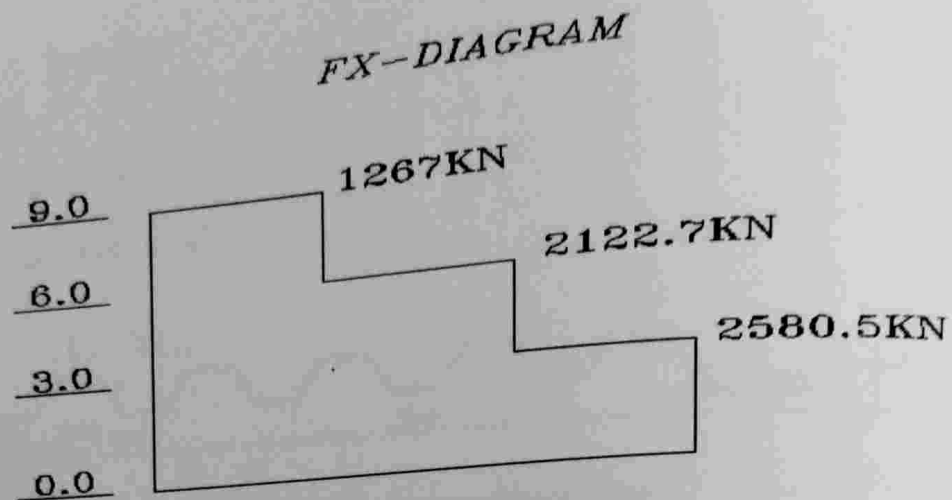


Figure (4-30) : FX- Diagram

Results of the E-tabs program is match with text.

Use $\Phi 10 @ 25\text{cm c/c}$ in two layer (for vertical reinforcement)

Use $\Phi 10 @ 25\text{cm c/c}$ in two layer (for horizontal reinforcement)

4.14: Truss design

4.14.1:- Load calculation

1. Dead Load:-

Surface layer of steel sheet with thickness of 0.6mm=0.05KN/m²

Heat insulation layer of rock wool with thickness of 100mm=0.1 KN/m²

Sheet metal with thickness of 0.75mm =0.078 KN/m²

$$D.L=0.05+0.1+0.078=0.228\text{KN/m}^2$$

Chapter 4

2. Snow load

$$S = h - 400/400$$

$$= 997 - 400/400 = 1.5 \text{ KN/m}^2$$

$$Q_t = 1.5 + 0.228 = 1.728 \text{ KN/m}^2$$

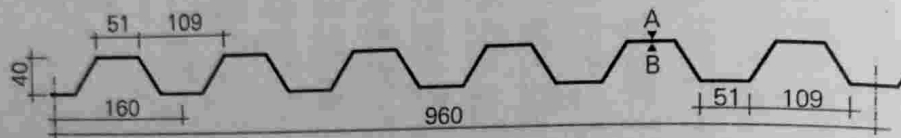
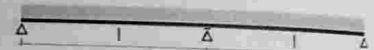


Fig.(4-31) Cross section of sheet metal

Zwischenaufagerbreite ≥ 60 mm



Dicke mm	Gewicht kN/m ²	I _{eff} cm ² /m	Zulässige, gleichmäßig verteilte Belastung in kN/m ² bei einer Stützweite l in m (inkl. Eigengewicht)																
			1,00	1,25	1,50	1,75	2,00	2,25	2,50	2,75	3,00	3,25	3,50	3,75	4,00	4,25	4,50	4,75	
0,63	0,066	16,5	1	7,98	5,64	3,98	2,92	2,24	1,77	1,43	1,18	0,99	0,85	0,73	0,64	0,56	0,50	0,44	0,40
			2	7,98	5,64	3,98	2,92	2,24	1,77	1,43	1,18	0,99	0,85	0,73	0,61	0,50	0,42	0,35	0,30
			3	7,98	5,64	3,98	2,92	2,24	1,77	1,37	1,03	0,79	0,62	0,50	0,41	0,33	0,28	0,23	0,20
0,75	0,078	20,8	1	10,70	7,44	5,16	3,79	2,90	2,30	1,86	1,54	1,29	1,10	0,95	0,83	0,73	0,64	0,57	0,51
			2	10,70	7,44	5,16	3,79	2,90	2,30	1,86	1,54	1,29	1,10	0,94	0,77	0,63	0,53	0,44	0,38
			3	10,70	7,44	5,16	3,79	2,90	2,30	1,73	1,30	1,00	0,79	0,63	0,51	0,42	0,35	0,30	0,25
0,88	0,092	25,6	1	13,94	9,44	6,56	4,82	3,69	2,91	2,36	1,95	1,64	1,40	1,20	1,05	0,92	0,82	0,73	0,65
			2	13,94	9,44	6,56	4,82	3,69	2,91	2,36	1,95	1,64	1,40	1,17	0,95	0,78	0,65	0,55	0,47
			3	13,94	9,44	6,56	4,82	3,69	2,91	2,13	1,60	1,23	0,97	0,78	0,63	0,52	0,43	0,37	0,31
1,00	0,104	30,4	1	17,17	11,41	7,92	5,82	4,46	3,52	2,85	2,36	1,98	1,69	1,46	1,27	1,11	0,99	0,88	0,79
			2	17,17	11,41	7,92	5,82	4,46	3,52	2,85	2,36	1,98	1,69	1,38	1,12	0,92	0,77	0,65	0,55
			3	17,17	11,41	7,92	5,82	4,46	3,46	2,52	1,89	1,46	1,15	0,92	0,75	0,62	0,51	0,43	0,37
1,25	0,130	39,4	1	24,56	15,78	10,96	8,05	6,16	4,87	3,94	3,26	2,74	2,33	2,01	1,75	1,54	1,36	1,22	1,09
			2	24,56	15,78	10,96	8,05	6,16	4,87	3,94	3,26	2,74	2,23	1,78	1,45	1,19	1,00	0,84	0,71
			3	24,56	15,78	10,96	8,05	6,16	4,48	3,26	2,45	1,89	1,48	1,19	0,97	0,80	0,66	0,56	0,48
1,50	0,156	47,5	1	31,80	20,35	14,13	10,38	7,95	6,28	5,09	4,20	3,53	3,01	2,60	2,26	1,99	1,76	1,57	1,41
			2	31,80	20,35	14,13	10,38	7,95	6,28	5,09	4,20	3,42	2,69	2,15	1,75	1,44	1,20	1,01	0,86
			3	31,80	20,35	14,13	10,38	7,69	5,40	3,94	2,96	2,28	1,79	1,43	1,17	0,96	0,80	0,67	0,57

Zwischenauflegerbreite z=60 mm

Dicke mm	Gewicht kN/m ²	I _y cm ⁴ /m	Zulässige, gleichmäßig verteilte Belastung in kN/m ² bei einer Stützweite l in m (inkl. Eigengewicht)																
			1,00	1,25	1,50	1,75	2,00	2,25	2,50	2,75	3,00	3,25	3,50	3,75	4,00	4,25	4,50	4,75	
0,63	0,066	16,5	1	8,95	5,73	3,98	2,99	2,38	1,93	1,60	1,35	1,15	0,99	0,86	0,75	0,67	0,59	0,53	0,48
			2	8,95	5,73	3,98	2,99	2,38	1,93	1,60	1,21	0,93	0,73	0,59	0,48	0,39	0,33	0,28	0,23
			3	8,95	5,73	3,98	2,99	2,09	1,47	1,07	0,81	0,62	0,49	0,39	0,32	0,26	0,22	0,18	0,16
0,75	0,078	20,8	1	11,62	7,44	5,16	3,96	3,14	2,55	2,10	1,77	1,50	1,29	1,12	0,98	0,87	0,77	0,69	0,62
			2	11,62	7,44	5,16	3,96	3,14	2,55	2,03	1,53	1,18	0,92	0,74	0,60	0,50	0,41	0,35	0,30
			3	11,62	7,44	5,16	3,95	2,64	1,86	1,35	1,02	0,78	0,62	0,49	0,40	0,33	0,26	0,23	0,20
0,98	0,092	25,8	1	14,75	9,44	6,65	5,11	4,04	3,27	2,70	2,26	1,92	1,65	1,43	1,26	1,11	0,99	0,86	0,80
			2	14,75	9,44	6,65	5,11	4,04	3,27	2,51	1,88	1,45	1,14	0,91	0,74	0,61	0,51	0,43	0,37
			3	14,75	9,44	6,65	4,88	3,27	2,29	1,67	1,26	0,97	0,76	0,61	0,50	0,41	0,34	0,29	0,24
1,00	0,104	30,4	1	17,82	11,41	8,15	6,25	4,93	3,98	3,28	2,75	2,33	2,00	1,74	1,52	1,34	1,20	1,07	0,96
			2	17,82	11,41	8,15	6,25	4,93	3,98	2,96	2,23	1,72	1,35	1,08	0,88	0,72	0,60	0,51	0,43
			3	17,82	11,41	8,15	5,76	3,66	2,71	1,98	1,48	1,14	0,90	0,72	0,59	0,49	0,40	0,34	0,29
1,25	0,130	39,4	1	24,65	15,78	11,55	8,81	6,93	5,58	4,59	3,84	3,25	2,79	2,42	2,12	1,87	1,66	1,49	1,34
			2	24,65	15,78	11,55	8,81	6,93	5,26	3,84	2,88	2,22	1,75	1,40	1,14	0,94	0,78	0,66	0,56
			3	24,65	15,78	11,55	7,46	4,99	3,51	2,56	1,92	1,48	1,18	0,93	0,76	0,62	0,52	0,44	0,37
1,50	0,156	47,5	1	31,80	20,80	15,19	11,55	9,06	7,28	5,98	4,99	4,23	3,62	3,14	2,75	2,42	2,15	1,92	1,73
			2	31,80	20,80	15,19	11,55	9,04	6,35	4,63	3,48	2,68	2,11	1,69	1,37	1,13	0,94	0,79	0,67
			3	31,80	20,80	14,28	9,00	6,03	4,23	3,09	2,32	1,79	1,40	1,12	0,91	0,75	0,63	0,53	0,45

Table(4-2) sheet metal for 2&3spanes

From the table above the bearing load of sheet metal is 5.16 KN/m²

$Q_u = 5.16 \text{ KN/m}^2 > Q_t = 1.728 \text{ KN/m}^2 \dots \text{Ok}$

Note:- the members are A36 (F_y=36ksi and F_u=58ksi)

4.14.2:- Purlins design

$Q_u = 1.5(1.4 * 0.228) = 0.48$

$Q_u = 1.5(1.2 * 0.228 + 1.6 * 1.5) = 4.01 \text{ KN/m}^2 \dots \text{control}$

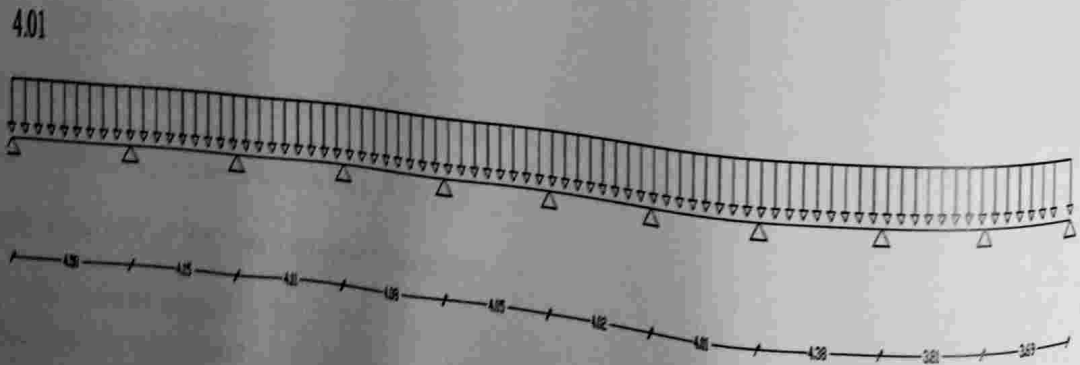


Fig.(4-32) static system for purlins

1-Moment

Max moment = -8.53 KN.m

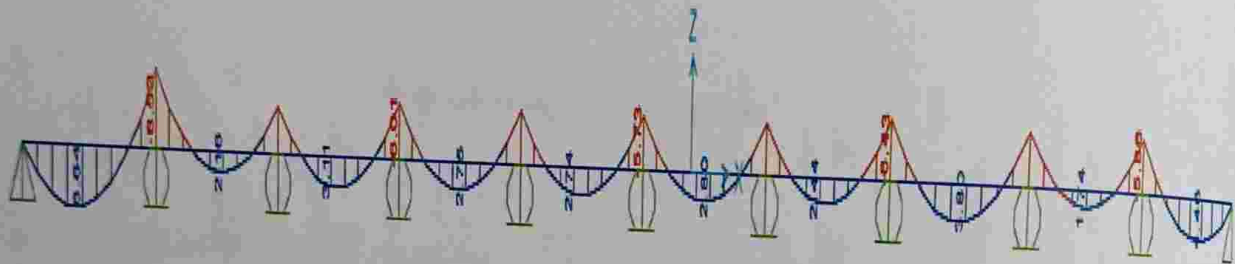


Fig.(4-33) Moment envelope for purlins

⇒ Design of moment :-

$$M_u (\text{max}) = 8.53 \text{ KN.m} = 8.53 / 4.448 \times 1000 \times 1 / 25.4 = 75.5 \text{ kip.in}$$

$$M_p \geq M_u$$

$$0.9 \times 36 \times Z_x = 75.5 \rightarrow Z_x = 2.33$$

$$\text{Select HSS } 4 \times 2 \times 1/4 \rightarrow Z_x = 2.94$$

$$b/t = 5.58, \quad h/t = 14.2$$

⇒ Check Compact :

$$\lambda_p = 1.12 \sqrt{E/F_y} = 1.12 \sqrt{28000/36} = 31.8$$

$$\lambda_r = 1.4 \sqrt{E/F_y} = 1.4 \sqrt{28000/36} = 39.73$$

b/t and $h/t < \lambda_p$ so Compact section

1- shear stress

$$\text{Max shear} = 11.28 \text{ KN}$$

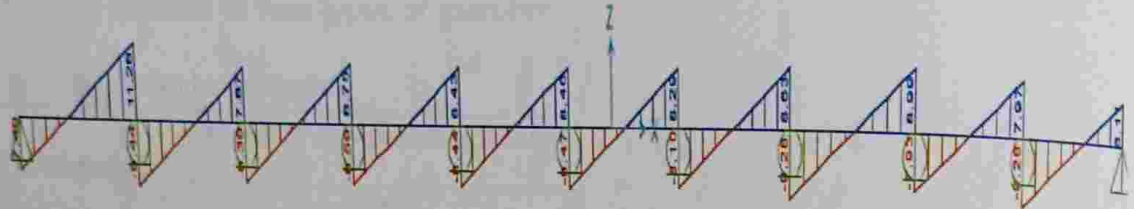


Fig.(4-34) Shear envelop for purlins

⇒ Design of Shear :-

$$V_u (\text{max}) = 11.28 \text{ kn.m} = \frac{11.28}{4.448} = 2.54 \text{ kip}$$

$$V_p \geq V_u$$

$$0.9 \cdot 0.6 \cdot F_y \cdot d \cdot t_w \geq 2.54$$

$$0.9 \cdot 0.6 \cdot 36 \cdot 4 \cdot \frac{1}{4} = 19.44 \text{ kip} > 2.54 \text{ok}$$

4.14.3: Truss design

4-14.3.1: internal forces calculation

Max support from purlins = 20.72KN

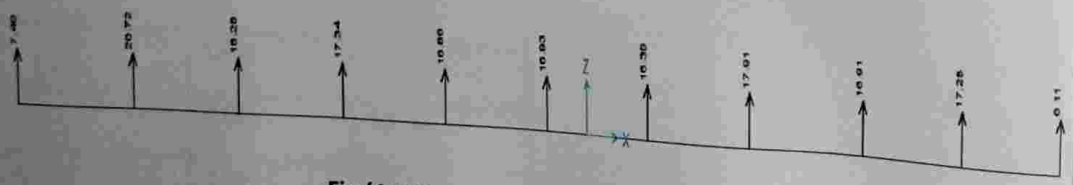


Fig.(4-35) Support reaction for purlins

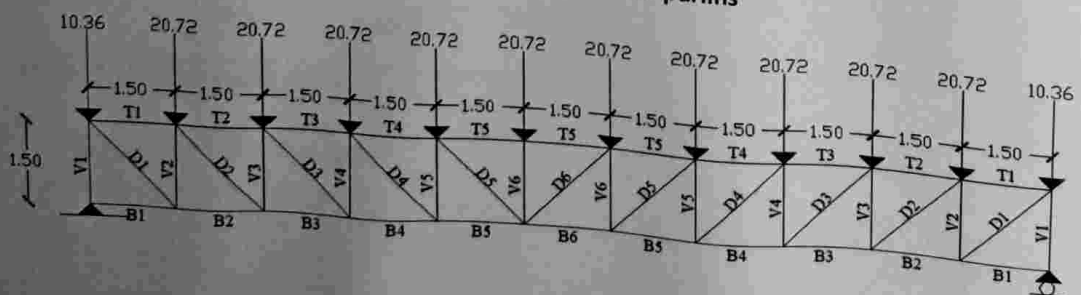


Fig.(4-36) Truss system
120

⇒ The truss consists of four types of member

1- The vertical member(V)

NO. of member	Value of compression force	
	KN	Kip
V1	114	25.63
V2	104	23.38
V3	82.9	18.64
V4	62.2	13.98
V5	41.4	9.31
V6	20.7	4.65

Table (4-3) vertical member forces

2- The top member (T)

NO. of member	Value of compression force	
	KN	Kip
T1	104	23.38
T2	186	41.82
T3	249	55.98
T4	290	65.19
T5	311	69.92

Table (4-4) Top member forces

3- The diagonal member(D)

NO. of member	Value of tension force	
	KN	Kip
D1	147	33.05
D2	117	26.3
D3	87.9	19.76
D4	58.6	13.17
D5	29.3	6.59
D6	0.0	0.0

Table (4-5) diagonal member forces

4- The bottom member(B)

NO. of member	Value of tension force	
	KN	Kip
B1	0.0	0.0
B2	104	23.38
B3	186	41.82
B4	249	55.98
B5	290	65.2
B6	311	69.92

Table (4-6) bottom member forces

Chapter 4

4-14.3.2:-Design of tension member

⇒ bottom member

Max. valu of tension =311KN=69.92Kip

Tensile yielding

$$P_u = \Phi * F_y * A_g$$

$$A_g = 69.92 / 0.9 * 36 = 2.16 \text{ in}^2$$

Try W8*10A=2.96in²

Tensile rupture

$$\Phi P_n = \Phi * F_u * (U * A_g) = 0.75 * 58 * (1 * 2.96) = 128.76 \text{ Kip} > 69.92 \text{ Kip} \dots \text{ok}$$

4-16.3.3:- Diagonal member

Max. Value of tension =147KN=33.05Kip

Tensile yielding

$$P_u = \Phi * F_y * A_g$$

$$A_g = 33.05 / 0.9 * 36 = 1.02 \text{ in}^2$$

Try L3*3*5/16A=1.78in²

Tensile rupture

$$\Phi P_n = \Phi * F_u * (U * A_g) = 0.75 * 58 * 0.85 * 1.78 = 65.81 \text{ Kip} > 33.05 \text{ Kip} \dots \text{ok}$$

Chapter 4

4-14.3.3:- Design of compression member

⇒ Vertical member

Max value of compression = 114 kN = 25.63 Kip

Take section member L3*3*5/16

Section property A = 1.78 in² r_x = 0.91 in r_y = 0.91 in

L = 1.5 m = 4.92 ft

Determine of the reduction factor for slender:-

Unstiffened element

$$\lambda = \frac{b}{t} = \frac{3}{5/16} = 9.6$$

$$0.45 \sqrt{\frac{E}{F_y}} = 0.45 \sqrt{\frac{29000}{36}} = 12.77 > \frac{b}{t} \Rightarrow Q = Q_s = 1$$

$$\frac{L}{r_x} = \frac{4.92 * 12}{0.91} = 64.88$$

$$0 < \frac{L}{r_x} < 80$$

$$\Rightarrow \frac{KL}{r} = 72 + 0.75 \frac{L}{r_x} = 72 + 0.75 * \frac{4.92 * 12}{0.91} = 120.66$$

$$4.71 \sqrt{\frac{E}{Q_s * F_y}} = 4.71 \sqrt{\frac{29000}{1 * 36}} = 133.68 > 120.66$$

$$F_e = \frac{\pi^2 * E}{\left(\frac{KL}{r}\right)^2} = \frac{\pi^2 * 29000}{(120.66)^2} = 19.66$$

$$\Rightarrow F_{cr} = \left[0.658^{Q_s * F_y / F_e}\right] * F_y = \left[0.658^{1 * 36 / 19.66}\right] * 36 = 16.73$$

$$\Phi P_n = \Phi * F_{cr} * A_g = 0.9 * 16.73 * 1.78 = 26.8 \text{ Kip} > P_u = 25.63 \text{ Kip} \dots \text{OK}$$

⇒ top member

Max value of compression = 311KN = 69.92Kip

Assume $\frac{Kl}{r} = 75$

$$4.71 \sqrt{\frac{29 \cdot 10^3}{36}} = 133.68$$

$$F_e = \frac{\pi^2 \cdot E}{(K \cdot l/r)^2} = \frac{\pi^2 \cdot 29 \cdot 10^3}{(75)^2} = 50.88$$

$$F_{cr} = [0.658^{F_y/F_e}] \cdot F_y = [0.658^{36/50.88}] \cdot 36 = 26.77 \text{Kip}$$

$$\frac{Kl}{r} = \frac{1 \cdot 12 \cdot 4.92}{r} = 75 \Rightarrow r = 0.787$$

$$A_g = \frac{P_u}{\phi F_{cr}} = \frac{69.92}{0.9 \cdot 26.77} = 2.89 \text{in}^2$$

∴ Use W8*10 $A_g = 2.96 \text{in}^2$

4-14.4:- Design of weld:-

The calculations of weld based on the following:

- 1). Fillet Weld is used.
- 2). The plates are A36 ($F_y = 36 \text{ ksi}$, $F_u = 58 \text{ ksi}$).
- 3). The plate thickness is ($t = 5/16 \text{ in}$).
- 4). The electrodes having $F_{Exx} = 70 \text{ ksi}$.
- 5). The shielded metal arc welding (SMAW) is used.

A. (1st)- Design of weld between the vertical member and the Gusset plate in the corners of the truss:-

The section of the vertical member is angel ($L3 \cdot 3 \cdot 5/16$)

Member property..... $A_g = 1.78 \text{ in}^2$, $y = 0.860$

The value of Max. compression in the vertical member is $V_u = 25.63$ kips.

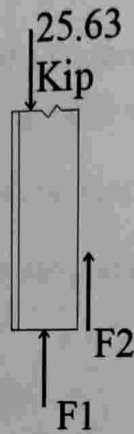


Fig.(4-37) weld forces vertical member

$$\text{Max. weld size (a}_{\text{max}}) = t - \frac{1}{16} = \frac{5}{16} - \frac{1}{16} = \frac{4}{16} \text{ in.}$$

$$\text{Min. weld size (a}_{\text{min}}) = \frac{3}{16} \text{ in.}$$

$$\therefore \text{ Use weld size (a) } = \frac{1}{4} \text{ in.}$$

⇒ Design strength of weld:-

$$\phi R_{nw} = \phi \times t_e \times 0.6 \times F_{Exx}$$

$$\phi R_{nw} = 0.75 \times (0.707 \times 1/4) \times 0.6 \times 70 = 5.57 \text{ kips.}$$

⇒ Design strength of base material:-

$$\phi R_n = \phi \times (0.6 \times F_y) \times t = 1.0 \times 0.6 \times 36 \times 5/16$$

$$= 6.75 \text{ kip} > 5.57 \text{ kip} \therefore \text{ ok}$$

Or

$$\phi R_n = \phi \times (0.6 \times F_u) \times t = 0.75 \times 0.6 \times 58 \times 5/16$$

$$= 8.15 \text{ kip} > 5.57 \text{ kip} \therefore \text{ ok}$$

$$F_1 = 5.57 \times 3 = 16.71 \text{ Kip}$$

$$F_2 = 25.63 - 16.71 = 8.92 \text{ Kip}$$

$$Lw_2 = \frac{8.92}{5.57} = 1.6 \text{ in} \dots \dots \dots \text{take } 2 \text{ in}$$

B. Design of weld between the diagonal member and the gusset plate:-

The section of the diagonal member is angel ($L3 * 3 * 5/16$).

The value if Max. Tension in the diagonal member is $T_u = 33.05$ kips.

**For the vertical member use the same size and dimension of weld for the previous vertical member.

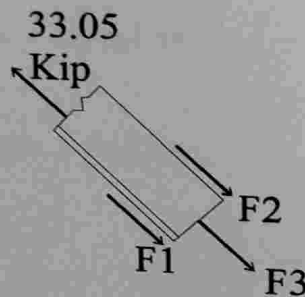


Fig.(4-38) weld force on diagonal member

$$\text{Max. weld size } (a_{\max}) = t - \frac{1}{16} = \frac{5}{16} - \frac{1}{16} = \frac{4}{16} \text{ in.}$$

$$\text{Min. weld size } (a_{\min}) = \frac{3}{16} \text{ in.}$$

$$\therefore \text{ Use weld size } (a) = \frac{1}{4} \text{ in.}$$

⇒ Design strength of weld:-

$$\phi R_{nw} = 0.75 * t_e * 0.6 * F_{EXX} = 0.75 \times (0.707 \times 1/4) \times 0.6 \times 70 = 5.57 \text{ kips.}$$

⇒ Design strength of base material:-

$$\begin{aligned} \phi R_n &= \phi \times (0.6 \times F_y) \times t = 1.0 \times 0.6 \times 36 \times 5/16 \\ &= 6.75 \text{ kip} > 5.57 \text{ kip} \therefore \text{ok} \end{aligned}$$

Or

$$\begin{aligned} \phi R_n &= \phi \times (0.6 \times F_u) \times t = 0.75 \times 0.6 \times 58 \times 5/16 \\ &= 8.15 \text{ kip} > 5.57 \text{ kip} \therefore \text{ok} \end{aligned}$$

Chapter 4

$$F_3 = 3 * 5.57 = 16.71 \text{Kip}$$

$$\Sigma M \text{ at } F_1 = 0$$

$$= F_3 * 1 + F_2 * 2 - 3.05(2 - y) = 16.71 * 1.5 + F_2 * 3 - 33.05(3 - 0.86) = 0$$

$$\Rightarrow F_2 = 15.22 \text{kip}$$

$$F_1 = 33.05 - 16.71 - 15.22 = 1.12 \text{kip}$$

$$Lw1 = \frac{F1}{\phi Rnw} = \frac{1.12}{5.57} = 0.2 \text{ in} \quad \therefore \text{use 1 in.}$$

$$Lw2 = \frac{F2}{\phi Rnw} = \frac{15.22}{5.57} = 2.73 \text{ in} \quad \therefore \text{use 3 in.}$$

Check for rupture

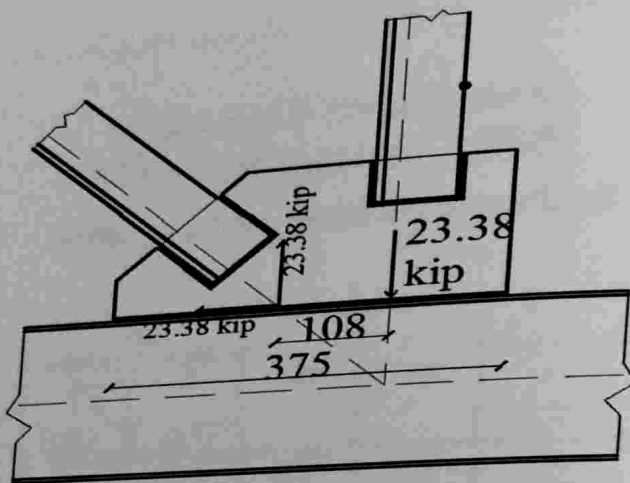
$$L = \frac{(3 + 1)}{2} = 2.0 \text{ in}$$

$$U = 1 - \frac{x}{L} = 1 - \frac{0.86}{2.0} = 0.57$$

$$\phi t Pn = 0.75 \times Fu \times Ae$$

$$\phi t Pn = 0.75 \times 58 \times (0.57 \times 1.78) = 44.13 \text{ kip} > 33.05 \text{ kip} \quad \therefore \text{ok}$$

C. Design of weld between the bottom member and the gusset plate:-
The section of the bottom member is angel (w8 * 10).



(4-39) weld between gusset plate and bottom member

$$[Rh + Rx]^2$$

$$0.792 \text{ kip/in}$$

$$3 \text{ in}^3$$

$$\frac{0.792 * (\frac{4.25}{2})}{5.93} = 0.394$$

$$[0.792 + 0]^2 = 0.885 \text{ kip/in}$$

$$0.885 \Rightarrow a = 0.04 \text{ in}$$

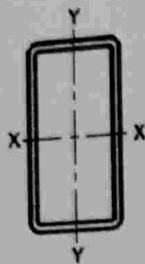


Table 1-11 (continued)
Rectangular HSS
 Dimensions and Properties

Shape	Design Wall Thickness, <i>t</i>	Nominal Wt.	Area, <i>A</i>	<i>b/t</i>	<i>h/t</i>	Axis X-X				
						<i>I</i>	<i>S</i>	<i>r</i>	<i>Z</i>	
						in. ⁴	in. ³	in.	in. ³	
HSS5x2 1/2x1/4	0.233	11.33	3.14	7.73	18.5	9.40	3.76	1.73	4.83	
	x ^{3/16}	0.174	8.79	2.41	11.4	7.51	3.01	1.77	3.79	
	x ^{1/8}	0.116	6.02	1.65	18.6	5.34	2.14	1.80	2.65	
HSS5x2x3/8	0.349	14.65	4.09	2.73	11.3	10.4	4.14	1.59	5.71	
	x ^{5/16}	0.291	12.67	3.52	3.87	14.2	9.35	3.74	1.63	5.05
	x ^{1/4}	0.233	10.48	2.91	5.58	18.5	8.08	3.23	1.67	4.27
	x ^{3/16}	0.174	8.15	2.24	8.49	25.7	6.50	2.60	1.70	3.37
	x ^{1/8}	0.116	5.60	1.54	14.2	40.1	4.65	1.86	1.74	2.37
HSS4x3x3/8	0.349	14.65	4.09	5.60	8.46	7.93	3.97	1.39	5.12	
	x ^{5/16}	0.291	12.67	3.52	7.31	10.7	3.57	1.42	4.51	
	x ^{1/4}	0.233	10.48	2.91	9.88	14.2	6.15	3.07	1.45	3.81
	x ^{3/16}	0.174	8.15	2.24	14.2	20.0	4.93	2.47	1.49	3.00
	x ^{1/8}	0.116	5.60	1.54	22.9	31.5	3.52	1.76	1.52	2.11
HSS4x2 1/2x3/8	0.349	13.37	3.74	4.16	8.46	6.77	3.38	1.35	4.48	
	x ^{5/16}	0.291	11.60	3.23	5.59	10.7	6.13	3.07	1.38	3.97
	x ^{1/4}	0.233	9.63	2.67	7.73	14.2	5.32	2.66	1.41	3.38
	x ^{3/16}	0.174	7.51	2.06	11.4	20.0	4.30	2.15	1.44	2.67
	x ^{1/8}	0.116	5.17	1.42	18.6	31.5	3.09	1.54	1.47	1.88
HSS4x2x3/8	0.349	12.09	3.39	2.73	8.46	5.60	2.80	1.29	3.84	
	x ^{3/16}	0.291	10.54	2.94	3.87	10.7	5.13	2.56	1.32	3.43
	x ^{1/4}	0.233	8.78	2.44	5.58	14.2	4.49	2.25	1.36	2.94
	x ^{3/16}	0.174	6.87	1.89	8.49	20.0	3.66	1.83	1.39	2.34
	x ^{1/8}	0.116	4.75	1.30	14.2	31.5	2.65	1.32	1.43	1.66
HSS3 1/2x2 1/2x3/8	0.349	12.09	3.39	4.16	7.03	4.75	2.72	1.18	3.59	
	x ^{5/16}	0.291	10.54	2.94	5.59	9.03	4.34	2.48	1.22	3.20
	x ^{1/4}	0.233	8.78	2.44	7.73	12.0	3.79	2.17	1.25	2.74
	x ^{3/16}	0.174	6.87	1.89	11.4	17.1	3.09	1.76	1.28	2.18
	x ^{1/8}	0.116	4.75	1.30	18.6	27.2	2.23	1.28	1.31	1.54
HSS3 1/2x2x1/4	0.233	7.93	2.21	5.58	12.0	3.17	1.81	1.20	2.36	
	x ^{3/16}	0.174	6.23	1.71	8.49	17.1	2.61	1.49	1.23	1.89
	x ^{1/8}	0.116	4.32	1.19	14.2	27.2	1.90	1.09	1.27	1.34

Note: For compactness criteria, refer to the end of Table 1-12.

**Table 1-11 (continued)
Rectangular HSS
Dimensions and Properties**



HSS5-HSS3 1/2

Shape	Axis Y-Y				Workable Flat		Torsion		Surface Area ft ² /ft
	<i>I</i>	<i>S</i>	<i>r</i>	<i>Z</i>	Depth	Width	<i>J</i>	<i>C</i>	
	in. ⁴	in. ³	in.	in. ³	in.	in.	in. ⁴	in. ³	
HSS5x2 1/2x1/4	3.13	2.50	0.999	2.95	3 7/8	—	7.93	4.99	1.18
x 3/16	2.53	2.03	1.02	2.33	4 3/16	—	6.26	3.89	1.20
x 1/8	1.82	1.46	1.05	1.64	4 7/16	—	4.40	2.70	1.22
HSS5x2x3/8	2.28	2.28	0.748	2.88	3 5/16	—	6.61	5.20	1.07
x 5/16	2.10	2.10	0.772	2.57	3 5/8	—	5.99	4.59	1.08
x 1/4	1.84	1.84	0.797	2.20	3 7/8	—	5.17	3.88	1.10
x 3/16	1.51	1.51	0.823	1.75	4 3/16	—	4.15	3.05	1.12
x 1/8	1.10	1.10	0.848	1.24	4 7/16	—	2.95	2.13	1.13
HSS4x3x3/8	5.01	3.34	1.11	4.18	2 5/16	—	10.6	6.59	1.07
x 5/16	4.52	3.02	1.13	3.69	2 5/8	—	9.41	5.75	1.08
x 1/4	3.91	2.61	1.16	3.12	2 7/8	—	7.96	4.81	1.10
x 3/16	3.16	2.10	1.19	2.46	3 3/16	—	6.26	3.74	1.12
x 1/8	2.27	1.51	1.21	1.73	3 7/16	—	4.38	2.59	1.13
HSS4x2 1/2x3/8	3.17	2.54	0.922	3.20	2 5/16	—	7.57	5.32	0.983
x 5/16	2.89	2.32	0.947	2.85	2 5/8	—	6.77	4.67	1.00
x 1/4	2.53	2.02	0.973	2.43	2 7/8	—	5.78	3.93	1.02
x 3/16	2.06	1.65	0.999	1.93	3 1/8	—	4.59	3.08	1.03
x 1/8	1.49	1.19	1.03	1.36	3 7/16	—	3.23	2.14	1.05
HSS4x2x3/8	1.80	1.80	0.729	2.31	2 5/16	—	4.83	4.04	0.900
x 5/16	1.67	1.67	0.754	2.08	2 5/8	—	4.40	3.59	0.917
x 1/4	1.48	1.48	0.779	1.79	2 7/8	—	3.82	3.05	0.933
x 3/16	1.22	1.22	0.804	1.43	3 3/16	—	3.08	2.41	0.950
x 1/8	0.898	0.898	0.830	1.02	3 7/16	—	2.20	1.69	0.967
HSS3 1/2x2 1/2x3/8	2.77	2.21	0.904	2.82	—	—	6.16	4.57	0.900
x 5/16	2.54	2.03	0.930	2.52	2 1/8	—	5.53	4.03	0.917
x 1/4	2.23	1.78	0.956	2.16	2 3/8	—	4.75	3.40	0.933
x 3/16	1.82	1.46	0.983	1.72	2 1 1/16	—	3.78	2.67	0.950
x 1/8	1.33	1.06	1.01	1.22	2 1 5/16	—	2.67	1.87	0.967
HSS3 1/2x2x1/4	1.30	1.30	0.766	1.58	2 3/8	—	3.16	2.64	0.850
x 3/16	1.08	1.08	0.792	1.27	2 1 1/16	—	2.55	2.09	0.867
x 1/8	0.795	0.795	0.818	0.912	2 1 5/16	—	1.83	1.47	0.883

— Flat depth or width is too small to establish a workable flat.

Table (4-7.b) HSS

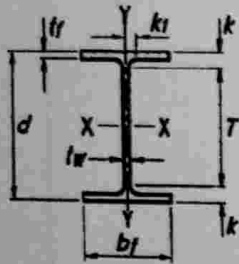


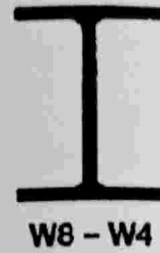
Table 1-1 (continued)
W Shapes
Dimensions

Shape	Area, A in. ²	Depth, d in.	Web			Flange			Distance				Workable Gage in.		
			Thickness, tw in.	tw/2 in.	Width, bf in.	Thickness, tf in.	k		k1 in.	T in.					
							kdes in.	kdet in.							
W8x67	19.7	9.00	9	0.570	9/16	5/16	8.28	8 1/4	0.935	15/16	1.33	1 5/8	15/16	5 3/4	5 1/2
x58	17.1	8.75	8 3/4	0.510	1/2	1/4	8.22	8 1/4	0.810	13/16	1.20	1 1/2	7/8		
x48	14.1	8.50	8 1/2	0.400	3/8	3/16	8.11	8 1/8	0.685	1 1/16	1.08	1 3/8	13/16		
x40	11.7	8.25	8 1/4	0.360	3/8	3/16	8.07	8 1/8	0.560	9/16	0.954	1 1/4	13/16		
x35	10.3	8.12	8 1/8	0.310	5/16	3/16	8.02	8	0.495	1/2	0.889	1 3/16	13/16		
x31 ¹	9.12	8.00	8	0.285	5/16	3/16	8.00	8	0.435	7/16	0.829	1 1/8	3/4		
W8x28	8.24	8.06	8	0.285	5/16	3/16	6.54	6 1/2	0.465	7/16	0.859	15/16	5/8	6 1/8	4
x24	7.08	7.93	7 7/8	0.245	1/4	1/8	6.50	6 1/2	0.400	3/8	0.794	7/8	9/16	6 1/8	4
W8x21	6.16	8.28	8 1/4	0.250	1/4	1/8	5.27	5 1/4	0.400	3/8	0.700	7/8	9/16	6 1/2	2 3/4 ⁹
x18	5.26	8.14	8 1/8	0.230	1/4	1/8	5.25	5 1/4	0.330	5/16	0.630	13/16	9/16	6 1/2	2 3/4 ⁹
W8x15	4.44	8.11	8 1/8	0.245	1/4	1/8	4.02	4	0.315	5/16	0.615	13/16	9/16	6 1/2	2 1/4 ⁹
x13	3.84	7.99	8	0.230	1/4	1/8	4.00	4	0.255	1/4	0.555	3/4	9/16		
x10 ^{c1}	2.96	7.89	7 7/8	0.170	3/16	1/8	3.94	4	0.205	3/16	0.505	1 1/16	1/2		
W6x25	7.34	6.38	6 3/8	0.320	5/16	3/16	6.08	6 1/8	0.455	7/16	0.705	15/16	9/16	4 1/2	3 1/2
x20	5.87	6.20	6 1/4	0.260	1/4	1/8	6.02	6	0.365	3/8	0.615	7/8	9/16		
x15 ¹	4.43	5.99	6	0.230	1/4	1/8	5.99	6	0.260	1/4	0.510	3/4	9/16		
W6x16	4.74	6.28	6 1/4	0.260	1/4	1/8	4.03	4	0.405	3/8	0.655	7/8	9/16	4 1/2	2 1/4 ⁹
x12	3.55	6.03	6	0.230	1/4	1/8	4.00	4	0.280	1/4	0.530	3/4	9/16		
x9 ¹	2.68	5.90	5 7/8	0.170	3/16	1/8	3.94	4	0.215	3/16	0.465	1 1/16	1/2		
x8.5 ¹	2.52	5.83	5 7/8	0.170	3/16	1/8	3.94	4	0.195	3/16	0.445	1 1/16	1/2		
W5x19	5.56	5.15	5 1/8	0.270	1/4	1/8	5.03	5	0.430	7/16	0.730	13/16	7/16	3 1/2	2 3/4 ⁹
x16	4.71	5.01	5	0.240	1/4	1/8	5.00	5	0.360	3/8	0.660	3/4	7/16	3 1/2	2 3/4 ⁹
W4x13	3.83	4.16	4 1/8	0.280	1/4	1/8	4.06	4	0.345	3/8	0.595	3/4	1/2	2 5/8	2 1/4 ⁹

^c Shape is slender for compression with $F_y = 50$ ksi.
¹ Shape exceeds compact limit for flexure with $F_y = 50$ ksi.
⁹ The actual size, combination, and orientation of fastener components should be compared with the geometry of the cross-section to ensure compatibility.

Table (4-8.a) W shape

Table 1-1 (continued)
W Shapes
Properties



Nom- inal Wt.	Compact Section Criteria		Axis X-X				Axis Y-Y				r_x	h_o	Torsional Properties	
			I	S	r	Z	I	S	r	Z			J	C_w
	lb/ft	$\frac{h_f}{2t_f}$	$\frac{h}{t_w}$	in. ⁴	in. ³	in.	in. ³	in. ⁴	in. ³	in.	in. ³	in.	in.	in. ⁴
67	4.43	11.1	272	60.4	3.72	70.1	88.6	21.4	2.12	32.7	2.43	8.07	5.05	1440
58	5.07	12.4	228	52.0	3.65	59.8	75.1	18.3	2.10	27.9	2.39	7.94	3.33	1180
48	5.92	15.9	184	43.2	3.61	49.0	60.9	15.0	2.08	22.9	2.35	7.82	1.96	931
40	7.21	17.6	146	35.5	3.53	39.8	49.1	12.2	2.04	18.5	2.31	7.69	1.12	726
35	8.10	20.5	127	31.2	3.51	34.7	42.6	10.6	2.03	16.1	2.28	7.63	0.769	619
31	9.19	22.3	110	27.5	3.47	30.4	37.1	9.27	2.02	14.1	2.26	7.57	0.536	530
28	7.03	22.3	98.0	24.3	3.45	27.2	21.7	6.63	1.62	10.1	1.84	7.60	0.537	312
24	8.12	25.9	82.7	20.9	3.42	23.1	18.3	5.63	1.61	8.57	1.82	7.53	0.346	259
21	6.59	27.5	75.3	18.2	3.49	20.4	9.77	3.71	1.26	5.69	1.46	7.88	0.282	152
18	7.95	29.9	61.9	15.2	3.43	17.0	7.97	3.04	1.23	4.66	1.43	7.81	0.172	122
15	6.37	28.1	48.0	11.8	3.29	13.6	3.41	1.70	0.876	2.67	1.06	7.80	0.137	51.8
13	7.84	29.9	39.6	9.91	3.21	11.4	2.73	1.37	0.843	2.15	1.03	7.74	0.0871	40.8
10	9.61	40.5	30.8	7.81	3.22	8.87	2.09	1.06	0.841	1.66	1.01	7.69	0.0426	30.9
25	6.68	15.5	53.4	16.7	2.70	18.9	17.1	5.81	1.52	8.56	1.74	5.93	0.461	150
20	8.25	19.1	41.4	13.4	2.66	14.9	13.3	4.41	1.50	6.72	1.70	5.84	0.240	113
15	11.5	21.6	29.1	9.72	2.56	10.8	9.32	3.11	1.45	4.75	1.66	5.73	0.101	76.5
16	4.98	19.1	32.1	10.2	2.60	11.7	4.43	2.20	0.967	3.39	1.13	5.88	0.223	38.2
12	7.14	21.6	22.1	7.31	2.49	8.30	2.99	1.50	0.918	2.32	1.08	5.75	0.0903	24.7
9	9.16	29.2	16.4	5.56	2.47	6.23	2.20	1.11	0.905	1.72	1.06	5.69	0.0405	17.7
8.5	10.1	29.1	14.9	5.10	2.43	5.73	1.99	1.01	0.890	1.56	1.05	5.64	0.0333	15.8
19	5.85	13.7	26.3	10.2	2.17	11.6	9.13	3.63	1.28	5.53	1.45	4.72	0.316	50.9
16	6.94	15.4	21.4	8.55	2.13	9.63	7.51	3.00	1.26	4.58	1.43	4.65	0.192	40.6
13	5.88	10.6	11.3	5.46	1.72	6.28	3.86	1.90	1.00	2.92	1.16	3.82	0.151	14.0

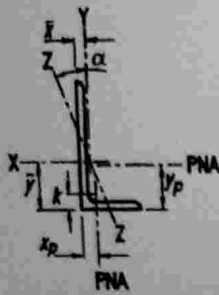
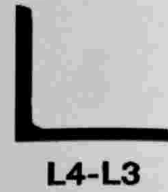


Table 1-7 (continued)
Angles
Properties

Shape	k	Wt.	Area, A	Axis X-X						Flexural-Torsional Properties		
				l	S	r	\bar{y}	Z	y_p	J	C_w	\bar{r}_o
				in. ⁴	in. ³	in.	in.	in. ³	in.	in. ⁴	in. ⁶	in.
L4x3 1/2 x 1/2	7/8	11.9	3.50	5.30	1.92	1.23	1.24	3.46	0.497	0.301	0.302	2.03
x 3/8	3/4	9.10	2.67	4.15	1.48	1.25	1.20	2.66	0.433	0.132	0.134	2.06
x 5/16	11/16	7.70	2.25	3.53	1.25	1.25	1.17	2.24	0.401	0.0782	0.0798	2.08
x 1/4	5/8	6.20	1.81	2.89	1.01	1.26	1.14	1.81	0.368	0.0412	0.0419	2.09
L4x3x3/8	1	13.6	3.89	6.01	2.28	1.23	1.37	4.08	0.810	0.529	0.472	1.91
x 1/2	7/8	11.1	3.25	5.02	1.87	1.24	1.32	3.36	0.747	0.281	0.255	1.94
x 3/8	3/4	8.50	2.48	3.94	1.44	1.26	1.27	2.60	0.683	0.123	0.114	1.97
x 5/16	11/16	7.20	2.09	3.36	1.22	1.27	1.25	2.19	0.651	0.0731	0.0676	1.98
x 1/4	5/8	5.80	1.69	2.75	0.988	1.27	1.22	1.77	0.618	0.0386	0.0356	1.99
L3 1/2 x 3 1/2 x 1/2	7/8	11.1	3.25	3.63	1.48	1.05	1.05	2.66	0.466	0.281	0.238	1.87
x 7/16	13/16	9.80	2.87	3.25	1.32	1.06	1.03	2.36	0.412	0.192	0.164	1.89
x 3/8	3/4	8.50	2.48	2.86	1.15	1.07	1.00	2.06	0.357	0.123	0.106	1.90
x 5/16	11/16	7.20	2.09	2.44	0.969	1.08	0.979	1.74	0.301	0.0731	0.0634	1.92
x 1/4	5/8	5.80	1.69	2.00	0.787	1.09	0.954	1.41	0.243	0.0386	0.0334	1.93
L3 1/2 x 3 x 1/2	7/8	10.2	3.00	3.45	1.45	1.07	1.12	2.61	0.480	0.260	0.191	1.75
x 7/16	13/16	9.10	2.65	3.10	1.29	1.08	1.09	2.32	0.446	0.178	0.132	1.76
x 3/8	3/4	7.90	2.30	2.73	1.12	1.09	1.07	2.03	0.411	0.114	0.0858	1.78
x 5/16	11/16	6.60	1.93	2.33	0.951	1.09	1.05	1.72	0.375	0.0680	0.0512	1.79
x 1/4	5/8	5.40	1.56	1.92	0.773	1.10	1.02	1.39	0.336	0.0360	0.0270	1.80
L3 1/2 x 2 1/2 x 1/2	7/8	9.40	2.75	3.24	1.41	1.08	1.20	2.52	0.736	0.234	0.159	1.66
x 3/8	3/4	7.20	2.11	2.56	1.09	1.10	1.15	1.96	0.668	0.103	0.0714	1.69
x 5/16	11/16	6.10	1.78	2.20	0.925	1.11	1.13	1.67	0.633	0.0611	0.0426	1.71
x 1/4	5/8	4.90	1.44	1.81	0.753	1.12	1.10	1.36	0.596	0.0322	0.0225	1.72
L3x3x1/2	7/8	9.40	2.75	2.20	1.06	0.895	0.929	1.91	0.458	0.230	0.144	1.59
x 7/16	13/16	8.30	2.43	1.98	0.946	0.903	0.907	1.70	0.405	0.157	0.100	1.60
x 3/8	3/4	7.20	2.11	1.75	0.825	0.910	0.884	1.48	0.351	0.101	0.0652	1.62
x 5/16	11/16	6.10	1.78	1.50	0.699	0.918	0.860	1.26	0.296	0.0597	0.0390	1.64
x 1/4	5/8	4.90	1.44	1.23	0.569	0.926	0.836	1.02	0.239	0.0313	0.0206	1.65
x 3/16	9/16	3.71	1.09	0.948	0.433	0.933	0.812	0.774	0.181	0.0136	0.00899	1.67
L3x2 1/2 x 1/2	7/8	8.50	2.50	2.07	1.03	0.910	0.995	1.86	0.494	0.213	0.112	1.46
x 7/16	13/16	7.60	2.21	1.87	0.921	0.917	0.972	1.66	0.462	0.146	0.0777	1.48
x 3/8	3/4	6.60	1.92	1.65	0.803	0.924	0.949	1.45	0.430	0.0943	0.0507	1.49
x 5/16	11/16	5.60	1.67	1.41	0.681	0.932	0.925	1.23	0.397	0.0560	0.0304	1.51
x 1/4	5/8	4.50	1.31	1.16	0.555	0.940	0.900	1.000	0.363	0.0296	0.0161	1.52
x 3/16	9/16	3.39	0.996	0.899	0.423	0.947	0.874	0.761	0.328	0.0130	0.00705	1.54

Note: For compactness criteria, refer to the end of Table 1-7.

Table 1-7 (continued)
Angles
Properties



Shape	Axis Y-Y						Axis Z-Z				Q_s
	I	S	r	\bar{x}	Z	x_p	I	S	r	Tan α	$F_y = 36$ ksi
	in. ⁴	in. ³	in.	in.	in. ³	in.	in. ⁴	in. ³	in.		
L4x3½x½	3.76	1.50	1.04	0.994	2.69	0.438	1.80	0.719	0.716	0.750	1.00
x ^{3/8}	2.96	1.16	1.05	0.947	2.06	0.334	1.38	0.555	0.719	0.755	1.00
x ^{5/16}	2.52	0.980	1.06	0.923	1.74	0.281	1.17	0.470	0.721	0.757	0.997
x ^{1/4}	2.07	0.794	1.07	0.897	1.40	0.227	0.950	0.382	0.723	0.759	0.912
L4x3x5/8	2.85	1.34	0.845	0.867	2.45	0.498	1.59	0.720	0.631	0.534	1.00
x½	2.40	1.10	0.858	0.822	1.99	0.407	1.30	0.592	0.633	0.542	1.00
x3/8	1.89	0.851	0.873	0.775	1.52	0.311	1.01	0.460	0.636	0.551	1.00
x5/16	1.62	0.721	0.880	0.750	1.28	0.262	0.851	0.390	0.638	0.554	0.997
x¼	1.33	0.585	0.887	0.725	1.03	0.211	0.691	0.318	0.639	0.558	0.912
L3½x3½x½	3.63	1.48	1.05	1.05	2.66	0.466	1.51	0.609	0.679	1.00	1.00
x7/16	3.25	1.32	1.06	1.03	2.36	0.412	1.34	0.540	0.681	1.00	1.00
x3/8	2.86	1.15	1.07	1.00	2.05	0.357	1.17	0.471	0.683	1.00	1.00
x5/16	2.44	0.969	1.08	0.979	1.74	0.301	0.989	0.400	0.685	1.00	1.00
x¼	2.00	0.787	1.09	0.954	1.41	0.243	0.807	0.326	0.688	1.00	0.965
L3½x3x½	2.32	1.09	0.877	0.869	1.97	0.431	1.15	0.537	0.618	0.713	1.00
x7/16	2.09	0.971	0.885	0.846	1.75	0.382	1.03	0.478	0.620	0.717	1.00
x3/8	1.84	0.847	0.892	0.823	1.52	0.331	0.895	0.418	0.622	0.720	1.00
x5/16	1.58	0.718	0.900	0.798	1.28	0.279	0.761	0.356	0.624	0.722	1.00
x¼	1.30	0.585	0.908	0.773	1.04	0.226	0.623	0.292	0.628	0.725	0.965
L3½x2½x½	1.36	0.756	0.701	0.701	1.39	0.395	0.782	0.420	0.532	0.485	1.00
x3/8	1.09	0.589	0.716	0.655	1.07	0.303	0.608	0.329	0.535	0.495	1.00
x5/16	0.937	0.501	0.723	0.632	0.900	0.256	0.518	0.281	0.538	0.500	1.00
x¼	0.775	0.410	0.731	0.607	0.728	0.207	0.425	0.232	0.541	0.504	0.965
L3x3x½	2.20	1.06	0.895	0.929	1.91	0.458	0.924	0.436	0.580	1.00	1.00
x7/16	1.98	0.946	0.903	0.907	1.70	0.405	0.819	0.386	0.580	1.00	1.00
x3/8	1.75	0.825	0.910	0.884	1.48	0.351	0.712	0.336	0.581	1.00	1.00
x5/16	1.50	0.699	0.918	0.860	1.25	0.296	0.603	0.284	0.583	1.00	1.00
x¼	1.23	0.569	0.926	0.836	1.02	0.239	0.491	0.231	0.585	1.00	1.00
x3/16	0.948	0.433	0.933	0.812	0.774	0.181	0.374	0.176	0.586	1.00	0.912
L3x2½x½	1.29	0.736	0.718	0.746	1.34	0.418	0.666	0.370	0.516	0.666	1.00
x7/16	1.17	0.656	0.724	0.724	1.19	0.370	0.591	0.329	0.516	0.671	1.00
x3/8	1.03	0.573	0.731	0.701	1.03	0.321	0.514	0.287	0.517	0.675	1.00
x5/16	0.888	0.487	0.739	0.677	0.873	0.271	0.437	0.244	0.518	0.679	1.00
x¼	0.734	0.397	0.746	0.653	0.707	0.220	0.356	0.199	0.520	0.683	1.00
x3/16	0.568	0.303	0.753	0.627	0.536	0.167	0.272	0.153	0.521	0.687	0.912

Note: For compactness criteria, refer to the end of Table 1-7.

Table (4-9.b) Angle

الفصل الخامس

النتائج والتوصيات

5

5.1 مقدمة.

5.2 النتائج .

5.3 التوصيات .

1-5 المقدمة :

في هذا المشروع تم الحصول على مخططات معمارية تفتقد الى الكثير من الامور. بعد دراسة جميع المتطلبات تم اعداد المخططات المعمارية والمخططات الإنشائية الشاملة لمدرسة للإناث المقترح بناءها في مدينة الخليل .

ويقدم هذا التقرير شرحاً لجميع خطوات التصميم المعمارية والإنشائية للمبنى.

2-5 النتائج:

1. يجب على كل طالب أو مصمم إنشائي أن يكون قادراً على التصميم بشكل يدوي حتى يستطيع امتلاك الخبرة والمعرفة في استخدام البرامج التصميمية المحوسبة.

2. من العوامل التي يجب أخذها بعين الاعتبار، العوامل الطبيعية المحيطة بالمبنى وطبيعة الموقع وتأثير القوى الطبيعية على الموقع.

3. من أهم خطوات التصميم الإنشائي، كيفية الربط بين العناصر الإنشائية المختلفة من خلال النظرة الشمولية للمبنى، ومن ثم تجزئة هذه العناصر لتصميمها بشكل منفرد ومعرفة كيفية التصميم، مع أخذ الظروف المحيطة بالمبنى بعين الاعتبار.

4. لقد تم استخدام نظام عقدات (One-Way Ribbed Slab) في اغلب العقدات نظراً لطبيعة وشكل المنشأ. كما تم استخدام نظام عقدات (Two-Way Ribbed Slab) في اجزاء معينة من الطوابق، كما تم استخدام نظام العقدات المصمتة (Solid Slab) لبيوت الدرج والمصاعد، نظراً لكونها أكثر فاعلية من عقدات الأعصاب في تحمل ومقاومة الأحمال المركزة.

6. برامج الحاسوب المستخدمة :

هناك عدة برامج حاسوب سيتم استخدامها في هذا المشروع وهي:

(a) AUTOCAD 2010/2007 : وذلك لعمل الرسومات المفصلة للعناصر الإنشائية.

(b) ATIR: للتصميم والتحليل الإنشائي للعناصر الإنشائية.

(c) (Office XP) : تم استخدامه في اجزاء مختلفة من المشروع مثل الكتابة النصوص والتنسيق وإخراج المشروع.

7. الأحمال الحية المستخدمة في هذا المشروع كانت من كود الأحمال الأردني.

8. من الصفات التي يجب أن يتصف بها المصمم، صفة الحس الهندسي أياً مشكلة ممكن أن تعترضه في المشروع ويشكل مقنع ومدروس.

3-5 التوصيات :

لقد كان لهذا المشروع دور كبير في توسيع وتعميق فهمنا من تفاصيل وتحاليل وتصاميم. حيث نود هنا . من خلال هذه التجربة بأن تعود بالفائدة والنصح لمن يخطط لاختيار مشاريع ذات طابع ففي البداية، يجب أن يتم تنسيق وتجهيز كافة المخططات تحديد النظام الإنشائي للمبنى. ولا بد في هذه المرحلة من توفر تربة الموقع، من خلال تقرير جيوتقني خاص بتلك المنه والأعمدة بالتوافق والتنسيق التام مع الفريق الهندسي المع الحصول على أكبر قدر ممكن من الجدران الخرسانية منتظم في كافة أنحاء المبنى؛ ليتم استخدامها فيما بعد

الملاح

قائمة المصادر والمراجع

1. كودات البناء الوطني الأردني، كود الأحمال
عمان، الأردن، 1990م.

2. تلخيص الأستاذ المشرف.

ACI 318M- Structural Concrete

THICKNESS OF ONE-WAY SLABS CALCULATED

Thickness, h

Both ends continuous	Cantilever
----------------------	------------

Attached to partitions or damaged by large

$l/28$

$l/10$

$l/21$

$l/8$

with normalweight concrete and no admixtures. For other conditions

density, w_c , in the range (1.65 - 0.003 w_c) but not

governed by $(0.4 + f_y/700)$.

THICKNESS OF PRECAST BEAMS OR SLABS ARE CALCULATED

الحمل المركزي البديل	الحمل الموزع	الاستعمال (الاشغال)	نوع المبنى	
			عام	خاص
كن	كن/م2			
1.400	2.000	جميع الغرف بما في ذلك غرف النوم والمطابخ وغرف الغسيل وما شابه ذلك	المنازل والبيوت والشقق السكنية والأبنية ذات الطابق الواحد.	المباني السكنية والخاصة
1.800	2.000	غرف النوم	الفنادق والموتيلات والمستشفيات	
1.800	2.000	غرف وقاعات النوم	منازل الطلبة وما شابهها	
-	4.000	مقاعد ثابتة	القاعات العامة وقاعات التجمع والمساجد والكنائس وقاعات التدريس والمسارح ودور السينما وقاعات التجمع في المدارس والكليات والنوادي والمدرجات المسقوفة والقاعات الرياضية المغلقة	المباني العامة
3.600	5.000	مقاعد غير ثابتة		
-	5.000	-		نادي رياضي
4.500	2.500	من دون مستودع كتب		
4.500	4.000	مع مستودع كتب		غرف المطالعة في المكتبات